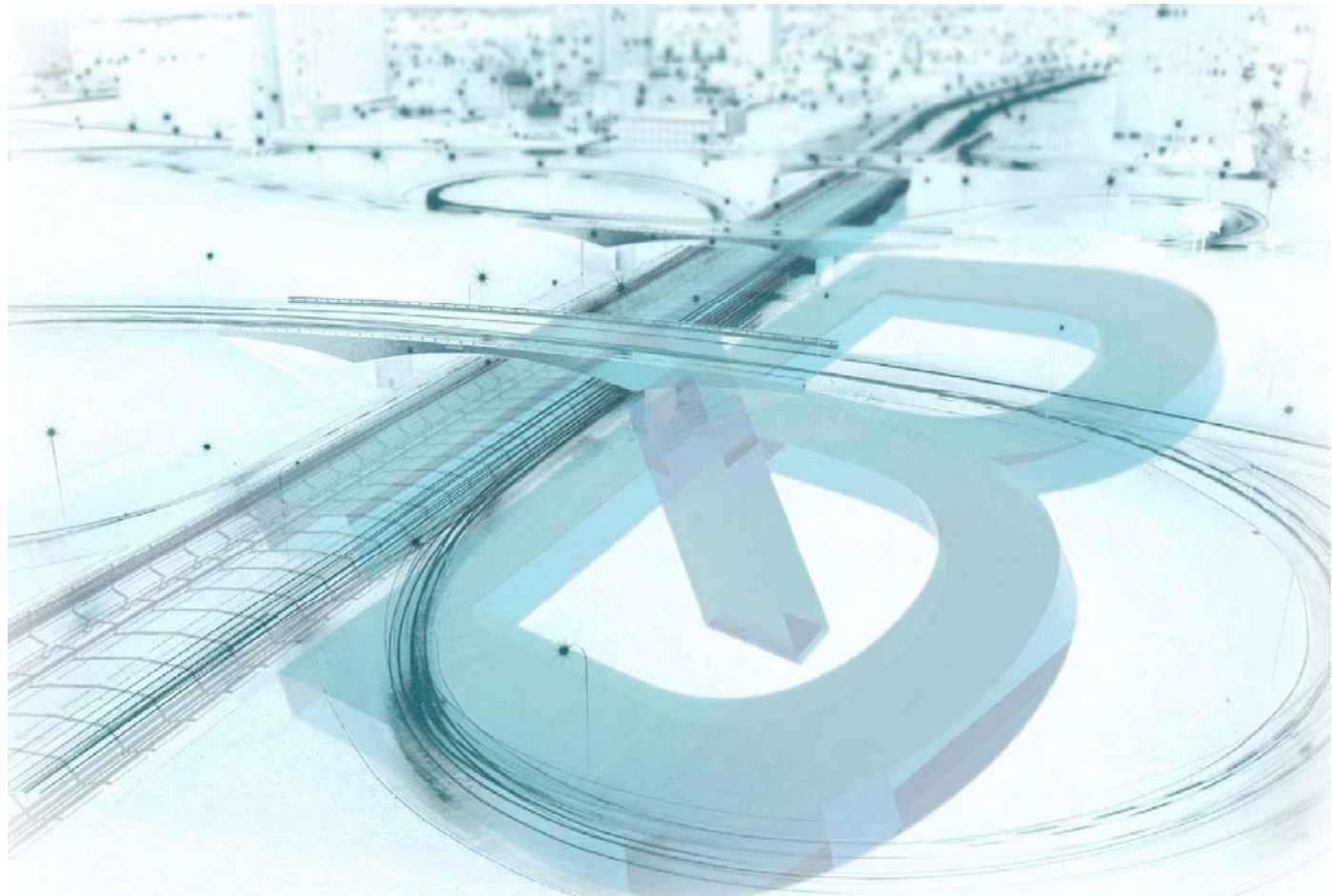


საქართველოს რეგიონული განვითარების და ინფრასტრუქტურის
სამინისტრო

საქართველოს საავტომობილო გზების დაართამენტი



შიდასახელმწიფო ეპიცენტრის მიმდევალობის გომი-საჩხერე-ჭიათურა-ზესტაციის საავტომობილო გზის კმ 84+000 – კმ 107+000 მონაბეჭის რეაგილიტაცია

პირველი ნაწილი: გზის რეაგილიტაცია დამეზღვილი 16 უბნის გარეშე

პროექტის საინიციატივო ანგარიში

ტომი I

თბილისი
2019 წელი

სააროექტო-საპრესულტაციო
კომპანია ბითი,
ბიძინა კვერნაძის 35
თბილისი, საქართველო

შინაარსი:

1.	შესავალი.....	2
2.	საპროექტო მონაკვეთის მოკლე დახასიათება.....	3
3.	საველე ტოპოგრაფიული სამუშაოები.....	5
4.	საინჟინრო გეოლოგიური პირობები.....	5
5.	საპროექტო გადაწყვეტილებები და ღონისძიებები.....	8
6.	საგზაო სამოსის დაპროექტება.....	11
7.	საგზაო ნაგებობები.....	55
8.	საგზაო ნიშნები, მონიშვნა, მოძრაობის უსაფრთხოების ღონისძიებანი და გზის სხვა კუთვნილებანი.....	97
9.	მშენებლობის ორგანიზაციის ძირითადი დებულებანი.....	97
10.	მშენებლობის დროს სატრანსპორტო ნაკადის მართვა.....	98
11.	სამუშაოთა მოცულობების დათვლა.....	99
	დანართები.....	100

1. შესავალი

შიდასახელმწიფო გადამზღვიულობის მნიშვნელობის გომი-საჩხერეჭიათურა-ზესტაფონის სააგენტომობილო გზის კმ 84+000 – კმ 107+000 მონაკვეთის რეაბილიტაციის დეტალური საპროექტო დოკუმენტაცია შედგენილია შ.ა.ს. „საპროექტო-საკონსულტაციო კომპანია ბიოს“ მიერ, საქართველოს რეგიონული განვითარების და ინფრასტრუქტურის სამინისტროს საქართველოს საგრაფომობილო გზების დეპარტამენტის მიერ გაცემული დავალების საფუძველზე.

პროექტის მიზანია აღნიშნული გზის რეაბილიტაციის დეტალური საპროექტო დოკუმენტაციის მომზადება.

საინჟინრო ანგარიში მომზადებულია არსებული მასალების განხილვის, სათანადო კვლევების, ცდების, და შესაბამისი დიზაინის და მოცულობების გათვალისწინებით.

შიდასახელმწიფო გადამზღვიულობის მნიშვნელობის გომი-საჩხერეჭიათურა-ზესტაფონის სააგენტომობილო გზის კმ 84+000 – კმ 107+000 მონაკვეთის რეაბილიტაციის დეტალური საპროექტო დოკუმენტაცია დაყოფილია ორ ნაწილად:

პირველი ნაწილი ითვალისწინებს გზის რეაბილიტაციას დამეწყრილი უბნების გარეშე, ხოლო მეორე ნაწილი - დამეწყრილი უბნების რეაბილიტაციას.

მონაკვეთები საპროექტო კილომეტრაჟის მიხედვით წარმოდგენილია ცხრილში ქვემოთ:

#	დამეწყრილი უბნის ნომერი №	პირველი ნაწილი: გზის მონაკვეთები დამეწყრილი უბნების გარეშე. მონაკვეთების მდებარეობა, (მ)		პირველი ნაწილი: გზის მონაკვეთების სიგრძე დერძის გასწვრივ (მ)	მეორე ნაწილი: დამეწყრილი უბნების მდებარეობა, (მ)		დამეწყრილი უბნების სიგრძე დერძის გასწვრივ (მ)
		დასაწყისი	დასასრული		დასაწყისი	დასასრული	
1	2	3	4	5	6	7	8
1		0	8 940	8 940			0
2	1			0	8 940	9 105	165
3		9 105	9 190	85			
4	1'			0	9 190	9 220	30
5		9 220	9 340	120			
6	2			0	9 340	9 780	440
7		9 780	10 140	360			
8	3			0	10 140	10 290	150
9		10 290	11 200	910			
10	4			0	11 200	11 305	105
11		11 305	11 800	495			
12	5			0	11 800	11 880	80
13		11 880	12 540	660			
14	6			0	12 540	12 685	145
15		12 685	14 305	1 620			
16	7			0	14 305	14 400	95
17		14 400	14 555	155			

18	8			0	14 555	14 740	185
19		14 740	14 820	80			
20	9			0	14 820	14 880	60
21		14 880	15 075	195			
22	10			0	15 075	15 135	60
23		15 135	16 970	1 835			
24	11			0	16 970	17 070	100
25		17 070	17 270	200			
26	12			0	17 270	17 420	150
27		17 420	17 555	135			
28	13			0	17 555	17 630	75
29		17 630	18 870	1 240			
30	14			0	18 870	19 070	200
31		19 070	19 260	190			
32	15			0	19 260	19 320	60
33		19 320	21 694	2 374			0
	ჯამი (გ)			19 594			2 100

წინამდებარე ანგარიში მომზადებულია საავტომობილო გზის ორივე ნაწილისთვის, ხოლო ანგარიშზე დართული უწყისები წარმოდგენილია მხოლოდ პირველი ნაწილისთვის (გზის რეაბილიტაცია, დამეწყრილი უბნების გარეშე).

2. საპროექტო მონაკვეთის მოკლე დახასიათება

შიდასახელმწიფოებრივი მნიშვნელობის გომი-საჩხერე-ჭიათურა-ზესტაფონის საავტომობილო გზა ჭიათურის და ზესტაფონის მუნიციპალიტეტებს აკავშირებს საქართველოს საავტომობილო საგზაო ქსელთან.

პროექტის ფარგლებში გათვალისწინებულია აღნიშნული გზის დაახლოებით 21.7 კმ მონაკვეთის რეაბილიტაცია (საპროექტო კმ 0+000-დან კმ 21+693.7).

საპროექტო მონაკვეთი მდებარეობს ჭიათურის და ზესტაფონის მუნიციპალიტეტების ტერიტორიაზე, იწყება გომი-საჩხერე-ჭიათურა-ზესტაფონის საავტომობილო გზის 84-ე კილომეტრზე და მთავრდება ქალაქ ზესტაფონის ტერიტორიაზე (საერთაშორისო მნიშვნელობის თბილისი-სენაკი-ლესელიძის საავტომობილო გზის მარჯვენა მიერთება).

საპროექტო მონაკვეთის საერთო სიგრძეა 21694 მეტრი.

საპროექტო გზა გადის მთიან რელიეფში, დასახლებულ და დაუსახლებელ ტერიტორიაზე.

გზის როგორც გრძივი ასევე განივი პარამეტრები დარღვეულია. ასევე, გზაზე შეინიშნება მრავალი დამეწყრილი მონაკვეთი.

საკვლევ მონაკვეთზე სავალი ნაწილის სიგანე საშუალოდ 6-7 მეტრია ხოლო გვერდულების საშუალო სიგანე - 1 მეტრი.

საპროექტო მონაკვეთზე საგზაო სამოსი წარმოდგენილია ასფალტბეტონის საფარით რაზედაც შეიმჩნევა ხშირი ჯდენები, ცალკეული და ბადისებული ბზარები, დაზიანებულია ნაწილურები. აღსანიშნავია რომ სფარის დაზიანების ერთ ერთი მიზეზია

მძიმე წონიანი სატრანსპორტო საშუალებების მოძრაობა. გარდა ამისა, ერთ-ერთ დამეწყრილ უბანზე საგზაო საფარი წარმოდგენილია ხრეშოვანი მასალით.

საპროექტო გზაზე გვხვდება 26 მილი, აქედან 16 მილი გამოსაცვლელია, 8 სარეაბილიტაციო და 2 გასაუქმებელი.

3. საგელე ტოპოგრაფიული სამუშაოები

ტოპოგრაფიული კვლევის ჩატარებამდე შეიქმნა პირობითი ტოპოგრაფიული ქსელი. დამაგრდა საორიენტაციო წერტილები. განივი კვეთები აღებულ იქნა სავალ ნაწილზე 20 მ-იანი ინტერვალით, ინტერვალი შემცირებული იქნა საჭიროების შემთხვევაში (მაგ. მკვეთრი მოსახვევები, ამაღლებული არები).

საველე ტოპოგრაფიული კვლევა განხორციელდა გზის არსებული და საპროექტო მიმართულების განთვისების ზოლის ფარგლებში.

კვლევა შესრულდა შემდეგი აღჭურვილობის გამოყენებით:

- **GPS Leica1200**
- ელექტრონული ტაქეომეტრი, Leica TPS 407 სადგური
- ელექტრონული ნიველირით Leica Sprinter 50
- ნოუთბუქები საკვლევი პროგრამული უზრუნველყოფით
- დამხმარე საკვლევი აღჭურვილობა, როგორიცაა შტატივები, რეფლექტორები, ნიველირების ლარტყები და ა.შ.

ტოპოგრაფიული აგეგმვის პროცესში ფიქსირდება გზის გასწვრივ არსებული ყველა ობიექტი/ელემენტი, როგორებიცაა შენობა-ნაგებობები, გზები, ბილიკები, საინჟინრო კომუნიკაციები, მილები, ჭები, ელექტროსადენების ბოძები, გზის კუთვნილებანი, ღობები, წყალსადინრები, წყალსარინი საშუალებები და ა.შ.

შედეგად, გამოკვლევის მონაცემები შეგროვდა ძირითადი რუკებისა და ლანდშაფტის ციფრული მოდელის მოსამზადებლად. კოორდინატები და სიმაღლეები გამოივლილ იქნა, გაკონტროლდა და შესაბამისი ფორმატით შეტანილ იქნა CAD CARD/1 (Computer Aided Road Design)-ის პროგრამულ უზრუნველყოფაში. CARD/1-ის რელიეფის მოდელირება და ტრასის პროექტირების პროგრამული უზრუნველყოფა მოიცავს ადვილად აღთქმად სამ განხორმილებიან მონაცემთა ბაზებს, რომლებშიც მონაცემები გარემოს რელიეფზე და სხვა საკვლევი ინფორმაცია შეიძლება დამუშავებულ იქნას ციფრული ლანდშაფტის მოდელის შესაქმნელად და სავარაუდო გზის მიმართულებების დასამატებლად, ლანდშაფტის გეგმის, განივი კვეთის და მიწის სამუშაოების რაოდენობის მონაცემების მისაღებად.

4. საინჟინრო გეოლოგიური პირობები

4.1. შესაფალი

საპროექტო მონაკვეთზე გეოლოგიური პირობები შესწავლილი იქნა როგორც ფონდური მასალების მოძიებით და ვიზუალური დაკვირვებით, ასევე ფართო სპექტრის გეოტექნიკური გამოკვლევით, რომელიც თავის შხრივ მოიცავდა ჭაბურლილების მოწყობას, სავალე სინჯების აღებას და ლაბორატორიულ გამოკვლევებს. ქვემოთ წარმოდგენილია საპროექტო მონაკვეთის მოქლე გეოლოგიური დახასიათება, ხოლო სრული გეოტექნიკური ანგარიში წარმოდგენილია წინამდებარე ანგარიშის მე-4 დანართის სახით.

4.2. საპროექტო მონაკვეთის კლიმატური და გეოლოგიური პირობების აღწერა

4.2.1. კლიმატური პირობები

ინფორმაცია კლიმატური პირობების შესახებ დაფუძნებულია დაპროექტების სტანდარტში „სამშენებლო კლიმატოლოგია“ (პნ 01.05-08) მოცემულ ზესტაფონის მეტეოროლოგიური სადგურის მონაცემებზე.

საქართველოს კლიმატური დარაიონების რუკის თანახმად, მხარე მიეკუთვნება III კლიმატური რაიონის III-ბ ქვერაიონს. ჰაერის საშუალო ტემპერატურა იანვრისა და ივლისის თვეებში შესაბამისად +2 ° C-დან +6 ° C-მდე და +22 ° C-დან +28 ° C-მდე შეაღედვებში იცვლება.

მომდევნო ცხრილებში მოცემულია ჰაერის საშუალო ტემპერატურები ცალკეული თვეების მიხედვით და ყველაზე ცხელი და ცივი პერიოდების მაქსიმალური და მინიმალური ტემპერატურების სიდიდეები.

ცხრილი 4.1. ჰაერის საშუალო თვიური ტემპერატურები

მეტეოროლოგიური მდგრადი	თვე												მოცემული აუდიტის დრო
	I	II	III	IV	V	VI	VII	VIII	IX	X	XI	XII	
ზესტაფონი	3.7	4.5	7.8	12.8	18.0	21.2	23.5	23.9	20.3	15.5	10.1	5.7	13.9

ცხრილი 4.2. ჰაერის მინიმალური და მაქსიმალური ტემპერატურები

მეტეოროლოგიური მდგრადი	თვე							საშუალო ტემპერატურა 13 საათზე	მოცემული აუდიტის დრო	
	I	II	III	IV	V	VI	VII			
ზესტაფონი	-20	42	30.2		-4		-8	3.6	7.2	29.2

ცხრილი 4.3. საშუალო თვიური ტენიანობა (%)

მეტეოროლოგიური მდგრადი	თვე												საშუალო წლიური
	I	II	III	IV	V	VI	VII	VIII	IX	X	XI	XII	
ზესტაფონი	75	75	72	68	70	71	73	72	75	76	78	72	73

ცხრილი 4.4. ატმოსფერული ნალექების რაოდენობა

ნალექების რაოდენობა	ზესტაფონი
ატმოსფერული ნალექების საშუალო წლიური რაოდენობა	1124 მმ
ნალექების დღედამუში მაქსიმუმი	120 მმ
თოვლის საფარის წონა	0.60 კპა
თოვლის საფარის დღეთა რიცხვი	29

ცხრილი 4.5. ქარის წნევა და სიჩქარე

დასახელება	ზესტაფონი
ქარის წნევის 5-წლიანი განმეორებადობის ნორმატიული სიდიდე	0.38 კპა
ქარის წნევის 15-წლიანი განმეორებადობის ნორმატიული სიდიდე	0.48 კპა

ჭიათურის მეტეოსადგურზე დაფიქსირებული ქარის ექსტრემალური სიჩქარეები:

- 23 მ/წმ სიჩქარის ქარი – წელიწადში ერთხელ
- 26 მ/წმ სიჩქარის ქარი – 5 წელიწადში ერთხელ
- 27 მ/წმ სიჩქარის ქარი – 10 წელიწადში ერთხელ
- 28 მ/წმ სიჩქარის ქარი – 15 წელიწადში ერთხელ
- 29 მ/წმ სიჩქარის ქარი – 20 წელიწადში ერთხელ

გრუნტის გაყინვის სიღრმე

საკვლევ ტერიტორიაზე მიწის ვაკისის შემადგენელი გრუნტების შეკავშირებული კონსისტენციის (კოჰეზიურობის) გათვალისწინებით, საჭირო იყო საგზაო სამოსის ფენებსა და მიწის ვაკისზე ყინვის ტემპერატურების ზემოქმედების შეფასება.

საგზაო მონაკვეთის გარსმომცველი რეგიონისთვის დადგენილია გრუნტების სეზონური გაყინვის სიღრმეების შემდეგი ნორმატიული სიდიდეები:

თიხოვანი და თიხნარი:	0 სმ
წვრილი და მტვრისებრი ქვიშის:	0 სმ
მსხვილი და საშუალო სიმსხვილის ხრეშისებური ქვიშის:	0 სმ
მსხვილნატება:	0 სმ

კლიმატური პირობების და ტემპერატურის ადრიცხვის ხელმისაწვდომი მონაცემების თანახმად, მიწისქვეშა გრუნტებში ყინვის შეღწევა მოსალოდნელი არ არის.

4.2.2. საპროექტო ტერიტორიის გეოლოგიური პირობების მიმოხილვა

ძირულის კრისტალური მასივი შავი ზღვა - ცენტრალური ამიერკავკასიის ტერეინის ალპურისწინა კრისტალური ფუნდამენტის გაშიშვლებულ ნაწილს წარმოადგენს.

მასივის უძველესი წარმონაქმნები აგებულია სივრცობრივად ერთმანეთთან დაკავშირებული კრისტალური ფიქლებით, პარა-და ორთოგნეისებით, მიგმატიტებით, ულტრაფუნდ და ფუნდ მაგმატიტებით.

ძირულის კრისტალური მასივის აგებულებაში რაოდენობრივად გაბატონებულია შემდეგი გრანიტოიდები: ბაიკალური კვარციან-დიორიტული გნეისები, გვიანბაიკალური პლაგიოგრანიტ-გრანოდიორიტული სერიის ქანები და გვიანპერცინული გრანიტები.

ძირულის კრისტალური მასივის სამხრეთ, სამხრეთ-დასავლეთ და ჩრდილო-დასავლეთ პერიფერიებზე ქვედა იურული ასაკის ნალექები წარმოდგენილია კონგლომერატებით, ქვიშაქვებით და კირქვებით, ხოლო აღმოსავლეთ და ჩრდილო-აღმოსავლეთ პერიფერიებზე – არგილიტებით და კარბონატული თიხებით. ნალექების სიმძლავრე მერყეობს 50-300 მ. ფარგლებში. ისინი ტრანგრესულად არის განლაგებული ძირულის მასივის გვიანპერცინულ გრანიტებზე, ან ქვედა ტუფიტების წყებაზე და, თავის მხრივ, უთანხმოდ იფარება ბაიოსური პორფირიტული სერიით. მასივის ჩრდილო პერიფერიაზე სოფ. ბერეთის ადრეიურული წარმონაქმნები უთანხმოდ იფარება ზედა ცარცით. ქვედა იურული ასაკის კირქვები მდიდარია ნამარხი ფაუნით. ძირულის მასივის პერიფერიების ამოზევებულ ფართებზე გავრცელებულია ბაიოსური და ბათური ნალექები. პირველი წარმოდგენილია პორფირიტური სერიით, ხოლო მეორე ფურცელაფიქლებიანი და ნახშირიანი სერიებით.

ძირულის მასივის სამხრეთ და ჩრდილო-აღმოსავლეთ პერიფერიებზე პორფირიტური სერია ტრანსგრესულად ფარავს იურულისწინა წარმონაქმნებს, ხოლო ჩრდილო-

დასავლეთ პერიფერიაზე თანხმობით აგრძელებს ზედალიასურ ფიქლებს. სერიის ქვედა ნაწილებში წარმოდგენილია სხვადასხვა შედგენილობის ტუფბრექჩიები, ტუფქვიშაქვები, აგრეთვე ანდეზიტ-ბაზალტების ტუფები და განფენები. სერიის ზედა ნაწილში უმნიშვნელო როლს ტერიგენული მასალაც თამაშობს.

ბარემული სართული წარმოდგენილია მასიური და სქელშრეებრივი, ორგანოგენული პელიტომორფულ-ორგანოგენული, ორგანოგენულ-ნამსხვრევი და პოოლიტური კირქვებით, რომლებიც რექვიენიებს შეიცავს.

აპტურ ნალექებში საგრძნობლად სჭარბობს კირქვიანი მერგელები, რომლებითაც მორიგეობენ კირქვები, მერგელები და ადგილ-ადგილ მათი ქვიშაქვიანი სახესხვაობები. მასივის ჩრდილო-დასავლეთ პერიფერიაზე აპტურის დიდი ნაწილი გადარეცხილი იყო სენომანური ტრანსგრესის წინ და მხოლოდ ადგილ-ადგილ გადარჩა მისი ქვედა ჰორიზონტები. მასივის სამხრეთ და აღმოსავლეთ პერიფერიებზე (ჩხერიმელას ხეობა, სურამის მიდამოები) აპტური წარმოდგენილია ქვიშით გამდიდრებული მერგელებით, რომლებშიც დაცულია მდიდარი ნამარხი ფაუნა.

ძირულის კრისტალური მასივის ზედაცარცული ნალექები წარმოდგენილია ძირითადად კარბონატული ფაციენებით. მასივის სამხრეთ პერიფერიაზე ისინი მონაწილეობს მოლით-მარგელისის სინკლინის აგებულებაში, სადაც თანხმობით აგრძელებს ალბური ასაკის ვულკანოგენებს. მასივის სამხრეთ-აღმოსავლეთ პერიფერიაზე ისინი წარმოდგენილია ხარაგაულის სინკლინში. აქ სენომანი ტრანსგრესულად, ალაგ-ალაგ კუთხური უთანხმოებით არის განლაგებული ალბურზე. ძირულის მასივის ჩრდილო კერიფერიაზე ზედა ცარცული ტრანსგრესულად ფარავს კრისტალურ ქანებს.

საქართველოს ეკონომიკური განვითარების მინისტრის ბრძანება №1-1/2284, 2009 წლის 7 ოქტომბერი ქ. თბილისი, სამშენებლო ნორმების და წესების - „სეისმომედეგი მშენებლობა“ (პრ 01.01-09)-დამტკიცების თანახმად, საკვლევი ტერიტორია ქ. ზესტაფონის (№1193) მიდამოებში, განლაგებულია 8 ბალიან სეისმურ ზონაში (MSK64-სკალა), სეისმურობის უგანზომილებო კოეფიციენტი შეადგენს $A=0.13$.

საპროექტო მონაკვეთის დეტალური გეოლოგიური ანგარიში იხილეთ დანართში 4.1 და 4.2

5. საპროექტო გადაწყვეტილებები და ლონისძიებები

5.1 საპროექტო სტანდარტები და პარამეტრები

პროექტირება განხორციელდა საქართველოს ეროვნული სტანდარტის „საერთო სარგებლობის საავტომობილო გზები. გეომეტრიული და სტრუქტურული მოთხოვნების“-სეტ Gzebi2009, საქართველოში მიღებული ყოფილი საბჭოთა სხ და წ 2.05.02-85-ის; საქართველოში მიღებული სხვა სტანდარტების მიხედვით.

სტანდარტის მიხედვით სასურველი პარამეტრები აღწერილია ქვემოთ.

გზის განვითარების ურთისესობა

საავტომობილო გზის სიგანემ უნდა უზრუნველყოს ურთიერთსაწინააღმდეგოდ მოძრავი სატრანსპორტო ნაკადის უსაფრთხო გამტარუნარიანობა და ამავე დროს მისი სიგანე უნდა შეესაბამებოდეს ნორმების მინიმალურ მოთხოვნებს. გზის სიგანე შედგება სავალი ნაწილის და გვერდულების სიგანისგან.

შემოთავაზებული ზომებია:

სავალი ნაწილი:	6.00 მ (2X3.00 მ)
გვერდული:	2X1.0 მ (მ.შ. 2X0.5 მ გამაგრებული გვერდული)
გზის პირი:	0.50 მX2 (საჭიროების შემთხვევაში)
მიწის ვაკისის სიგანე:	9.0 მ

განივი ქანობა

სადაც ეწყობა ახალი საგზაო სამოსი, ზედაპირიდან წყლის აცილების მიზნით გზის მინიმალური განივი ქანობი შეადგენს 2.5% ხოლო მაქსიმალური – 7%-ს (ვირაჟის შემთხვევაში).

სასურველი და მინიმალური პორიზონტური და ვერტიკალური პარამეტრები

გეომეტრიული სტანდარტის განსაზღვრის დროს, ზოგადად პირველ ნაბიჯს წარმოადგენს საანგარიშო სიჩქარის დადგენა, რაც შემდგომში განსაზღვრავს შესაბამის პორიზონტალურ მრუდებს და მხედველობის ზონას.

საპროექტო გზის ფუნქციური დატვირთვის, ამჟამინდელი და მომავალი სატრანსპორტო ნაკადის ინტენსივობის და არსებული მიმართულების გათვალისწინებით, შერჩეული იქნა საანგარიშო სიჩქარე – 40 კმ/სთ.

პორიზონტალური და ვერტიკალური საპროექტო პარამეტრები

ქვემოთ მოცემულ ცხრილში წარმოდგენილია შემოთავაზებული საანგარიშო სიჩქარისათვის პორიზონტალური და ვერტიკალური მრუდების მინიმალური სიდიდეები, მოქმედი სტანდარტის მიხედვით.

ელემენტი	საანგარიშო 40 კმ/სთ
პორიზონტალური მრუდის მინიმალური რადიუსი	65 მ
მაქსიმალური გრძივი ქანობი	8 %
ამოზნექილი მრუდის მინიმალური რადიუსი	400 მ
ჩაზნექილი მრუდის მინიმალური რადიუსი	850 მ

საველე კვლევების შედეგები გვიჩვენებს, რომ არსებული გზა მოცემულ პარამეტრებს გარკვეულწილად ვერ აკმაყოფილებს, ზოგ შემთხვევებში, პარამეტრების მიმართ საჭიროა გარკვეული კომპრომისების დაშვება, არსებული მიმართულების შენარჩუნების მიზნით.

გეომეტრიული პროექტირების შემოთავაზებული საპროექტო სიდიდეები ძირითადად გამოიყენება როგორც პროექტირების საორიენტაციო სახელმძღვანელო და არა როგორც მკაცრად განსაზღვრული მინიმუმი. გასათვალისწინებელია, რომ საპროექტო სახელმძღვანელოებში წარმოდგენილი ინფორმაცია და მონაცემები მხედველობაში უნდა ვიქონიოთ არა როგორც “საპროექტო სტანდარტი”, არამედ როგორც კარგი საინჟინრო პრაქტიკა, რომლის მიღწევასაც მაქსიმალურად უნდა შევეცადოთ.

გარდამავალი მრუდები

გარდამავალი მრუდები გამოყენებული იქნება სწორი მიმართულების მქონე და მოსახვევი საგზაო მონაკვეთების შესაერთებლად, ან ორი განსხვავებული რადიუსის მქონე მრუდის შესაერთებლად.

გარდამავალი მრუდები (კლოტოიდები) გათვალისწინებულია მკვეთრი ცვლილების თავიდან ასაცილებლად, მრუდების დასაწყისსა და ბოლოში, რაც ასევე უზრუნველყოფს უსაფრთხოების დონის და მგზავრობის კომფორტის ამაღლებას.

5.2 მიმართულებათა განხილვა

გზის პროექტირება დაფუძნებულია თანამედროვე კომპიუტერიზებულ ტექნოლოგიაზე და ნახაზების ავტომატურ შედგენაზე. გეომეტრიული პროექტირების ელემენტები პორიზონტალური და ვერტიკალური მიმართულებებისთვის დადგენილი იქნა არსებული მიწის გაკისის გათვალისწინებით. გათვალისწინებული იქნა ძირითადი საპროექტო წესები, როგორიცაა პორიზონტალური და ვერტიკალური მიმართულების ოპტიმალური სინქრონიზაცია, მრუდების მიმდევრობა, დრენაჟები, ნაგებობები და ა.შ. ასევე გათვალისწინებული იქნა გეოტექნიკური კვლევის მონაცემები.

შემოთავაზებული მიმართულება შემუშავებული იქნა შემდეგი პრინციპების დაცვით:

- დასახლებულ ადგილებზე მინიმალური ზეგავლენა და სათანადოდ მიწის ნაკვეთების დაკავების თავიდან აცილება;
- არსებული საგზაო ნაგებობის მაქსიმალური გამოყენება

პორიზონტალური მიმართულება

პორიზონტალური საპროექტო მიმართულება მიყვება არსებულ მიმართულებას, საკუთრების ხელყოფის და მიწის დაკავების თავიდან აცილების მიზნით. მჭიდროდ დასახლებულ ადგილებში გათვალისწინებულია გარდამავალი მრუდები უსაფრთხოების და მგზავრობის კომფორტის დონის ამაღლების მიზნით.

ვერტიკალური მიმართულება

ვერტიკალური მიმართულება ემთხვევა არსებულს, გრძივი პროფილი დაპროექტებული იქნა ადგილობრივი ტოპოგრაფიის გათვალისწინებით.

6. საგზაო სამოსის დაპროექტება

6.1 საგზაო სამოსის, საინჟინრო გეოლოგიური პირობების და მასალების გამოკვლევა

6.1.1 გამოკვლევების და გამოცდების პროგრამა

პროექტის ტერიტორიის ზოგადი გეოლოგიური აგებულებისა და საკვლევი საგზაო მონაკვეთის გასწვრივ გავრცელებული გეომორფოლოგიური და გეოტექნიკური მასალების განსაზღვრის მიზნით გამოყენებულ იქნა გეოლოგიური რუკებიდან და ხელმისაწვდომი ანგარიშებიდან ამოკრეფილი ინფორმაცია.

საკვლევი გასვლების და გზის ტრასის გასწვრივ გავრცელებულ გრუნტისა და საინჟინრო-გეოლოგიური პირობების თაობაზე სრული არსებული ინფორმაციის განხილვის და შეფასების შემდეგ, დამუშავდა და განხორციელდა გამოკვლევის და გამოცდების პროგრამა.

გეოტექნიკური პირობების გამოკვლევისა და გამოცდების დაწყებამდე, პირველ რიგში არსებული გზის გასწვრივ შესრულდა საგზაო სამოსის მდგომარეობის ვიზუალური აღწერა, რის შედეგადაც შეგროვდა საწყისი ინფორმაცია გზის ზედაპირისა და საგზაო სამოსის ხილული დეფექტების შესახებ.

არსებული გზის გასწვრივ განხორციელდა შეთავაზებული გეოტექნიკური კვლევების პროგრამა, რომელიც მოიცავდა:

- საცდელი შურფების გათხრას არსებული გზის ტრასის გასწვრივ, მიახლოებით 0.5 კმ ნომინალური ინტერვალებით, მათ შორის:
 - საცდელი შურფების ჭრილების დაფიქსირებას
 - შეშფოთებული (დაშლილი) და შეუშფოთებელი (მონოლითური) სინჯების აღებას
 - საცდელი შურფებიდან აღებული სინჯების ლაბორატორიულ გამოკვლევას
- გამოცდების ჩატარებას დინამიკური კონსულტაციის პენეტრომეტრით (“პენეტრაციულ გამოცდება”), 250-მეტრიანი ინტერვალებით.

დეტალური პროექტირებისთვის საჭირო საკვლევი გეოტექნიკური კვლევები შესრულდა 2019 წლის მაისის თვეში. საკვლევი სამუშაოების დამთავრების შემდეგ, დაიწყო ლაბორატორიული ანალიზები/გამოცდები, რომლებიც 2019 წლის ივნისში დასრულდა.

ხელმისაწვდომი ინფორმაციის გათვალისწინებით, შემუშავდა ამ ანგარიშში წარმოდგენილი გეოტექნიკური კვლევები, რომლებიც მიზნად ისახავდა ტრასის გასწვრივ არსებული გრუნტების სახეობების იდენტიფიცირებას და ინფორმაციის და მონაცემების მოპოვებას მიწისქეშა გრუნტის პირობების და არსებული ასფალტის საფარის შესახებ, რაც საჭიროა საგზაო სამოსის და გზის წინასწარი დაპროექტებისთვის.

პროგრამის ერთ-ერთ ამოცანას შეადგინდა საგზაო მშენებლობაში გამოყენებისთვის ვარგისი მასალების ადგილობრივი წყაროების გამოვლენა და მათი მასალების საპროექტო სამუშაოებში გამოყენებისთვის ვარგისიანობის განხილვა/შეფასება.

კრიტიკული ფერდობების და სხვა პოტენციურად არამდგრადი უბნების გეოლოგიური შეფასება, გრუნტის პირობების ჭაბურლილების საშუალებით გამოკვლევასთან ერთად, უზრუნველყოფს გრუნტის პირობების, მდგრადობის და მზიდუნარიანობის დადგენისთვის საჭირო ინფორმაციის მოპოვებას. აგრეთვე, განისაზღვრება საგზაო მშენებლობისთვის საჭირო ინერტული მასალების ადგილობრივი წყაროების ადგილდებარებები და შეფასება მათი მარაგების ხარისხი და ხელმისაწვდომობა საპროექტო სამუშაოებში გამოყენების თვალსაზრისით.

6.12 საველე გეოტექნიკური კვლევები

გეოტექნიკური კვლევების ძირითადი მიზანი ძირითადად მოიცავს მიწის ვაკისის სიმტკიცის და არსებული საგზაო სამოსის ტიპის, აგებულების, მზიდუნარიანობისა და მდგომარეობის შეფასებასა და საგზაო სამოსის აგებულების გაანგარიშებისთვის საჭირო პარამეტრების განსაზღვრას.

ანგარიშში წარმოდგენილია არამდგრადი ფერდობების, პოტენციურად ცოცვადი უბნების და საგზაო სამოსის პოტენციურად არასტაბილური სეგმენტების დამახსიათებელი საინჟინრო-გეოლოგიური პირობების გეოლოგიური და გეოტექნიკური შეფასება

საცდელი მონაკვეთის დეტალური გეოტექნიკური გამოკვლევის პროგრამის შემუშავების შემდეგ, შესრულდა შემდეგი პროგრამული სამუშაოები:

საცდელი შურფები:

არსებული გზის გასწვრივ ჩატარებული საველე კვლევები ძირითადად მოიცავდა საცდელი შურფების გათხრას და არსებული საგზაო სამოსის აგებულების და შურფებში გაშიშვლებულ ჭრილებში მიწის ვაკისის გრუნტების ტიპების განსაზღვრას, მასალების ნიმუშების აღებასთან ერთად. სულ არსებული გზის ტრასის გასწვრივ გაითხარა ოცდაცამეტი (33) შურფი, გრუნტის ზედაპირიდან 1.5-2.0 მ სიღრმეებით. საცდელი შურფები მონაცვლეობით ითხრებოდა გზის მოპირდაპირე ნაპირებში. გათხრილი შურფების მდებარეობები ნაჩვენებია დანართიში “ვ” მოცემულ საცდელი შურფების და დინამიკური კონუსური პენეტრომეტრით ჩატარებული გამოცდების ადგილების რუკაზე.

დამზადდა მოცულობითი ნიმუშები და დაფიქსირდა საგზაო სამოსის და მიწის ვაკისის ფენები. თითოეულ შურფში გაშიშვლებული სტრატიგრაფიული სვეტი გულმოდგინედ აღინუსხა საგზაო სამოსის სხვადასხვა ფენების სისქეების მითითებით. ლაბორატორიული გამოკვლევისთვის დამზადდა საგზაო სამოსის შეუკრავი ფენების და მიწის ვაკისის მასალების 20-40 კგ მასის მოცულობითი ნიმუშები. გასაანალიზებლად ასფალტის საფარის ნიმუშებიც შეგროვდა.

გამოცდები დინამიკური კონუსური პენეტრომეტრით (DCP):

საგზაო მონაკვეთზე, კმ 0.0-დან კმ 23.0-მდე (გზის კილომეტრაჟით – კმ 84-დან კმ 107-მდე) სულ დინამიკური პენეტრომეტრით 67 გამოცდა შესრულდა. პენეტრაციული გამოცდები მიზნად ისახავდა მიწის ვაკისის სიმტკიცის (კალიფორნიული რიცხვის (CBR)) აღგილზე განსაზღვრისთვის საჭირო სათანადო დამატებითი საველე მონაცემების მოპოვებას. გამოცდები ტარდებოდა დიდი ბრიტანეთის “სატრანსპორტო კვლევითი ლაბორატორიის” (TRL) მიერ დამუშავებული მოდელის კონუსური პენეტრომეტრით, რომელსაც გააჩნია შემდეგი სპეციფიკაციები:

უროს წონა	8 კგ
უროს ვარდნის სიმაღლე	575 მმ
კონუსის დიამეტრი	20 მმ
კონუსის განშლის კუთხე	60 გრადუსი

გამოცდების მიმდინარეობისას, ხელსაწყო გამოიყენებოდა სტანდარტული პროცედურის მიხედვით, რომლის ფარგლებშიც განსაკუთრებული ყურადღება ეთმობოდა:

- კონუსის მდგომარეობას (არ უნდა ყოფილიყო გაცვეთილი ან მოღუნული);
- გამოცდის დროს ხელსაწყოს ვერტიკალური პოზიციის უზრუნველყოფას;
- დიდ ქვებს, რომლებსაც შეეძლოთ გავლენა მოქედინათ ანათვლებზე.

“სატრანსპორტო კვლევითი დაბორატორიის” პენეტრომეტრი (TRL DCP) წარმოადგენს შეუკავშირებელი მასალებით აგებული საგზაო სამოსების სტრუქტურული მასასიათებლების ადგილზე სწრაფად გაზომვისთვის დამზადებულ ხელსაწყოს. დინამიკური კონუსური პენეტრომეტრით გაზომილი ანათვლები კორელირდება გრუნტის მზიდუნარიანობის (სიმტკიცის) კალიფორნიული მეთოდით განსაზღვრულ სიდიდეებთან (კალიფორნიული რიცხვი (CBR)), რაც შესაძლებელს ხდის გამოცდების შედეგების ინტერპრეტირებას და საგზაო სამოსის დაპროექტების სპეციფიკაციებით განსაზღვრულ CBR-ის საანგარიშო სიდიდეებთან შედარებას.



გამოცდის დაწყებამდე, ასფალტის ზედაპირი იჭოლებოდა კერნული ბურღვის ან შედარებით დიდი დიამეტრის მქონე ფოლადის ძალაყინის გამოყენებით. ამის შემდეგ, გამოცდა ტარდებოდა უშუალოდ შეუკრავი საფუძველის / მიწის ვაკისის ფენაზე.

გზის გასწვრივ დინამიკური პენეტრომეტრით გამოცდები წარმოებდა მონაცვლეობით მარჯვენა და მარცხენა ზოლებში. გამოცდების წარმოებისას, კონუსის გზის კონსტრუქციაში შეღწევის ანათვლები ფიქსირდებოდა რამდენიმე დარტყმის შემდეგ, რომელთა რაოდენობები დამოკიდებული იყო გასაჭოლი ფენების კონსისტენციებზე. გამოცდები წყდებოდა, შეძლებისდაგარად, 1000 მმ სიღრმის მიღწევის შემდეგ. ზოგიერთ შემთხვევაში, როდესაც გამოცდა საგარაუდოდ წარმოებდა უშუალოდ იზოლირებული მოზრდილი ქვების თავზე, გამოცდა მეორდებოდა იქვე ახლოს მდებარე სხვა ადგილში.

კონუსური პენეტრომეტრით ჩატარებული გამოცდების ადგილები ნაჩვენებია დანართიში “3” მოცემულ რუკაზე.

6.1.3 დაბორატორიული გამოკვლევა

ლაბორატორიული გამოკვლევები შესრულდა შპს “გეოტექსერვისის” გრუნტების საკვლევ დაბორატორიაში და მოიცავდა საცდელი შურფებიდან და ჭაბურღლილებიდან შეგროვებული საფუძველის/საფუძველის შესასწორებელი ფენის და მიწის ვაკისის მასალების ნიმუშების სტანდარტულ ანალიზებს/გამოცდებს საგზაო სამოსის დასაპროექტებლად საჭირო მასასიათებლების დადგენის მიზნით.

სადაზვერვო შურფებიდან აღებული ნიმუშებისთვის ლაბორატორიაში განისაზღვრა შემდეგი პარამეტრები:

- ბუნებრივი ტენიანობა;

- მასალის გრანულომეტრიული შემადგენლობა (საცრული და არეომეტრული მეთოდებით)
- პლასტიკურობა (ატერბერგის ზღვრული სიდიდეები);
- სიმკვრივე ადგილზე არსებულ მდგომარეობაში;
- ტენიანობის და სიმკვრივის დამოკიდებულების / გუმშვადობის დასადგენი გამოცდა (მშრალი მასალის მაქსიმალური სიმკვრივე (MDD), ოპტიმალური ტენიანობა (OMC))
- კალიფორნიული რიცხვი (CBR)

კუმშვაზე წინააღმდეგობის დასადგენი გამოცდები შესრულდა პროქტორის მოდიფიცირებული მეთოდით.

შეკავშირებული გრუნტების კალიფორნიული რიცხვის (CBR) გასაზომი ცდები ჩატარდა ASTM-ის მეთოდის შესაბამისად. ვინაიდან გარკვეულ პერიოდებში მიწის ვაკისის წალგაჯერების შესაძლებლობა გამორიცხული არ არის, ამიტომ, არსებულ გრუნტებზე წყლის ზემოქმედების შესაფასებლად, მიწის ვაკისის მასალების ნიმუშები, კალიფორნიული რიცხვის სიდიდეების განსაზღვრამდე, 4 დღის მანძილზე წყალში იყენებ მოთავსებული.

ასფალტის საფარიდან აღებულ ნიმუშებზე ჩატარდა შემდეგი ლაბორატორიული ცდები:

- ასფალტის ნარევში ბიტუმის შემცველობის განსაზღვრა
- ასფალტის ინერტული შემვსების გრანულომეტრიული ანალიზი

გრუნტების მექანიკური თვისებების გამოკვლევის გარდა, შესრულდა შემდეგი ქიმიური გამოკვლევები:

- გრუნტის ქიმიური ანალიზი;
- ბეტონისადმი აგრესიულობის ანალიზი (სულფატის და ქლორიდის შემცველობის განსაზღვრა).

6.2. კვლევების და გამოცდების შედეგები

6.2.1 სავალე კვლევების შედეგები

ქვემოთ წარმოდგენილია საკვლევი გზის ტრასის გასწვრივ შესრულებული სავალე კვლევების შედეგები საცდელი შურფების და დინამიკური პენეტრომეტრით ჩატარებული გამოცდების მიხედვით.

საცდელი შურფების მდებარეობები ნაჩვენებია დანართში “3“ მოცემულ რუკაზე.

არსებული ასფალტი

საკვლევ საგზაო მონაცემთს მთლიან სიგრძეზე გააჩნია ასფალტის საფარი, რომლის ფაქტორი მდგომარეობა შეიძლება დახასიათდეს როგორც ცუდი ან ძალიან ცუდი. ასფალტის ზედაპირი დამაკმაყოფილებელ მდგომარეობაშია მხოლოდ ლოკალური განვრცობის გარემონტებულ ან ახლახას გადაგებულ უბნებზე.

საგზაო სამოსის მდგომარეობის ვიზუალური აღწერის შედეგად გამოვლინდა ზედაპირის რიგი დაფენტები, როგორებიცაა:

- ბადისებრი დანაპრალება
- ორმოები
- დეფორმაციები
- ნაპირების დაშლა

ზემოაღნიშნულის გარდა დაფიქსირდა დიდი რაოდენობის ორმოული შეკეთებები.



სურათი 6.2: ბადისებრი დანაპრალება, ორმოული შეკეთებები, ორმოების განვითარება

ზედაპირზე დაიკვირვება ადრინდელი შეკეთების ნიშნები და არაერთი ორმოული შეკეთება (ასფალტის ნაკერები).



სურათი 6.3: სუბტი უბანი, ასფალტის დეფორმაცია და წანაცვლება, ბადისებრი დანაპრალება

ასფალტის საფარი მეტწილად შედგება ორი ფენისგან, რომელთა ჯამური სისქეები 70 მმ-დან 200 მმ-დე ცვალებადობს, ხოლო ლოკალურად, ორ საცდელ შურფებში 400 მმ სისქით ფიქსირდება. გამოკვლევის პროცესში ასფალტის საფარის ორი ფენის ერთმანეთისგან ვიზუალურად გარჩევა ყოველთვის შესაძლებელი არ იყო.

ასფალტის სისქეები, რომლებიც პენეტრაციული გამოცდების ჩატარების ადგილებში გაიზომა ზოგჯერ არ შეესაბამება საცდელ შურფებში განსაზღვრულ სისქეებს, ვინაიდან საცდელი შურფები ბზის ნაპირებში გაითხარა, ხოლო პენეტრაციული გამოცდები გზიც ცენტრალურ დერძთან უფრო ახლოს წარმოებდა.

არსებული საფუძველის მასალა

წინამდებარე ანგარიშში, ტერმინები “არსებული საფუძველი” და “არსებული საფუძველის შრე/ფენა”, რომელიც გამოიყენებიან არსებული საგზაო სამოსის იდენტიფიცირების მიზნით, აღნიშნავენ მხოლოდ გზის ზედაპირულ ფენასთან ყველაზე ახლო, ძირითადად შესაფერისი ხარისხის მარცვლოვანი მასალით შედგენილ ფენას.

საპროექტო საგზაო მონაკვეთზე, კმ 0.0-დან კმ 23.0-მდე (გზის კილომეტრაჟით – კმ 84.0-დან კმ 107.0-მდე) საცდელი შურფების ჭრილებზე ასფალტის ქვეშ დაფიქსირებული მარცვლოვანი მასალა ვიზუალურად აღიწერა როგორც “საგზაო სამოსის ფენა”. ეს ფენა შედგენილია ხრეშოვანი გრუნტით, კენჭის ჩანართებით და სხვადასხვა (30%-დან 40%-მდე) ოდენობის თიხაქვიშის შემაგრებლით. მოცემული საგზაო მონაკვეთის მთლიან

სიგრძეზე, საფუძველის მარცვლოვანი მასალა უშუალოდ ასფალტის საფარის ქვეშ არის განთავსებული.

“საგზაო სამოსის ფენა”, რომელიც მარცვლოვანი საფუძველის ზედა ფენად მიიჩნევა, 220 მმ-დან 600 მმ-დე სისქეებით დაფიქსირდა. ამასთან, მიახლოებით ხუთ ადგილში მარცვლოვანი საფუძველის მასალის სისქეები 750 მმ-დან 1100-მდე შუალედში აღმოჩნდა.

საკვლევ მონაკვეთზე არსებული საფუძველის ფენის სისქის და აგებულების დეტალები ნაჩვენებია სურათზე 6.4.

მიწის ვაკისი

საცდელი შურფების ჭრილების თანახმად, მიწის ვაკისი ძირითადად აგებულია შემდეგი ოთხი (4) ტიპის ბუნებრივი მასალებით:

- თიხა,
 - ◆ მოყავისფრო-უანგისფერი, ნახევრად მყარი, ხვინჭის ჩანართებით და იშვიათად – ქვიშის ლინზებით;
 - ◆ მოწითალო-ყავისფერი, ძნელპლასტიკური, ხვინჭის ჩანართებით
- თიხნარი, მოყვითალო-ყავისფერი, ნახევრად მყარი, ხვინჭის ჩანართებით და იშვიათად – ქვიშის ლინზებით;
- ლორდოვანი გრუნტი (ნატეხი ხრეში) ძნელპლასტიკური თიხნარის შემავსებლით;
- კირქვა, მონაცრისფრო-მოჟანგისფრო ყვითელი:
 - ◆ ძლიერ დანაპრალიანებული, ძლიერ გამოფიტული, თიხის შეაშრებით;

მიწის ვაკისის შემადგენლობაში შეგავმირებული (კოპეზიური) მასალები – თიხა და თიხნარი თითქმის ყველა საცდელ შურფში გამოვლინდა. თიხა უშუალოდ მოსდევს მარცვლოვანი საფუძველის ფენას და საცდელ შურფებში დაძიებულ მთლიან სიღრმეებამდე ვრცელდება. მხოლოდ ორ შურფში, მარცვლოვანი საფუძველის ქვემოთ, შურფების ფსკერებამდე დაფიქსირდა ლორდოვანი გრუნტი და გამოფიტული კირქვა.

“ლორდოვანი გრუნტის” სახელით დაფიქსირებული მასალა (ნატეხი ხრეში) მხოლოდ ერთ საცდელ შურფში გაშიშვლდა, საფუძველის ფენის ქვეშ, მიწის ვაკისის ამგები მასალის სახით და შურფში დაძიებულ მთლიან სიღრმეზე იყო გავრცელებული.

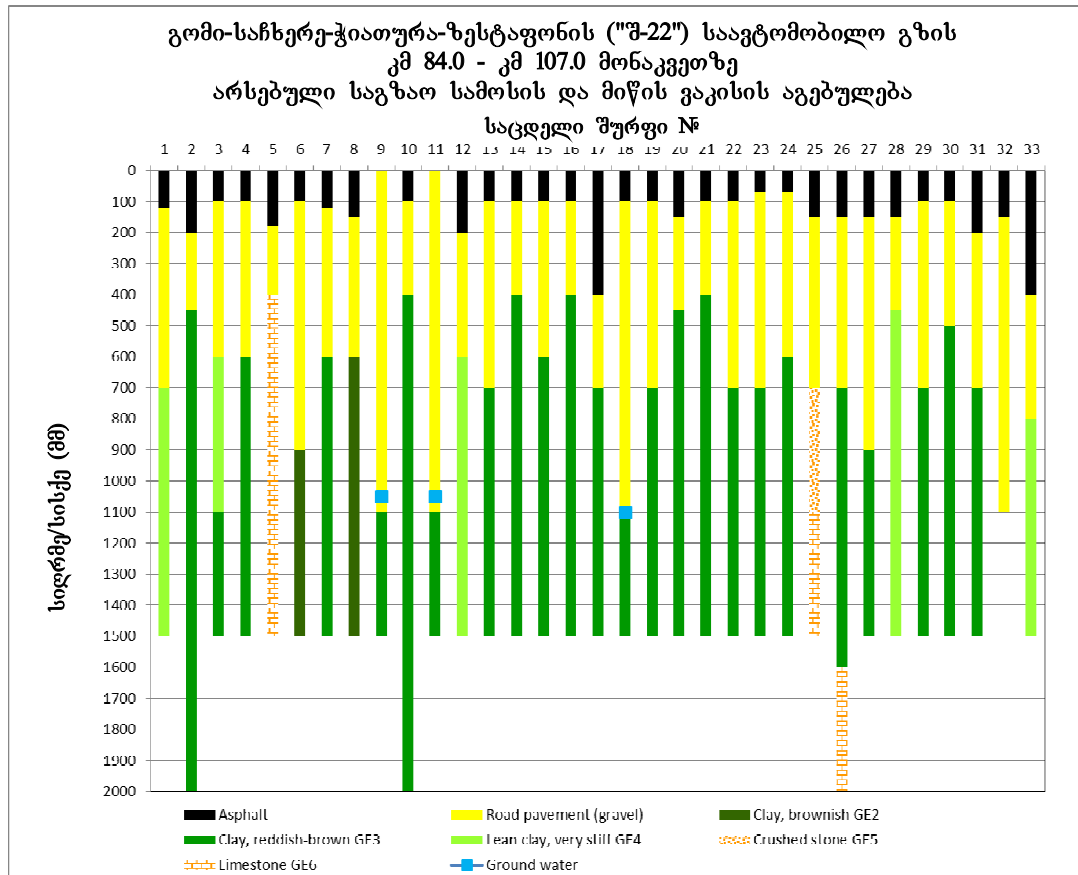
ძლიერ გამოფიტული და ძლიერ დანაპრალიანებული კირქვები დაფიქსირდნენ მხოლოდ სამ საცდელ შურფში. ერთ ადგილში კირქვა უშუალოდ მოსდევდა საფუძველის ფენის მასალას და შურფის ფსკერამდე ქმნიდა მიწის ვაკისე. სხვა ადგილებში კირქვები ლორდოვანი გრუნტის ან თიხის ქვემოთ იყვნენ განთავსებული.

სულ საკვლევი საგზაო მონაკვეთის გასწვრივ გაითხარა 33 საცდელი შურფი, რომელთა მდებარეობები ნაჩვენებია დანართში “3” მოცემულ რუკაზე. დანართში “4.1” წარმოდგენილ საცდელი შურფების ჭრილებზე მითოთებულია შურფების კოორდინატები და საერთო სიღრმეები, მონოლითური და დაშლილი ნიმუშების აღების სიღრმეებთან ერთად,

მთლიანობაში, არსებული საგზაო სამოსის აგებულება შედგება ასფალტის ზედაპირული ფენისგან, რომელსაც მოსდევს მარცვლოვანი მასალა და მის ქვედა შეკავშირებული ან, მხოლოდ ლოკალურად, მარცვლოვანი მიწის ვაკისი.

მომდევნო სურათზე ილუსტრირებულია საკვლევ მონაკვეთზე გავრცელებული გრუნტების აგებულება.

სურათი 6.4: საგზაო მონაკვეთის გასწვრივ არსებული გრუნტების აგებულება



საგზაო სამოსის და მიწის ვაკისის აგებულების დეტალები აგრეთვე ნაჩვენებია დანართიში “4.1” მოცემულ საცდელი შურფების ჭრილებზე.

დინამიკური კონუსური პენეტრომეტრით (DCP) გამოცდების შედეგები

საკვლევ საგზაო მონაკვეთზე 250-მეტრიანი ინტერვალებით 67 ადგილში შესრულდა გამოცდები კონუსური დინამიკური პენეტრომეტრით (“პენეტრაციული გამოცდები”), რომელთა შემაჯამებელი ანგარიში, ყველა მიღებული შედეგით, წარმოდგენია დანართიში “5”.

გამოცდებისას მიღწეული მაქსიმალური სიღრმე შეადგენდა 1.0 მეტრს გზის არსებული ზედაპირიდან. ჩვეულებრივ, პენეტრაციული გამოცდების შედეგების ინტერპეტირებისთვის გამოიყენება ფირხების კალიფორნიული რიცხვის (CBR) სიღრმეები ადგილზე არსებულ (ბუნებრივ) მდგომარეობაში, რომლებიც განისაზღვრებიან საიმედოდ დამუშავებული DCP/CBR კორელაციებით.

პენეტრაციული გამოცდების შედეგები გაანალიზდა და როდენობრივად შეფასდა “მე-8 საგზაო ცირკულარის” (Road Note 8) შესაბამისად, დიდი ბრიტანეთის “სატრანსპორტო კვლევითი დაბორატორიის” (TRL) მიერ შემუშავებული კომპიუტერული პროგრამის (UK DCP 3.1) გამოყენებით. საველე პენეტრაციული გამოცდების მონაცემების შეყვანის შემდეგ, პროგრამა თითქმის უცვლელი შეღწევადობების მქონე ვერტიკალური ზონებისთვის (რომელიც მოიხსენიებიან როგორც “ფენები”) ანგარიშობს ადგილზე განსაზღვრული სიმტკიცის/მზიდუნარიანობის (“კალიფორნიული რიცხვის/CBR”) სიღრმეებს შესაბამის ფენის სისქეებთან ერთად. “მე-8 საგზაო შენიშვნაში” [1]

მოცემული რეკომენდაციების გათვალისწინებით, საფუძველის შრის ფენებისთვის, ბუნებრივი (ადგილზე არსებულ მდგომარეობაში მყოფი მასალის) CBR-ის სიდიდეები, რომელიც 150%-ს აღემატება შემცირებულია 150%-მდე, ხოლო მიწის ვაკისისთვის, ადგილზე განსაზღვრული CBR-ის 50%-ზე მეტი სიდიდეები კი 50%-მდე.

საპროექტო საგზაო მონაკვეთზე საფუძველის და მიწის ვაკისის მასალების კალიფორნიული რიცხვის (CBR) ბუნებრის მდგომარეობაში განსაზღვრული სიდიდეები დაფუძნებულია პენეტრაციული გამოცდების შედეგებზე და გამოცდლილია გაჭოლვისადმი წინააღმდეგობის გამოყენებით. გამოცდების შედეგების შესაბამისად:

- ადგილზე არსებულ (ბუნებრივ) მდგომარეობაში, საფუძველის მარცვლოვანი მასალის კალიფორნიული რიცხვის სიდიდეები $>150\%-მდე$ დიაპაზონში იცვლება. კალიფორნიული რიცხვის ლოკალურად დაფიქსირებული ძალზედ მაღალი სიდიდეები განპირობებულია საფუძველის მასალაში არსებული დიდი ზომის ქვებით.
- ბუნებრივ მდგომარეობაში, შეკავშირებული კონსისტენციის მიწის ვაკისის კალიფორნიული რიცხვის სიდიდეები იცვლება $3\%-დან 50\%-მდე$ შუალედში. კალიფორნიული რიცხვის ლოკალურად დაფიქსირებული ექსტრემალური (ჰარბი) სიდიდეები აისხება დორდვან მასალაში მოზრდილი ქვების არსებობით და გამოფიტული კირქვების გაჭოლვისადმი წინააღმდეგობით.

დინამიური პენეტრომეტრით გამოცდების საშუალებით მიწის ვაკისის კალიფორნიული რიცხვის ბუნებრივ მდგომარეობაში განსაზღვრული სიდიდეები წარმოდგენილია დანართი „5“.

6.2.2 ლაბორატორიული ძალების შედეგები

არსებული საგზაო მონაკვეთის გასწვრივ გაითხარა არადრმა საცდელი შერფები, რომლებშიც აღებულ იქნა მასალების ნიმუშები.

საცდელი შერფებიდან შეგროვებული ყველა ნიმუში მიეწოდა ლაბორატორიაში გამოკვლევის და გრუნტის მასალების მახსინებლების განსაზღვრის მიზნით.

ძირითადი ლაბორატორიული გამოკვლევები მოიცავდა საკლასიფიკაციო გამოკვლევებს და სიმაგრისა და ძვრაზე წინააღმდეგობის განსაზღვრას. გამოკვლევები წარმოებდა შესაბამისი ევროპული (EN-BS) და ამერიკული (ASTM/AASHTO) სტანდარტების მოთხოვნების დაცვით.

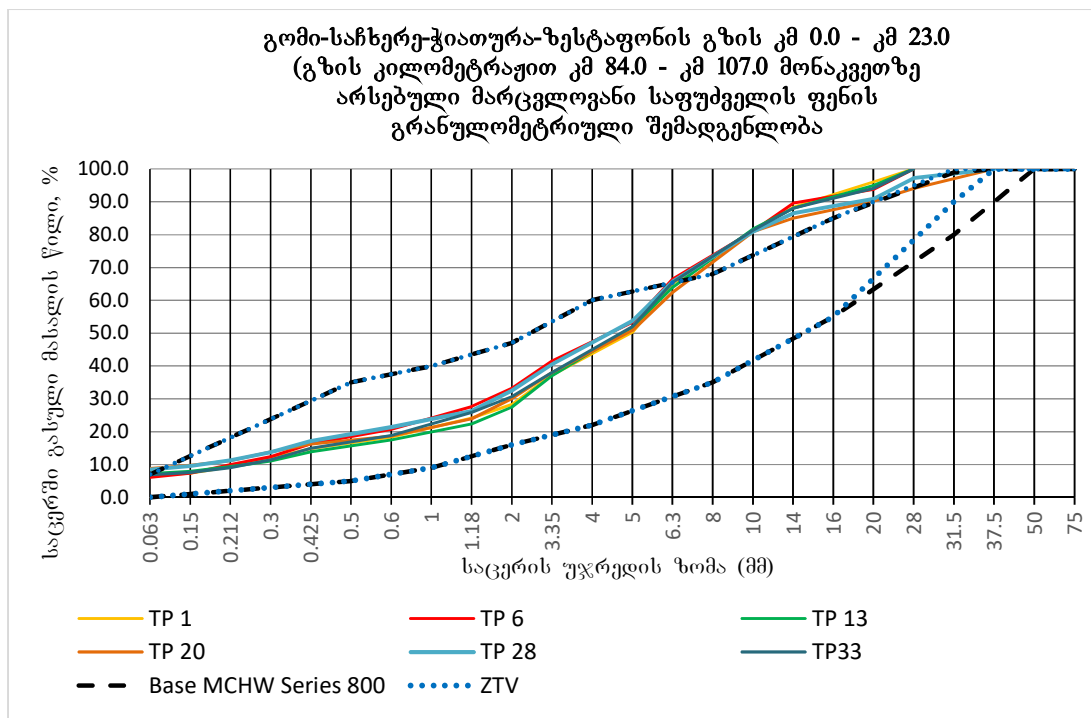
გამოვლენილი ტიპების გრუნტის მასალების ნიმუშებზე ლაბორატორიაში ჩატარებული ანალიზებით/გამოცდებით განისაზღვრა შემდეგი პარამეტრები:

- ტენიანობა
- ატერბერგის მაჩვენებლები (პლასტიკურობის ზღვრული სიდიდეები)
- გრანულომეტრიული შემადგენლობა
- სვედრითი წონა
- სიმკვრივე
- კუმშვადობა (პროქტორის მეთოდით)
- კალიფორნიული რიცხვი (CBR)
- ძვრის წინააღმდეგობა

არსებული საფუძველის მასალა

წინამდებარე ანგარიშში, ტერმინები “არსებული საფუძველი” და “არსებული საფუძველის შრე/ფენა”, რომლებიც გამოიყენებიან არსებული საგზაო სამოსის იდენტიფიცირების მიზნით, აღნიშნავენ მხოლოდ გზის ზედაპირულ ფენასთან უკელაბე ახლო, ძირითადად შესაფერისი ხარისხის მარცვლოვანი მასალით შედგენილ ფენას. გრუნტების გამოკვლევის ანგარიშში, აღნიშნული მასალა, რომელიც ძირითადად ხელშისგან და კენჭისგან შედგება, მოხსენიებულია როგორც “საგზაო სამოსის ფენა”.

მიჩნეულია, რომ ასფალტის ზედაპირის ქვემოთ დაგებული მარცვლოვანი ფენა წარმოადგენს საგზაო საფუძველს. “საგზაო სამოსის ფენა” ცვალებადი, 220 მმ-დან 600 მმ-მდე სისქეებით დაფიქსირდა. კვლევის წარმოების პროცესში, მიახლოებით 5 ადგილში აღნიშნული ფენის სისქეები 750 მმ-დან 1100 მმ-მდე იყო გაზრდილი.



სურათი 6.5. არსებული და ბუნებრივი დორდოვანი საფუძველის ზღვრული გრანულომეტრიული შემადგენლობები

საცდელი შერტებიდან ამოღებული (“საგზაო სამოსის ფენის”) მარცვლოვანი მასალის ნიმუშები, რომლებიც ლაბორატორიაში გაანალიზდა, კლასიფიცირდა როგორც ქვიშანარევი ხელში, ქვიშის 20%-დან 27%-მდე და წვრილმარცვლოვანი (<0.063 მმ) ფრაქციის 6.1%-დან 8.8%-მდე შემცველბით.

ცხრილი 6.1. არსებული საფუძველის მასალის ("საგზაო სამოხის ფენის") დაბორატორიული გამოკვლევის შედეგები

მიწის ვაკისის ტიპი	მშრალი მასალის მაქსიმალური სიმკვრივე (გ/სმ ³)	ოპტიმალური ტენიანობა (%)	მშრალი მასალის მაქს. სიმკვრივის 95%-მდე გამკვრივებული (95% MDD) ნიმუშების კალიფორნიული რიცხვის (CBR) ლაბ. სიღიდეები (%)	
			(%)	(%)
ხრეში, ქვიშიანი (საგზაო სამოხის ფენა)	21.6 - 21.9	6.2 – 8.1		36 – 42

AASHTO-ს „გრუნტების კლასიფიკაციის სისტემის“ შესაბამისად, არსებული მარცვლოვანი საფუძველის მასალა მიეკუთვნება A-1-ა ჯგუფს.

მიწის ჯგუფი:

საველე კვლევების წარმოების პროცესში გამოვლინდა მიწის ვაკისის ოთხი ტიპის ბუნებრივი მასალა. კერძოდ, საგზაო მონაკვეთის მთლიან სიგრძეზე მიწის ვაკისში შეგროვებული და გამოკვლეული ნიმუშები შეიძლება აღიწერონ როგორც თიხა, თიხნარი დორდოვანი გრუნტი და ძლიერ გამოფიტული კირქვა.

თიხა, ძნელპლასტიკურიდან ნახევრად მყარამდე კონსისტენციის, ხვინჭის ჩანართებით და ქვიშის ლინზებით

ლაბორატორიაში გამოკვლეულ თიხის ნიმუშებში წვრილმარცვლოვანი ფრაქციის (<0.063 მმ) წილი 64.8%-დან 68.8%-მდე იცვლება, ხოლო ქვიშის და ხვინჭის შემცველობები, შესაბამისად, 10%-17% და 17%-20% შეალებულია.

ცხრილი 6.2 ლაბორატორიული გამოკვლევის შედეგები – თიხა, ხვინჭიანი, ქვიშიანი

მიწის ვაკისის ტიპი	პლასტიკურობის ზღვრები LL PI		მშრალი მასალის მაქსიმალური სიმკვრივე (გ/სმ ³)	ოპტიმალური ტენიანობა (%)	CBR-ის ლაბორატორიული სიღიდე (95% MDD)
	(%)	(%)			
თიხა, მოყავისფრო-ჟანგისფერი სტ-2	36.9 - 38.4	17.5 - 20.7	17.2 - 17.4	18.2 - 18.6	9.2 - 9.9
თიხა, მოწითალო-ყავისფერი სტ-3	37.5 - 39.7	18.9 - 23.6	16.8 - 17.0	19.7 - 21.4	7.0 - 8.6

ლაბორატორიული გამოკვლევის შედეგების შესაბამისად, მოწითალო-ყავისფერი და მოყავისფრო-ჟანგისფერი თიხები მკვრიცლასტიკურიდან ძნელპლასტიკურამდე კონსისტენციისად.

თიხის ბუნებრივი სიმკვრივე 1.8-1.94 გ/სმ³ შეალებულია, ხოლო ტენიანობა 20%-დან 26%-მდე იცვლება. მშრალი მასალის სიმკვრივის შედეგობრივი სიღიდეები 1.47 გ/სმ³-დან 1.57 გ/სმ³-მდე დიაპაზონშია, რაც მშრალი მასალის მაქსიმალური მოდიფიცირებული სიმკვრივის (MDD) მიხს. 87-90 პროცენტს შეადგენს. ბუნებრივ მდგომარეობაში კალიფორნიული რიცხვის სიღიდეები, მკვრიცლასტიკური მოწითალო-ყავისფერი თიხის ნიმუშებში 2.0%-დან 4.0%-მდე ცვალებადობს, ხოლო არაპლასტიკური მოყავისფრო-ჟანგისფერი თიხების შემთხვევაში 5.5%-ს შეადგენს.

მოწითალო-ყავისფერი თიხის ძვრის პარამეტრები განისაზღვრა შემდეგი სახით:

- შინაგანი ხახუნის კუთხე – 14° - 16°
- შეჭიდულობა – 45-49 კპა

პლასტიკურობის მიხედვით, თიხის მასალა კლასიფიცირდა როგორც საშუალო პლასტიკურობის ქვიშიანი და ხვინჭიანი თიხა.

AASHTO-ს „გრუნტების კლასიფიკაციის სისტემის“ [4] შესაბამისად, თიხა მიეკუთვნება A-6 ჯგუფს. მიწის ვაკისისთვის ვარგისიანობის თვალსაზრისით, შეკავშირებული გრუნტი დამაკმაყოფილებლიდან დაბლამდე ხარისხის მქონედ მიიჩნევა.

თიხის ნიმუშების ქიმიური ანალიზის შედეგები მიუთითებენ, რომ მასალა არ არის აგრესიული ცემენტობეტონის მიმართ.

თიხნარი, ქვიშიანი, ხვინჭიანი

ლაბორატორიაში გამოკვლეულ თიხნარის ნიმუშებში წვრილმარცვლოვანი ფრაქციის (<0.063 მმ) შემცველობა მიახლოებით 51%-ს შეადგენს, ქიმის წილი 19%-დან 21%-მდე იცვლება, ხოლო ხვინჭის – მიახლოებით 29 პროცენტია.

ცხრილი 6.3. ლაბორატორიული გამოკვლევის შედეგები – თიხნარი, ხვინჭიანი და ქვიშიანი

მიწის ვაკისის ტიპი	პლასტიკურობის ზღვრები		მშრალი მასალის მაქს. სიმკვრივე	ოპტიმა- ლური ტენიანობა	CBR-ის ლაბორატორიუ- ლი სიდიდე (95% MDD)
	LL	PI			
	(%)	(%)	(J^3/m^3)	(%)	(%)
თიხნარი, ხვინჭიანი, ქვიშიანი სბ0-4	17.5 – 17.7	12.8 - 13.6	34.0 - 38.5	13.2 - 16.9	9.5 – 10.0

ლაბორატორიული გამოკვლევის შედეგების შესაბამისად, თიხნარი ძნელპლასტიკური კონსისტენციისაა.

ლაბორატორიული გამოკვლევის შედეგების შესაბამისად, თიხნარის ბუნებრივი სიმკვრივეა 1.77 g/l^3 , ტენიანობა 22%-დან 24%-მდე იცვლება. მშრალი მასალის სიმკვრივის შედეგობრივი სიდიდე 1.42 g/l^3 -ს შეადგენს, რაც მშრალი მასალის მაქსიმალური სიმკვრივის (MDD) მიახ. 80%-ს უტოლდება. ბუნებრივ მდგომარეობაში თიხნარის კალიფორნიული რიცხვის განსაზღვრა ვერ მოხერხდა, თუმცა მიჩნეულია, რომ თიხის მასალის მსგავსი რიგისაა.

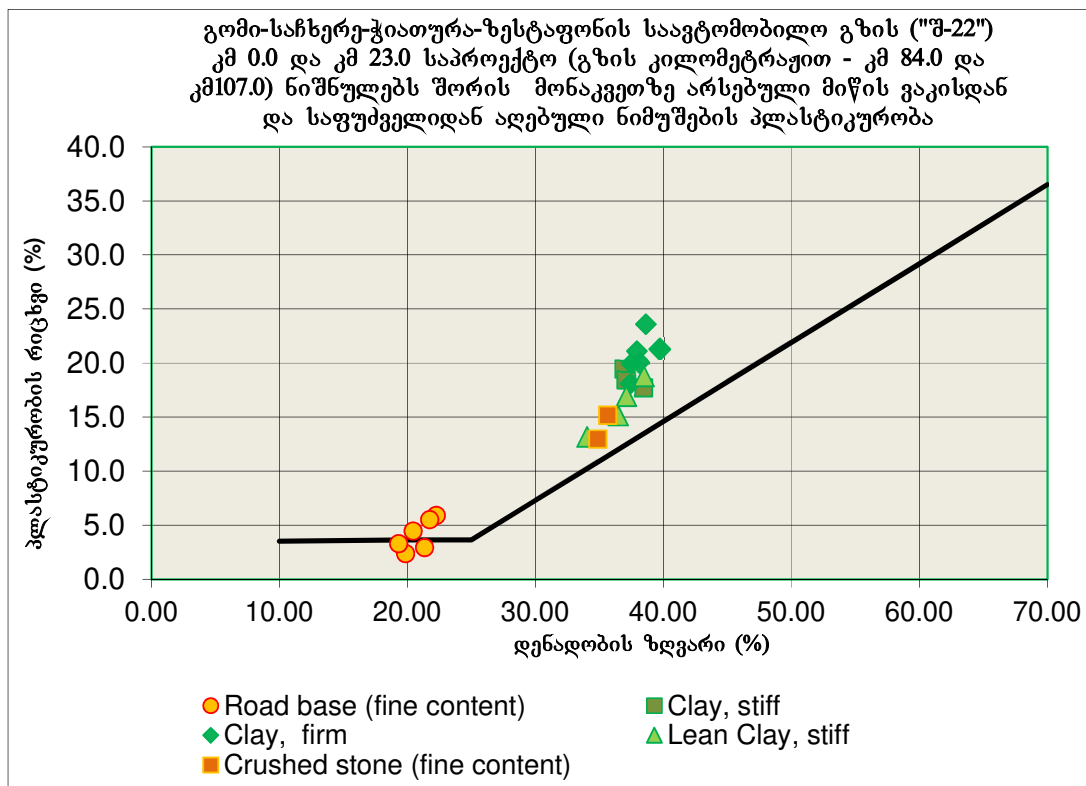
თიხნარის ძვრის პარამეტრები განისაზღვრა შემდეგი სახით:

- შინაგანი ხახუნის კუთხე – 23°
- შეჭიდულობა – 28 კპა

პლასტიკურობის მიხედვით, თიხოვანი მასალა კლასიფიცირდა როგორც საშუალო პლასტიკურობის ქვიშიანი და ხვინჭიანი თიხნარი. მიწის ვაკისისთვის ვარგისიანობის თვალსაზრისით, შეკავშირებული გრუნტი დამაკმაყოფილებლიდან დაბლამდე ხარისხის მქონედ მიიჩნევა.

AASHTO-ს „გრუნტების კლასიფიკაციის სისტემის“ [4] შესაბამისად, თიხნარი მიეკუთვნება A-6 ჯგუფს.

თიხნარის ნიმუშების ქიმიური ანალიზის შედეგები მიუთითებენ მასალის დაბლიდან საშუალომდე ხარისხის აგრესიულობაზე ცემენტობეტონის მიმართ.



სურათი 6.6: საკვლევი საგზაო მონაკვეთის გასწვრივ არსებული საფუძველის და მიწის ვაკისის მასალების პლასტიკურობის გრაფიკი

დორდოვანი გრუნტი

დორდოვანი გრუნტის ლაბორატორიაში გამოკვლეულ ნიმუშებში წვრილმარცვლოვანი ფრაქციის (<0.063 მმ) წილი მიახლოებით 19%-ს შეადგენს, ხოლო ქვიშის შემცველობა 7.6%-დან 9%-მდე ცვალებადობს.

ცხრილი 6.4. ლაბორატორიული გამოკვლევის შედეგები – დორდოვანი გრუნტი (მიწის ვაკისი)

მიწის ვაკისის მასალის ტიპი	მშრალი მასალის მაქს. სიმკვრივე	ოპტიმა-ლური ტენიანობა	პლასტიკურობის ზღვრები*		CBR-ის ლაბორატორიული სიღილე (95% MDD)
	(კნ/მ ³)	(%)	(%)	(%)	
დორდოვანი გრუნტი	20.5 – 21.0	8.3 – 10.2	34.9 - 35.7	13.0 - 15.2	27.8 – 30.0

გრანულომეტრიული შემადგენლობის გათვალისწინებით, დორდოვანი გრუნტის (ნატეხი ხევშის) მასალა კლასიფიცირდა როგორც თიხაქვიშიანი დორდი. მასალაში არსებული წვრილმარცვლოვანი ფრაქცია დაბლიდან საშუალომდე პლასტიკური და ძნელპლასტიკური კონსისტენციისაა.

AASHTO-ს “გრუნტების კლასიფიკაციის სისტემის” შესაბამისად, ღორღოვანი გრუნტი მიეკუთვნება A-2-6 ჯგუფს.

კირქვა, ძლიერ გამოფიტული, ძლიერ დანაპრალიანებული
გამოფიტული კირქვები გამოვლინდა მხოლოდ სამ საცდელ შურფში, თისის ან ღორღოვანი გრუნტის ქვემოთ.

სულ რამოდენიმე ნიმუშს ჩაუტარდა საბაზისო ლაბორატორიული გამოკვლევები. მოცულობითი (ბუნებრივი) სიმკვრივის სიდიდემ შეადგინა 1.81 g/s^3 , მშრალი მასალის სიმკვრივემ – 1.55 g/s^3 , ხოლო ხელორითი წონის სიდიდემ – 2.72 g/s^3 .

საველე შეფასების გათვალისწინებით, გამოფიტული კირქვის მასალა კლასიფიცირდა როგორც დაბლიდან საშუალომდე სიმაგრის ქანი.

საკვლევი საგზაო მონაკვეთის გასწვრივ აღებული ნიმუშების ლაბორატორიული გამოკვლევის შედეგები წარმოდგენილია დანართში “4.I” მოცემულ “საინჟინრო-გეოლოგიური კვლევის ანგარიშში”.

6.2.3 გრუნტის გაყინვის სიღრმე

საკვლევ საგზაო მონაკვეთზე მიწის ვაკისის შემადგენელი გრუნტების შეკავშირებული კონსისტენციის (კონსისტენციის) გათვალისწინებით, სათანადო ყურადღებას საჭიროებს საგზაო სამოსის ფენებსა და მიწის ვაკისზე ყინვის ტემპერატურების ზემოქმედება.

საგზაო მონაკვეთის გარსმომცველი რეგიონისთვის დადგენილია გრუნტების სეზონური გაყინვის სიღრმეების შემდეგი ნორმატიული სიღრმეები:

თიხოვანი და თიხნარი:	0 სმ
წვრილი და მტკრისებრი ქვიშის:	0 სმ
მსხვილი და საშუალო სიმსხვილის ხრეშისებრი ქვიშის:	0 სმ
მსხვილნატება:	0 სმ

გრუნტის სეზონური გაყინვის ზემოთ მითითებული ნორმატიული სიღრმეებიდან გამომდინარე, გომი-ჭიათურა-ზესტაფონის გზის საკვლევ მონაკვეთზე მიწის ვაკისზე ყინვის შეღწევის გათვალისწინება არ მოითხოვება.

6.2.4 მასალების წყაროების იღენტიფიცირება

საველე კვლევების წარმოების პროცესში დადგინდა და შემოწმდა შესაფერისი სამშენებლო მასალების მოწოდების წყაროები.

გრუნტის რეზერვები და კარიერები
შეფასდა სამშენებლო მასალების შესახებ წინა პერიოდებში ჩატარებული კვლევებით მიღებული და მოცემული საპროექტო გზისთვის შესაფერისი მონაცემები და ინფორმაცია, არსებული და პოტენციური კარიერების და გრუნტის რეზერვების ადგილმდებარეობები განისაზღვრა გეოლოგიური რუკებიდან ამოკრეფილი ინფორმაციისა და ხელმისაწვდომი ანგარიშების გამოყენებით.

გომი-საჩხერე-ჭიათურა-ზესტაფონის საავტომობილო გზის საპროექტო მონაკვეთზე შესრულებული საგელე კვლევების შედეგად დადგინდა რეგიონში არსებული ინერტული მასალების წყაროები, რომლებიც გონივრული მანძილებით არიან დაშორებული საგზაო მონაკვეთიდან. ამ ობიექტების მდებარეობები, მასალების ტიპები და ხელმისაწვდომი მარაგები წარმოდგენილია დანართში “6”.

ახალი გამოკვლევის და ადრინდელი გამოცდების შედეგები მიუთითებენ, რომ პროექტის ტერიტორიაზე გავრცელებული ბუნებრივი მარცვლოვანი მასალები მეტწილად ვარგისია ყრილებში და მიწის ვაკისის დამცავ და საფუძველის შესასწორებელ ფენებში გამოყენებისთვის, თუმცა უმეტეს შემთხვევებში საჭიროებენ გარკვეულ გადამუშავებას (გაცხრილვას).

პროექტის ტერიტორიაზე ნამსხვევები ინერტული მასალების წარმოებისთვის რეკომენდირებულია მდინარეული ხრეშის გამოყენება, რომელიც ძირითადად სტაბილური მისაღები ხარისხით გამოიჩინა.

სამუშაოების დაწყებამდე, კონტრაქტურმა უნდა დაადასტუროს ყველა სამშენებლო მასალის დასახული გამოყენებისთვის ვარგისიანობა და შეამოწმოს და დასაბუთოს შერჩეული მასალების შესაბამისობა სპეციფიკაციების მოთხოვნებთან.

თითოეული გამოსაყენებელი გრუნტის რეზერვისთვის და/ან კარიერისთვის, აუცილებელია სათანადო უფლამოსილი ორგანოებისგან მიღებულ იქნას მასალების მოცოვებისთვის საჭირო ყველა ნებართვა და ლიცენზია ან მოქმედ მომპოვებელ ან გადამამუშავებელ საწარმოებთან გაფორმდეს სათანადო ხელშეკრულებები.

პიტომი

საქართველოში ნახშრირწყალბადების მნიშვნელოვანი ბუნებრივი საბადოები არ არსებობს. ასფალტის წარმოებაში გამოსაყენებელი ბიტუმი ან სხვა ბიტუმიანი პროდუქტი ქვეყანაში არ იწარმოება. ყველა ბიტუმიანი პროდუქტი, რომელიც საჭიროა მოცემული საპროექტო გზის სარგაბილიტაციო სამუშაოებში გამოყენებისთვის იმპორტირებულ უნდა იქნას ნებადართული მეზობელი ქვეყნებიდან ან ევროპიდან.

მოცემული საპროექტო გზისთვის გამოყენებული ყველა იმპორტირებული ბიტუმის პროდუქტი უნდა აკმაყოფილებდნენ შესაბამის ევროპულ სტანდარტებს. საპროექტო მონაკვეთის საგზაო საფარის შემკრავ მასალად რეკომენდირებულია გამოყენებულ იქნას 50/70 ან 50pen (40/60) მარკების ბიტუმები ან 25/55-55 მარკის მოდიფიცირებული ბიტუმი.

ცემენტი

საქართველოში ცემენტს აწარმოებენ კომპანია „ჰეიდელბერგცემენტი (საქართველო)“ და სს „კავკაზ ცემენტი“. „ჰეიდელბერგცემენტის“ ქარხნები განთავსებულია რუსთავში, კასპში და თბილისში, ხოლო „კავკაზ ცემენტის“ საწარმები – თბილისში, ფოთში და გომში. ორივე კომპანია ევროპული სტანდარტების დაცვით ამზადებს და უშვებს ბეტონის პროდუქციისთვის ჩვეულებრივ საჭირო სხვადასხვა ტიპის და მარკის ცემენტებს, როგორებიცა:

- პორტლანდცემენტი CEM II/A-P 32.5
- პორტლანდცემენტი CEM II/A-S 32.5 N
- პორტლანდცემენტი CEM II/B-M 32.5 N
- სულფატმედეგი პორტლანდცემენტი CEM I 32.5 R-SR5
- პორტლანდცემენტი CEM I 42.5 N
- წილაპორტლანდცემენტი CEM III/a 42.5 N

ზემოთ ჩამოთვლილი მარკების ცემენტების გარდა, აღნიშნული კომპანიების საწარმო ობიექტებს შეუძლიათ სხვადასხვა სახის, ხარისხის და საფირმო დასახელების ცემენტების დამზადება.

ზოგადად, ადგილობრივად წარმოებული ცემენტი დამაკმაყოფილებელია პროექტით გათვალისწინებული ნაგებობების მშენებლობისთვის საჭირო ცემენტობეტონის დასამზადებლად. ასეთი ნაგებობები მეტწილად წარმოდგენილია წყალარინების

საშუალებებით (მიღებით) და ხიდებით. ცემენტის სახეობები და ხარისხი უნდა შეირჩეს კონკრეტული ნაგებობების პროექტირების მოთხოვნების საფუძველზე.

6.2.5 კვლევების შედეგების შეფასება

23.0 კმ სიგრძის საპროექტო საგზაო მონაკვეთზე შესრულებული კვლევების ფაქტიური შედეგების შეფასება მოიცავს ყველა ხელმისაწვდომ მონაცემს, რომლებიც ახასიათებენ არსებულ საგზაო სამოსს, ზედაპირის მდგომარეობას, გრუნტების/ქანების აგებულებას და მიწის ვაკისის სიმტკიცეს.

არსებული ასფალტის საფარი:

საკვლევი საგზაო მონაკვეთი მთლიან სიგრძეზე მოასფალტებულია. ასფალტის საფარის დაფიქსირებული სისქეები 70 მმ-დან 200 მმ-მდე ფარგლებში იცვლება, ხოლო ზოგიერთ ადგილში 400 მმ-ს აღწევს.

საგზაო სამოსის მდგომარეობის აღწერის შედეგების შესაბამისად, ასფალტის ზედაპირი დაბალი ან ძალზედ დაბალი ხარისხის მქონედ ხასიათდება. კერძოდ, ასფალტის საფარის მდგომარეობის აღწერის თანახმად, ფიქსირდება ზედაპირის ბადისებრი დანაპრალება, ორმოები, წანაცვლებები, დეფორმაციები და ნაპირების დაშლა, რომელიც საექსპლუატაციო ვადის ბოლოსთვის მიღწეული ასფალტის საფარის ტიპიურ დეფექტებს წარმოადგენენ

გომი-საჩხერეჭჭიათურა-ზესტაფონის გზის (“შ-22”) კმ 0.0-დან კმ 23.0-მდე გამავალ საპროექტო მონაკვეთზე (გზის კილომეტრაჟით – კმ 84.0 - კმ 107 მონაკვეთი) არსებული ასფალტის საფარის მიმდინარე მდგომარეობის გათვალისწინებით, რეკომენდირებულია ასფალტის მთლიანად მოხსნა, უპირატესად მოფრეზების საშუალებით, გადამუშავება და, თუ შესაძლებელია, ხელახლა გამოყენება, უპირატესად, საგზაო სამოსის ახალ მარცვლოვანი ფენაში. ასეთ შემთხვევაში მოფრეზილი ასფალტის მასალა, დასახული გამოყენების მიხედვით, უნდა დაიმსხვრეს და დაყვანილ იქნას მაქსიმუმ 32,5 მმ ან უფრო წვრილი ზომის ფრაქციულ ზომამდებარებული შემდეგ. შესაბამისი მოთხოვნების დასაკამაყოფილებლად სათანადო მარცვლოვან მასალასთან შერევის შემდეგ, მიღებული ნარევი შეიძლება გამოყენებულ იქნას საფუძველის/საფუძველის შესასწორებელ ან მოსაშანდაკებელ/მიწის ვაკისის დამცავ ფენებში.

არსებული საფუძველის მასალა (ქვიშანარევი ხრეში):

მიჩნეულია რომ მარცვლოვანი მასალით შედგენილი ფენა, რომელიც დაფიქსირდა საკვლევი საგზაო მონაკვეთის მთლიან სიგრძეზე, ასფალტის საფარის ქვეშ და აღიწერა როგორც “საგზაო სამოსის ფენა”, წარმოადგენს საგზაო საფუძველს. წინამდებარე ანგარიშში, ტერმინები “არსებული საფუძველი” და “არსებული საფუძველის შრე/ფენა”, მოიცავს მხოლოდ გზის ზედაპირულ ფენასთან ყველაზე ახლო, ძირითადად სათანადო ხარისხის მარცვლოვანი მასალით შედგენილ ფენას. აღნიშნული მარცვლოვანი ფენა, რომელიც აგრეთვე მოიხსენიება როგორც “საგზაო სამოსის ფენა”, სხვადასხვა – 100 მმ-დან მიახ. 600 მმ-დან, ხოლო ლოკალურად – 1000 მმ-მდე სისქეებით ფიქსირდება.

საფუძველის მარცვლოვანი მასალა ძირითადად შედგება ბუნებრივი ხრეშისგან, იშვიათი ჭარბი ზომის ქვებით და ქვიშის და წვრილმარცვლოვანი შემავსებლის ცვალებადი შემცველობით.

პენეტრაციული (DCP) გამოცდების შედეგების შეფასება უზვენებს, რომ არსებული მარცვლოვანი საფუძველის მასალის გაჭოლვის მიმართ ცვალებადია და შესაბამისი კალიფორნიული რიცხვის (CBR) სიდიდეები $12\%-დან >150\%-მდე$ შეადევდები გარიყებს. კალიფორნიული რიცხვის ექსტრემალური სიდიდეები აისხება საფუძველის მასალაში დიდი ზომის ქვების შემცველობით. “სატრანსპორტო კვლევითი ლაბორატორიის” “დინამიკური კონუსური პენეტრომეტრით” (TRL DCP) ადგილებზე ჩატარებული მიწის ვაკისის გამოცდების (DCP) შედეგად განსაზღვრული კალიფორნიული რიცხვის

სიდიდეების განაწილების ქვედა მუ-10 კვანტილის გამოყენებით, საკვლევ საგზაო მონაკვეთზე მიწის ვაკისის მზიდუნარიანობის (DCP-CBR) საანგარიშო სიდიდე მიღებულია 24%.

საფუძველის მასალის (მშრალი მასალის მაქსიმალური მოდიფიცირებული სიმკვრივის 95%-მდე გამჭვივებული ნიმუშების) კალიფორნიული რიცხვის დაბორატორიაში განსაზღვრული სიდიდეები 36%-დან 42%-მდე შეაღედშია. გზის მიმდინარე მდგომარეობის და კველა ხელმისაწვდომი საველე და ლაბორატორიული გამოცდების შედეგების გათვალისწინებით, საფუძველის მარცვლოვანი მასალის მზიდუნარიანობის/სიმტკიცის (CBR) საანგარიშო სიდიდე მშრალი მასალის მაქსიმალური სიმკვრივის 95%-მდე დატკეპნილ მდგომარეობაში (95% MDD) განისაზღვრა შემდეგი სახით:

**არსებული მარცვლოვანი საფუძველის
მზიდუნარიანობის საანგარიშო სიდიდე (95% MDD): CBR = 30%**

არსებული მარცვლოვანი საფუძველის დასინჯული და გამოკვლეული მასალა ვერ აკმაყოფილებს საფუძველის მასალისთვის აღიარებული სტანდარტებით დაწესებულ მოთხოვნებს როგორც გრანულომეტრიული შემადგენლობის, ასევე კალიფორნიული რიცხვის სიდიდის მხრივ. ამასთან, არსებული მარცვლოვანი საფუძველის მასალის გამოყენება შესაძლებელია, მაგალითად, საფუძველის შესასწორებელი ფენის სახით.

ზოგადად, მოცემული საგზაო მონაკვეთის რეაბილიტაციის პროცესში, არსებული საფუძველის მარცვლოვანი მასალა, შეიძლება ადგილზე დარჩეს, თუ ეს არ მოვა წინააღმდეგობაში გზის ახალ ვერტიკალურ პროფილთან, და გამოყენებულ იქნას ახალი საგზაო სამოსის კონსტრუქციაში საფუძველის შესასწორებელი ან მიწის ვაკისის დამცავი ფენის სახით. ასეთ შემთხვევაში, ახალი ფენის დაგებამდე საჭირო იქნება არსებული საფუძველის ლოკალური გარემონტება და დამჯდარ ადგილებში გრუნტის შეცვლა, სველი მასალის მოხსნასა და ახლით შეცვლასთან ერთად.

სადაც დაპროექტებული ვერტიკალური პროფილი არსებული საფუძველის გარკვეულ სიღრმემდე მოხსნას მოითხოვს, ამოთხოვს, მარცვლოვანი მასალა შეიძლება გამოყენებულ იქნას საერთო დანიშნულების ყრილებში, ან სათანადო გადამუშავების შემდეგ, რაც, სულ ცოტა, მასალის გაცრას და ახალი მასალის დამატებას მოიცავს – საფუძველის შესასწორებელ/მიწის ვაკისის დამცავ ფენებში. არსებული საფუძველის უვარგისი გრუნტის შეცვლის შედეგ, ახალი საგზაო სამოსის მშენებლობის პროცესში გასათვალისწინებელია გრუნტების დამატებითი ჩანაცვლება იქ, სადაც მიწის ვაკისი მეტწილად სუსტი მასალით არის შედგენილი.

გზის უბნებზე, სადაც ტექნიკური გადაწყვეტა ვერტიკალური პროფილის აწევას მოითხოვს, არსებული მარცვლოვანი მასალა შეიძლება ადგილზე დარჩეს გზის ვაკისის შემადგენელი ნაწილის სახით, წინასწარ სათანადოდ დაპროფილების და დატკეპნის პირობით. ლოკალურად არსებული უვარგისი მასალა უნდა შეიცვალოს მიწაჟრილის ან მიწის ვაკისის დამცავი/საფუძველის შესასწორებელი ახალი ფენების მასალების დაგებამდე.

მიწის ვაკისი:

საკვლევი საგზაო მონაკვეთის გასწვრივ, მიწის ვაკისი, საგზაო მშენებლობისთვის შესაფერის სიღრმეებამდე, ძირითადად აგებულია თიხებით და თიხნარებით, ხოლო ერთ ადგილში – ღორღოვანი გრუნტით. მხოლოდ ერთგან, მიწის ვაკისი ფორმირებულია უშეალოდ საფუძველის ქვეშ განთავსებული გამოფიტული კირქვის მასალით.

ლაბორატორიული გამოკვლევის შედეგების შესაბამისად, შეკავშირებული გრუნტები – თიხები და თიხნარები, კლასიფიცირდნენ როგორც საშუალო პლასტიკურობის მქონე ქვიშიანი და ხვინჭიანი თიხის მასალა.

წვრილმარცვლოვანი თიხოვანი გრუნტებისთვის დამახასიათებელი კაპილარობის გამო, არ შეიძლება გამოირიცხოს საგზაო მიწაყრილის ზედაპირობა, მიწაყრილში ან მის ქვეშ გრუნტის წყალგაჯერების შესაძლებლობა. ამიტომ, კრიტიკული სიღიღების სახით განიხილებიან სველი გრუნტის მასალისთვის განსაზღვრული კალიფორნიული რიცხვის (CBR) სიღიღები.

შეკავშირებული გრუნტების ნიმუშების გამოკვლევის შედეგების შესაბამისად, ქვიშიან-ხვინჭიანი თიხის კალიფორნიული რიცხვის (CBR) სიღიღე მაქსიმალური მოდიფიცირებული სიმკვრივის 95%-მდე შემჭიდროებულ (95% MDD) მდგომარეობაში მიახლოებით 7%-ს შეადგენს, ხოლო ქვიშიან-ხვინჭიანი თიხნარის შემთხვევაში მიახლოებით 9.5%-ს უტოლდება. ბუნებრივი სიმკვრივის მდგომარეობაში, თიხის და თიხნარის კალიფორნიული რიცხვის საანგარიშო სიღიღებად მიღებულია 3%.

დასინჯული და გამოკვლეული ღორღოვანი გრუნტი, ლაბორატორიული გამოკვლევის შედეგების გათვალისწინებით, კლასიფიცირდა როგორც ქვიშიანი და თიხიანი ხრეში. ღორღოვან გრუნტში (<0.063 მმ) ფრაქციის წილი მიახლოებით 19 პროცენტია, ხოლო ქვიშის შემცველობა 7.0%-დან 9%-მდე შეაღედვით ვარირებს. ღორღოვანი გრუნტის (მაქსიმალური მოდიფიცირებული სიმკვრივის 30%-მდე გამკვრივებულ მდგომარეობაში) კალიფორნიული რიცხვის ლაბორატორიული სიღიღები ვიწრო დიაპაზონში – 28%-დან 30%-მდე იცვლებიან

გამოფიტული და დანაპრალიანებული კირქვა შეფასდა როგორც დაბალი სიმაგრის სუსტი ქანი.

საველე კვლევების წარმოებისას, სამ საცდელ შურფში გამოვიდა გრუნტის წყალი, ზედაპირიდან მიახლოებით 1.10 მ სიღრმეზე.

პენეტრაციული გამოცდების (DCP) შედეგების თანახმად, მიწის ვაკისის მასალების ბუნებრივ მდგომარეობაში განსაზღვრული მზიდუნარიანობის (კალიფორნიული რიცხვის) სიღიღეები 3%-დან 50%-მდე შეაღედვით იცვლება. “სატრანსპორტო კვლევითი ლაბორატორიის” “დინამიკური კონუსური პენეტრომეტრით” (TRL DCP) ადგილებზე ჩატარებული მიწის ვაკისის გამოცდების (DCP) შედეგად განსაზღვრული კალიფორნიული რიცხვის სიღიღეების განაწილების ქვედა მე-10 კვანტილის გამოყენებით, საკვლევ საგზაო მონაკვეთზე მიწის ვაკისის მზიდუნარიანობის (DCP-CBR) საანგარიშო სიღიღე მიღებულია 4%.

მიწის ვაკისის აგებულებაში ძირითადი ადგილი უკავიათ თიხოვან მასალებს. თიხა ან თიხნარი ორის გარდა ყველა საცდელ შურფში დაფიქსირდა. მიწის ვაკისის პირობები განმსაზღველ გავლენას ახდენენ გზის საერთო მზიდუნარიანობაზე და, შესაბამისად, საგზაო სამოსის სრულ სისქეზე.

საკვლევი საგზაო მონაკვეთის ახლად დაპროექტებული ტრასა ძირითადად ქვეს თიხით ფორმირებულ მიწის ვაკისზე და მხოლოდ ლოპალურად – ღორღოვან გრუნტსა და ძლიერ გამოფიტულ კირქვებზე. გზის ტრასის გასწვრივ, მიწის ვაკისის ამგებ მასალებში დომინირებს ქვიშიან-ხვინჭიანი თიხა. დაპროექტების პროცესში საანგარიშო სიღიღის სახით რეკომენდირებულია ბუნებრივ მდგომარეობაში განსაზღვრული კალიფორნიული რიცხვის (CBR) გამოყენება.

კალიფორნიული რიცხვის ლაბორატორიული და პენეტრაციული (TRL DCP) გამოცდებით განსაზღვრული ბუნებრივი სიღიღეებისა და არსებული გზის მდგომარეობის გათვალისწინებით, მიწის ვაკისის კალიფორნიული რიცხვის საანგარიშო სიღიღე განისაზღვრა შემდეგ სახით:

მიწის ვაკისის კალიფორნიული რიცხვის საანგარიშო სიღიღე: CBR=3%

აღნიშნული საანგარიშო სიდიდე დადგენილია თიხოვანი მასალების ლოკალურად დაბალი სიმაგრის გათვალისწინებით, ყველა ჩატარებული გამოცდის შედეგებთან და მათ ინტერპრეტირებებთან ერთად. დაპროექტების მიზნებისთვის, მნიშვნელოვანია არ იქნას დაშვებული საგზაო სამოსის მოგრძო უბნებზე მიწის ვაკისის სიმტკიცის მნიშვნელოვნად ჭარბი ან ნაკლული შეფასება, რამაც, წინააღმდეგ შემთხვევაში, შეიძლება გააჩინოს ლოკალურად გზის კონსტრუქციული მდგრადობის დარღვევების საფრთხე.

მიწის ვაკისის კალიფორნიული რიცხვის ზემოთ მითითებული საანგარიშო სიდიდე გამოყენებულ უნდა იქნას მშენებლობისა და საგზაო სამოსის დაპროექტებისთვის მთლიან საკვლევ მონაკვეთზე, ვინაიდან დორდოვანი გრუნტი და გამოფიტული კირქვა, რომელიც მიწის ვაკისში მხოლოდ გვიზოდული (ერთი-ორ ადგილში) დაფიქსირდა არ მიიჩნევიან შესაფერისად საგზაო სამოსის ახალი აგებულების განსაზღვრისთვის.

6.3. მიწის სამუშაოები ვაკისისთვის

6.3.1 ზოგადი

სარეაბილიტაციო დონისძიებებით გათვალისწინებული მიწის სამუშაოების მოცულობა ძირითადად განისაზღვრება დასრულებული გზის საბოლოო დონით. მოცემულ შემთხვევაში, მოსალოდნელია, რომ ამ ტიპის სამუშაოების მოცულობა მცირე იქნება და მეტილად შემოიფარგლება უვარგისი მასალების ამოთხრითა და გრუნტის შეცვლით.

იქ სადაც გზის არსებული ვერტიკალური პროფილი იცვლება ან გზა განიერდება, სათანადო ყურადღებას მოითხოვს მასალების ადექვატურად შეეჩევა და განთავსება. ამასთან ერთად, ახალი ყრილი სწორად უნდა შეუდლდეს არსებულ ელემენტებთან, ხოლო ყრილის მასალა ვარგისი უნდა იყოს კონკრეტული განთავსების ადგილისთვის სპეციფიურ პირობებში გამოსაყენებლად.

რამდენადაც ეს პრაქტიკულად შესაძლებელია, დაპროექტებულ მიწის სამუშაოებში მაქსიმალურად უნდა იქნას გამოყენებული ფერდოების მოჭრის, ჭრილების გაფართოების და გზის რეზერვში სხვა გრუნტის დამუშავების სამუშაოების შედეგად მიღებული ვარგისი მასალები. მიწის სამუშაოებში დაბალი ხარისხის ან სხვა მიზეზების გამო გამოუყენებადი მასალები შეიძლება განთავსდნენ დროებით ყრილებში მომავალი გამოყენებისთვის ნიადაგის ან ფერდოების შესავსები მასალების სახით.

მშენებლობის პროცესში მიწის სამუშაოების წარმოების ყველა უბანი უზრუნველყოფილი უნდა იყოს გამართული დრენაჟით და უწყვეტი დაცვით. მშენებლობის შემდეგ გრუნტის ყველა ზვინული უნდა მოიხსნას და გატანილ იქნას დასრულებულ ზედაპირებზე წყლის კონცენტრიტებული ნაკადების მოხვედრის თავიდან ასაცილებლად. სადაც აუცილებელია, ყრილის გვერდების ერთობისგან დასაცავად უნდა მოეწყოს ბრტყელი ბერმები. რაც შეიძლება ადრე უნდა მოეწყოს და მუდმივად გამართულ მდგომარეობაში იქნას შენარჩუნებული გზის პრიზმის წყლისგან დაცისთვის საჭირო ყველა მუდმივი სადრენაჟების ნაგებობა საქმარის დამატებით დროებით წყალარინების ნაგებობებთან ერთად. მიწის სამუშაოების დასრულების შემდეგ დარჩენილი ფესვები, ორმოები, შესუსტებული ადგილები და ყველა სხვა დაზიანება უნდა შეეკიდეს, ხოლო დაზიანებული უბნები ხელახლა დაპროფილდეს და დაიტკიპონას. უნდა მოეწყოს ჭრილებიდან წყლის საარინე გვერდულა დარები და ყველა სხვა საჭირო სადრენაჟების ნაგებობა, რომლებიც საჭიროა მიწის სამუშაოების წარმოების უბნებზე გრუნტის ერთობის თავიდან ასაცილებლად.

ყველა შემთხვევაში უნდა გატარდეს სათანადო გამაფრთხილებელი და დროებითი ზომები, რომლებიც საჭიროა მიწაყრილების სამშენებლო მეთოდების ან პროცედურების შესრულებისას ნაგებობების (განსაკუთრებით დაუსრულებელი ნაგებობების) დაზიანების ან ჭარბი დატვირთვის პრევენციის უზრუნველსაყოფად.

გრუნტის დამუშავების ყველა სამუშაო უნდა შესრულდეს საპროექტო ობიექტის მშენებლობისთვის განსაზღვრული სიგრძეების, სიგანეების, სიღრმეების, ქანობების და მრუდების დაცვით. სადაც ეს აუცილებელია ობიექტზე მყოფი პირების უსაფრთხოების დაცვისთვის, გრუნტის სამუშაოების უბნების გარშემო უნდა მოეწყოს სათანადო ჯებირები და დამცავი გადახურვები. ყველა გათხრილი ქვემდებრების მიზანი, დაპროფილებისა და მოშანდაკების შემდეგ გულმოდგინედ უნდა დაიტკეპნოს მყარი საფუძველის მისაღებად. გამოვიტვის ან სამშენებლო საქმიანობების ზემოქმედებით ფორმირებული ზედაპირების დაზიანების თავიდან ასაცილებლად უნდა გატარდეს ადექვატური დამცავი ღონისძიებები.

მშენებლობის პროცესში საჭირო სათანადო ძალისხმევის მიმართვა და ყველა საჭირო ზომის მიღება მიწის ვაკისის დასაცავად, რათა წვიმის ზემოქმედებით არ მოხდეს მისი დარბილება. გრუნტის თხრის შედეგად გაშიშვლებული მიწის ვაკისის ყოველგვარი მასალა, რომელიც შეადგენს საბოლოო ობიექტს კონსტრუქციულ ნაწილს დაცული უნდა იყოს წყლის შეღწევისგან. გამოყენებისთვის ან ხელახალი გამოყენებისთვის გამზნული ამოთხრილი მასაღები ანალოგიურად საჭიროებენ წყლისგან დაცვას წყალგაჯერების და უვარგისად გახდომის თავიდან აცილების მიზნით.

არსებულ მიწაყრილზე ახალი საგზაო სამოსის მშენებლობა უნდა დაიწყოს ადექვატური წყალარინებისთვის შესაფერისად დაპროფილებულ და საკმარისად დატკეპნილ ფორმაციაზე. ასეთი ფორმაციის ტექნიკური პროექტის მოთხოვნებთან შესაბამისობის დასადასტურებლად უნდა ჩატარდეს დატკეპნის ხარისხის საკონტროლო (უპირატესად – შტამპური) გამოცდები.

6.3.2 ყრილის მოწყობა

გზის ახალი საინჟინრო პროექტის თანახმად, მოცემულ საგზაო მონაკვეთზე რაიმე კაპიტალური საგზაო მიწაყრილების მშენებლობის საჭიროება მოსალოდნელი არ არის. აუცილებლობის შემთხვევაში, მიწაყრილების მშენებლობისთვის აუცილებელი მასაღები მოწოდებულ უნდა იქნან იდენტიფიცირებული და რეკომენდირებული გრუნტის რეზერვებიდან ან მსგავსი ან უკეთესი მასაღების სხვა წყაროებიდან.

თუ ხელმისაწვდომია, ახალი მიწაყრილების მშენებლობისთვის გამოყენებულ უნდა იქნან AASHTO-ს ნორმატიულ ღოკუმენტში M 145 (“გრუნტების და გრუნტებისა და ინერცული მასაღების ნარევების კლასიფიკაცია საავტომობილო გზების მშენებლობის მიზნებისთვის”) მითითებულოთ A-1, A-2-4, A-2-5 ან A-3 ჯგუფების მსალები, რომლებიც უნდა დაიტკეპნონ არანაკლებ მშრალი მასაღის მაქსიმალური მოდიფიცირებული სიმკვრივის 95%-მდე. მიწაყრილის მშენებლობა უნდა განხორციელდეს ცალკეული ფენების დაგების და დატკეპნის მიმდევრობებით. ამასთან თოთოვეულ ჯერზე დატკეპნილი ფენის სისქე 250 მმ-ზე მეტი.

მიწაყრილების მშენებლობისას მათი ზედაპირები ყოველთვის უნდა იმყოფებოდნენ სათანადოდ დაპროფილებულ და დატკეპნილ მდგომარეობაში, ზედაპირული წყლების სწრაფი გადინების უზრუნველსაყოფად.

ახალი ყრილის მშენებლობა უნდა დაიწყოს ქვედა დონიდან და წარიმართოს საბოლოო ღონის მიახლოებით პარალელურად დამხრობილი გრუნტის ფენების განთავსების საშუალებით. სტაბილური და უწყვეტი წყალარინების უზრუნველყოფის მიზნით, გზის ვარცლს უნდა გააწნდეს ამოზნექილი განივი კეთი ან სხვაგვარი შესაფერისი დაცერება. შრეების ერთგვაროვანი დატკეპნისა და სისქეების უზრუნველყოფისთვის საჭირო სათანადო მოწყობილობის გამოყენება. განთავსებული გრუნტის ტენიანობა დატკეპნის მთელი პროცესის განმავლობაში 2%-ზე მეტად არ უნდა განსხვავდებოდეს ლაბორატორიაში განსაზღვრული შესაბამისი ოპტიმალური ტენიანობისგან.

არსებული მიწაყრილის გაგანიერების დაპროექტების შემთხვევაში, განმსაზღვრელი მნიშვნელობა ენიჭება არსებულ და ახალ ყრილებს შორის ნაკერთან გზის განსხვავებული ჯდენების თავიდან აცილებას, რაც შეიძლება გამოწვეული იყოს არსებული და ახალი ყრილის მასალების განსხვავებული სიმაგრეებით და დატკეპნის ხარისხებით. არსებული მიწაყრილის გაგანიერებისას, სამუშაოს სწორად შესრულებისთვის აუცილებელია საფეხურების მოწყობა არსებული მიწაყრილის ფერდოზე, რაც უნდა შესრულდეს შემდეგი მიმდევრობით:

- არსებული ფერდოზან ნიადაგის და მცენარეული საფარის მოცილება
- არსებულ ფერდოზე პორიზონტალური საფეხურების მოჭრა ახალი მასალის არსებულ ყრილთან შეთავსებით და გრუნტის განთავსების, დატკეპნის და სათანადო ტექნიკის დატევისთვის აღეჭვატური სისქით
- ფერდოს დასაფეხურება და ფენებად დატკეპნა ყრილის გასაფართოებული გრუნტის განთავსების შემდეგ
- თითოეული საფეხურის მოწყობა უნდა დაიწყოს არსებული ფერდოს და წინა საფეხურის გერტიკალური ჭრილის გადახვევის ადგილიდან. განთავსებული მოჭრილი გრუნტი ხელახლა უნდა დაიტკეპნოს ახალ გაფართოებულ მიწაყრილთან ერთად.

რეკომენდირებულია საფეხურის ძირის სიგანე არ იყოს 2,00 მეტრზე ნაკლები, ხოლო საფეხურის ზურგის სიმაღლე არ აღემატებოდეს 0,50 მეტრს. ამ პირობის შესრულება საჭიროა სატკეპნი და დამპროფილებელი ტექნიკის მუშაობისთვის მოსწორებულ ზედაპირზე, მთლიან სიმაღლეზე, თითოეული საფეხურის ძირიდან თავამდგ.

არსებული მიწაყრილის ფერდოზე განთავსებული ყრილის მასალის, განსაკუთრებით 1,0 მეტრი ან ნაკლები სისქის ე.წ. “ლენტური” ყრილების დატკეპნა ძალზედ გართულებულია. გარდა ამისა, ტრადიციული სატკეპნი ტექნიკის გამოყენება გზატკეცილების ტიპიურ მაღალქანობიან ფერდებზე შეუძლებელია რაც ნიშავს, რომ ასეთ ფერდებზე განთავსებული ყრილის მასალები არასაქმარისად საერთოდ ვერ დაიტკეპნება და, შედეგად, ფერდოები ძალზედ მოწყვლადი გახდებიან ერთხის ან დაცურების მიმართ. მსგავსი ყრილების სათანადოდ დატკეპნის უზრუნველყოფის შემთხვევაშიც კი, საკონტაქტო არე არსებულ ზედაპირისა და ახალი ყრილის მასალებს შორის წარმოადგენს პოტენციურად შესუსტებულ უწყვეტ სიბრტყეს, რომლის გასწვრივაც შეიძლება განვითარდეს ძვრის წინააღმდეგობის შესუსტება. მსგავსი არასასურველი ეფექტი თავიდან უნდა იქნას აცილებული ფერდების დასაფეხურების გზით, რის შედეგადაც იქმნება “კიბისმაგვარი საფეხუროვანი” ზედაპირი, რომელიც აუმჯობესებს მდგრადობას კონტაქტის არეში უწყვეტი ძვრის სიბრტყის განვითარების აღკვეთის საშუალებით.

მთლიან სამშენებლო სიგანეზე უნდა მოწყობა ახალი საგზაო საფარის ფენები მიწის ვაკისის დამცავი და საფუძველის დამატებითი ფენების ჩათვლით.

მიწაყრილები უნდა აშენდნენ გაანგარიშებული განიკვეთებით, რომლებიც ილუსტრირებულია შესაბამის ნახაზებზე, გაერდების შემდეგი დახრილობებით:

1:3 (გერტ. : პორიზ.) დაბალი მიწაყრილებისთვის (რომელთა სიმაღლეები ნაკლებია 3,0 მეტრზე)

1:2 ან 1:1.5 უფრო მაღალი მიწაყრილებისთვის

6.3.3 ჭრილის მოწყობა

დღევანდელი მდგრადირებით, საკვლევი საგზაო მონაკვეთის რეაბილიტაციისთვის ჩატარებული კვლევების და გზის დაპროექტების მონაცემები მიუთითებენ, როც გზის გაგანიერებისს საჭიროება, რაც თავის მხრივ გზიდან აღმავალი ფერდოების მოჭრას

მოითხოვს, მხოლოდ შეზღუდული მოცულობით არის მოსალოდნელი გარკვეულ ადგილებში და ზოგიერთ უბანზე. აღმავალი ფერდობები ხასიათდებიან შემაღებელი გრუნტისა და ქანობების მრავალფეროვნებით. სადაც არსებულ აღმავალ ფერდობებზე გრუნტის გათხრისა და შეჭრისთვის საჭიროა ახალი ფერდობების მოწყობა, ფორმირებული ქანობი დამოკიდებული იქნება მასალის ტიპსა და ფერდოს სიმაღლეზე.

მოჭრილი ფერდოებისთვის, რომელთა სიმაღლეები 6.0 მეტრს არ აღემატება რეკომენდირებულია შემდეგი ქანობების (ვერტიკალური: ჰორიზონტალური) მოწყობა:

მარცვლოვან მასალებში მოჭრილი ფერდოები:

≤ 5.0 მ სიმაღლის – 1:1.5 (გვ)

> 5.0 მ სიმაღლის – 1:1.75 (მოითხოვს დასაფეხურებას)

თიხის მასალებში მოჭრილი ფერდოები:

≤ 1.5 მ სიმაღლის – 1:0.75 (გვ)

1.5-5.0 მ სიმაღლის – 1:1.2 (გვ)

> 5.0 მ – 1:1.5 (მოითხოვს გადამოწმებას სათანადო გამოთვლებით)

თუ მოჭრილი ფერდო 5.0 მეტრზე მაღალია, მოითხოვება ფერდოს დასაფეხურება.

ფერდოებისთვის, რომელთა სიმაღლეები 5.0 მეტრს აღემატება, უნდა შესრულდეს დაპროექტებული ფერდოს მდგრადობის შესამოწმებელი დეტალური გაანგარიშებები, ქანობის და ამგები მასალის გათვალისწინებით. მაღალი ფერდოებისთვის ჩვეულებრივ გამოიყენება საფეხურების მოწყობა, რაც ზრდის ფერდოს მდგრადობის ხარისხს და ხელს უწყობს ზედაპირული წყლებით ფერდოს რეცხვის ინტენსიურობის შემცირებას.

6.3.4 გრუნტის ამოცვა

მოცემული საგზაო მონაკვეთის გასწვრივ შესასრულებელი სარეაბილიტაციო ღონისძიებები მოიცავს დაპრენილი ასფალტის საფარის მოხსნას და, ლოკალურად, სველი, ტალახიანი და სუსტი გრუნტების შეცვლას. ლოკალურად შესაცვლელი გრუნტების (ეწ. „სუსტი ადგილებში“) მინიმალური სისქეები განისაზღვრება უშუალოდ მშენებლობის წინ ან მშენებლობის პერიოდში და დამოკიდებული იქნება ვერტიკალური პროფილის ტექნიკურ გადაწყვეტაზე.

სადაც დაპროექტებული ვერტიკალური პროფილი მოითხოვს მასალის ამოღებას არსებული ზედაპირის ქვემოთ, რეკომენდირებულია მიწის ვაკისის დამცავი ფენის მოწყობა, სუსტი მიწის ვაკისზე საგმარისი სისქის საფარის უზრუნველსაყოფად. საგზაო სამოსის ქვედა ფენებში ასეთი ღონისძიებები გამოიყენება საფუძველის შესასწორებელი სქელი ფენის მოწყობის სანაცვლოდ რაც მიზნად ხარჯების დაზოგვას და, აგრეთვე, მიწის ვაკისის სამშენებლო ტექნიკის მოძრაობის ზემოქმედებისგან დაცვას ისახავს. დამცავი ფენისადმი დაწესებული მოთხოვნები ნაკლებად მკაცრია საფუძველის შესასწორებელ ფენისთან შედარებით. თუმცა სასურველია გონივრულად ერთგვაროვანი მასალების შერჩევა, რაც საჭიროა მთლიანი საგზაო სამოსის მუშაობის გასაუმჯობესებლად. აგრეთვე, ხელსაყრელია შერჩეულ მასალებს მშრალ და სველ მდგომარეობებში მზიდუნარიანობის მინიმალური ცვალებადობა ახასიათებდეთ.

6.4 გეოტექნიკური კვლევების შეკამება/რეკომენდაციები

მოცემული 23.0 კმ სიგრძის საკვლევი საგზაო მონაკვეთის მთლიან სიგრძეზე ასფალტის საფარი დაგებულია მარცვლოვან მასალაზე, რომელიც გზის საფუძველად მიიჩნევა. საფუძველი ძირითადად შედგება ხრეშისა და ქვიშისგან, წვრილმარცვლოვანი ფრაქციის 6%-დან 9%-მდე შემცველობით. ამ ფენის სისქეები 220 მმ-დან 600 მმ-დენა, ხოლო ზოგიერთ აღგილებში 750 მმ-დან 1100 მმ-მდე აღწევს.

მიწის ვაკისი ძირითადად აგებულია თიხა-თიხნარით, მხოლოდ სამ ადგილში კი – ღორღოვანი გრუნტით და ძლიერ გამოფიტული და ძლიერ დანაპრალიანებული კირქვებით.

გზის რეაბილიტაციისთვის, რეკომენდირებულია არსებული გაუარესებული ასფალტის საფარის მოხსნა მოფრეზებით და მოფრეზილი მასალის ხელახლა გამოყენება ასალი საგზაო სამოსის მარცვლოვან ფენაში.

გზის ახალი ვერტიკალური პროფილის დაპროექტებისას მიზანი მდგომარეობს არსებული გზის დონის მაქსიმალურად შენარჩუნებაში, რაც სავარაუდოდ მოითხოვს მასალების გარკვეულ სიღრმემდე ამოთხრას ახალი საგზაო სამოსის მშენებლობის მიზნით. არსებული მარცვლოვანი საფუძველი, მიმდინარე მდგომარეობაში, არ არის შესაფერისი ახალი საგზაო სამოსის საფუძველის ფენის სახით გამოყენებისთვის, ვინაიდან მისი მასალა სრული მოცულობით ვერ აკმაყოფილებს ღორღოვანი საფუძველისთვის დაწესებულ მოთხოვნებს.

ახალი საგზაო სამოსის აგებულებაში გამოყენებისთვის, არსებული საფუძველის მასალა უნდა გადამუშავდეს (რაც, სულ ცოტა, მოიცავს მასალის გაცხრილვას და დამსხვრევას) სათანადო სიმაგრის – $CBR=80\%$ და გრანულომეტრიული შემადგენლობის უზრუნველსაყოფად.

საგზაო მონაკვეთის უბნებზე, სადაც ახალი ვერტიკალური პროფილი არსებული საფუძველის მთლიანად ამოთხრას არ მოითხოვს, ადგილზე დასატოვებელი მასალა სათანადოდ უნდა დაპროფილდეს და მოიტკიპნოს. არსებული მარცვლოვანი საფუძველის ფენის გამოყენება უპირატესი გადაწყვეტა, ვინაიდან ასეთ შემთხვევაში მიწის ვაკისი ადარ იქნება დაუცველი წვიმებით, ყინვით და მაღალი ტემპერატურებით გამოწვეული გარემოს ზემოქმედებებისგან. არსებული შეუძავშრებელი მარცვლოვანი მასალის ფენა შეამცირებს მიწის ვაკისის დაძაბულობას მშენებლობის პერიოდში, რაც საჭიროა, ვინაიდან ჩვეულებრივ მიწის ვაკისი არ არის საკმარისად მაგარი/გამძლე რათა დაზიანებების გარეშე აიტანოს სამშენებლო ტექნიკის მუშაობით გამოწვეული დატვირთვები.

ზოგადად, არსებული მარცვლოვანი საფუძველის ფენა შეიძლება გამოყენებულ იქნას საფუძველის შესასწორებელი ფენის ან გზის საძირკველის სახით, თუ ახლად დაპროექტებული გზის საბოლოო დონე იძლევა ახალი საგზაო სამოსის სრულად განთავსების შესაძლებლობას არსებული საფუძველის ზედაპირზე. ასეთ შემთხვევაში არსებული მარცვლოვანი ფენის ზედაპირი უნდა დაისეროს (200 მმ სიღრმემდე), დაპროფილდეს და დაიტკიპნოს მშრალი მასალის მაქსიმალური მოდიფიცირებული სიმკვრივის 95%-მდე (95% MDD).

საგზაო მონაკვეთის უბნებზე, სადაც მასალების დამუშავების სიღრმე შეკავშირებული (თხოვანი) გრუნტებით, ღორღოვანი გრუნტით და გამოფიტული კირქვებით აგებულ მიწის ვაკისამდე აღწევს, საჭიროა გზის ვაკისის ზედაპირის მომზადება, რაც მოიცავს სათანადო დაპროფილებას, ფხვიერი მასალის დატკიპნას და სუსტი, ტალახიანი და სველი შეკავშირებული გრუნტების ამოღებასა და შესაფერისი მარცვლოვანი მასალით ჩანაცვლებას.

სადაც თხრის სამუშაოები გამოფიტულ კირქვებამდე აღწევს, ბუნებრივი მიწის ვაკისის ზედაპირის მოსაწორება, დაპროფილება და დატკიპნა შესაძლოა დაკავშირებული იყოს მასალის უხეში და ნატეხი ფაქტურით გამოწვეულ სირთულეებთან. ამიტომ, ასეთ ადგილებში რეკომენდირებულია მოსასწორებელი ფენის მოწყობა არსებული მარცვლოვანი საფუძველის მასალის გამოყენებით, მიწის (გზის) ვაკისის საკმარისად გლუვი ზედაპირის მისაღებად.

ახალი საგზაო სამოსის ფუნქციონალური ვარგისიანობა დამოკიდებული იქნება მიწის სამუშაოების და მასთან დაკავშირებული წყალარინების/სადრენაჟე სისტემების სწორად დაპროექტებაზე, აშენებასა და მოვლა-შენახვაზე. უაღრესად მნიშვნელოვანია წყალარინების სისტემამ უზრუნველყოს საგზაო სამოსის და გზის საძირკვლის ფენებში წყლის აუმჯულირების თავიდან აცილება და შესაძლებელი გახადოს ჭარბი ნესტის გაფანტება.

ახალი საგზაო სამოსის თითოეული ფენის დაგებამდე საჭირო იქნება მიწის ვაკისის ლოკალურად დამჯდარ/დაწეულ ადგილებში მასალების ამოთხრა და ვარგისი მასალებით შეცვლა, რაც აგრეთვე სველ/ტალახიან თიხოვან მასალებს და სუსტ ადგილებსაც შეეხება.

მიწის ვაკისის სიმტკიცე/მზიდუნარიანობა შეფასდა საველე და ლაბორატორიული კვლევებისა და პენეტრაციული (DCP) გამოცდების შედეგების გათვალისწინებით. ძირითადად თიხოვანი მასალებით აგებული მიწის ვაკისის კალიფორნიული რიცხვის (CBR) სანგარიშო სიდიდედ მიღებულია 3%. აღნიშნული სიდიდე მთლიან საკვლევ მონაკვეთზე ვრცელდება, ვინაიდან მიწის ვაკისში მხოლოდ ლოკალურად დაფიქსირებული ლორდოვანი გრუნტი და გამოფიტული კირქვა არ მიიჩნევიან მიწის ვაკისისოთვის დამახასიათებელ მასალებად თუნდაც მოკლე უბნებზე.

საგზაო მონაკვეთის გასწვრივ ვიზუალურად დაფიქსირდა საგზაო სამოსის ლოკალური დარღვევები, რომლებიც, შესრულებული შეფასებით, ძირითადად გამოწვეულია საფუძველის უვარგისი მასალებით ან/და სუსტი მიწის ვაკისით, დრენაჟის არარსებობასთან ან უფუნქციობასთან ერთად. ასეთი ლოკალური დარღვევების ადგილებში არსებული მასალები უნდა ამოითხაროს და ყოველგვარი უვარგისი მასალა, სუსტ და ტალახიანი გრუნტობა ერთად მარცვლოვანი მასალით ჩანაცვლდეს. გარდა ამისა, ცალსახად რეკომენდირებულია საქმარისი სადრენაჟე სისტემების მოწყობა, რაც ზედაპირულ წყალარინებასთან ერთად, გზის კრიტიკულ უბნებზე, მიწისქვეშა დრენაჟის ჩაწერასაც მოიცავს.

6.5 საგზაო სამოსის მდგომარეობის შეფასება და რეაბილიტაციის გარიანტები

6.5.1 ზოგადი

გომი-საჩხერეული სამობილო გზის საკვლევი კმ 0.0-დან კმ 23.0-მდე (გზის კილომეტრაჟით – კმ 84.0-დან კმ 107.0-მდე) მონაკვეთის სარეაბილიტაციო ღონისძიებების და საგზაო სამოსის დაპროექტების პროცედურის განსაზღვრამდე, პირველ რიგში შეფასდა არსებული ასფალტის საფარის მდგომარეობა.

საკვლევი საგზაო მონაკვეთის მთლიან სიგრძეზე დაგებულია ასფალტის საფარი, რომელიც ცუდ ან ძალიან ცუდ მდგომარეობაში იმყოფება. არსებული ასფალტის საფარის სისქე 70 მმ-დან 200 მმ-მდე ცვალებადობს, ხოლო მხოლოდ ლოკალურად – 400 მმ-დე აღწევს.

არსებულ ასფალტის საფარს თითქმის ამოწურული აქვს საანგარიშო ექსპლუატაციის ვადა და რამდენიმე ადგილში დაიკვირვება საფარის ნაადრევი დაზიანებების შემდეგი ნიშნები:

- დანარაბალება
- ნაკერები
- ორმოები
- ნაპირების დაშლა
- დეფორმაცია/ჩაჯდომა

გეოტექნიკურმა კვლევებმა უჩვენა, რომ საგზაო მონაკვეთზე ასფალტის ქვეშ განთავსებულია ქვიშანარევი ხრეშით შედგენილი საფუძველის ფენა, რომლის სისქე

220-600 მმ დიაპაზონში ცვალებადობს, ხოლო ლოკალურად – 750 მმ-დან 1100 მმ-მდე აღწევს. საფუძველის შესასწორებელი ფენა არ დაფიქსირდა და აშკარაა, რომ არც არსებობს ან განურჩევადია საგზაო სამოსის სხვა კონსტრუქციული ფენებისგან.

მოცემული საგზაო მონაკვეთის გასწვრივ არსებული მიწის ვაკისი ძირითადად აგებულია თიხით და თიხნარით, ხოლო მხოლოდ ლოკალურად – დორდოგანი გრუნტით ან ძლიერ გამოფიტული კირქვით. გეოტექნიკური კვლევების შედეგების საფუძველზე, საკვლევ საგზაო მონაკვეთზე არსებული მიწის ვაკისის მზიდუნარიანობის საანგარიშო სიდიდედ განისაზღვრა CBR=3%.

ქვემოთ წარმოდგენილია სარეაბილიტაციო დონისძიებების პროექტირების პრინციპები, რომელიც განსაზღვრულია არსებული გზის ზედაპირის მდგომარეობის და საგზაო სამოსის აგებულების გათვალისწინებით.

6.5.2 საგზაო სამოსის რეაბილიტაციის გარიანტები

სარეაბილიტაციო საგზაო მონაკვეთზე გზის ტრასა არ იცვლება და ძირითადად არსებულ გზას მიუჰყება. ამიტომ საგზაო სამოსის რეკონსტრუქციის/ რეაბილიტაციის დონისძიებები შეთავაზებული და დაპროექტებულია არსებული გზის საზღვრებში.

აუცილებლად უნდა აღინიშნოს, რომ სარეაბილიტაციო დონისძიებების შერჩევაზე მნიშვნელოვან გავლენას ახდენს საგზაო სამოსის მოსალოდნელი ჯამური სატრანსპორტო დატვირთვა და კლიმატური პირობების ზემოქმედება. სამომავლო სატრანსპორტო დატვირთვას გადამწყვეტი მნიშვნელობა ენიჭება, რადგან ეს ფაქტორი უშეალოდ მოქმედებს რეაბილიტირებული საგზაო სამოსის კონსტრუქციულ მზიდუნარიანობაზე და ფუნქციონირებაზე დადგენილ საანგარიშო საექსპლუატაციო ვადაში. ამასთან, სამომავლო მოძრაობის ინტენსიურობასთან ერთად, საგზაო სამოსის მწყობრიდან ნაადრევი გამოსვლა შეიძლება აგრეთვე გამოიწვიოს კლიმატურმა პირობებმა, განსაკუთრებით რეაბილიტაციის პროცესში დაბალი გამძლეობის მასალების გამოყენების შედეგად.

ჩვეულებრივ, საგზაო სამოსის რეაბილიტაციის დონისძიებები მოიცავს განსაზღვრულ პერიოდში შესრულებულ რემონტებისა და პროფილაქტიკური მოვლა-შენახვის სამუშაოების ერთობლიობას, რომლებიც გამზინებულია არსებული საგზაო სამოსის მდგომარეობის აღსადგენად მომავალში მოსალოდნელი სატრანსპორტო ნაკადების ფუნქციონალურად ადექვატური სახით გატარებისთვის. საგზაო სამოსის რეაბილიტაცია ჩვეულებრივ წარმოადგენს არსებული დაზიანებების შეკეთებისა და მომავალში მდგომარეობის გაუარესების შემცირებისთვის საჭირო ინდივიდუალური სარეაბილიტაციო დამუშავებების კომბინაციას.

გზის არსებული მდგომარეობის გათვალისწინებით, ერთადერთ მიზანშეწონილ გადაწყვეტად განიხილება ახალი კონსტრუქციის საგზაო სამოსის მოწყობა უმტკერო (კონსოლიდირებული) ზედაპირით.

შესაბამისად, მოცემული მონაკვეთისთვის დაპროექტებული ძირითადი სარეაბილიტაციო დონისძიება ითვალისწინება:

- **საგზაო სამოსის რეკონსტრუქციას საგალი ნაწილის გაგანიერებით / გაგანიერების გარეშე**

რეკონსტრუქცია წარმოადგენს რეაბილიტაციის ყველაზე აქტიური ჩარევის ვარიანტს. თუმცა, იგი შეიძლება ეკონომიურად ყველაზე უფერტიურიც კი გამოდგეს თუ გავითვალისწინებოთ მთლიან საექსპლუატაციო პერიოდში (საციცოხლო ციკლის განმავლობაში) გასაწევ ხარჯებს. რეკონსტრუქცია ყველაზე შესაფერისია დრეკადი საგზაო სამოსებისთვის სერიოზული დარღვევებით, როგორებიცაა დადლილობითი დანაპრალება, დალიანდება ან მასალების მედეგობასთან დაკავშირებული პრობლემები.

ჩვეულებრივ, რეკონსტრუქციას თან ახლავს საგზაო სამოსის მთელი მასის ან მისი მნიშვნელოვანი ნაწილის მოხსნა და ახალი სამოსის სტრუქტურული ფენების დაგება.

საკვლევი საგზაო მონაკვეთთან თავსა და ბოლოში მიერთებული გზები მოასფალტებულია, რის გამოც საკვლევ მონაკვეთზეც ახალი დრეგადი საგზაო სამოსის აშენებაა რეკომენდირებული.

არსებული საგზაო სამოსის ტრადიციული მეთოდით რეკონსტრუქციისთვის, პირველ რიგში, საჭიროა არსებული ასფალტის მასალის მთლიანად აყრა, რასაც მოყვება უვარგისი სუსტი, სკელი ან ტალახოვანი მასალების ამოთხრა. მომდევნო ეტაპზე არსებული მარცვლოვანი ზედაპირული მასალა უნდა დაისეროს, მოშანდაკდეს, დაპროფილდეს და მოიტკეპნოს. სადაც ამას ახლად დაპროექტებული ვერტიკალური პროფილი მოითხოვს, შესაძლოა აუცილებელი აღმოჩნდეს არსებული მასალის ამოთხრა საჭირო დონემდე დასკლის მიზნით. ასეთ შემთხვევაში, გამორჩეულების ზედაპირი, მიწის ვაკისის გაშიშვლებული მასალით, გზის საძირკველისთვის შესაფერისი სახით უნდა დამუშავდეს.

გზის ვაკისის/საძირკველის მომზადებულ ზედაპირზე ნებისმიერი ახალი მასალის განთავსებამდე, ყველგვარი სუსტი, სკელი და ტალახიანი გრუნტი უნდა მოიხსნას და შესაფერისი მარცვლოვანი მასალით ჩანაცვლდეს.

გზის მომზადებული ვაკისი, რომელიც სასურველია არსებული მარცვლოვანი მასალით იყოს ფორმირებული, შეასრულებს ახალი საგზაო სამოსის კონსტრუქციული ელემენტის ფუნქციას. კერძოდ, სატრანსპორტო დატვირთვებზე დამოკიდებულებით, აღნიშნული ფენის ფუნქცია იქნება მიწის ვაკისის დაცვა ან თიხოვან მიწის ვაკისზე მოსაშანდაკებელი ფენის ფორმირება.

მომზადებული მარცვლოვანი გზის ვაკისის ზედაპირზე გათვალისწინებულია დაიგოს მარცვლოვანი, უპირატესად ღორღოვანი შემადგენლობის, საფუძველის ფენა, რომელზეც, პროგნოზული სატრანსპორტო დატვირთვის გათვალისწინებით, ასფალტის ერთი ან მეტი ფენა განთავსდება.

მომდევნო პარაგრაფებში წარმოდგენილია ახალი საგზაო სამოსის ფენების ინდივიდუალური და ჯამური სისქეები, რომლებიც გაანგარიშებულია მიწის ვაკისის მზიდუნარიანობისა და პროგნოზული სატრანსპორტო დატვირთვების გათვალისწინებით.

6.6 საგზაო სამოსის დაპროექტება

6.6.1 პროექტირების ძირითადი პრინციპები

საგზაო სამოსის დაპროექტების პროცესი მოიცავს საგზაო სამოსისთვის და საფარისთვის შესაფერისი მასალების შერჩევას საგზაო სამოსის ადექვატური მუშაობის და, იმავდროულად, განსაზღვრულ საანგარიშო პერიოდში მოსალოდნელი სატრანსპორტო დატვირთვების პირობებში მინიმალური ტექნიკური მომსახურების საჭიროების უზრუნველყოფის პირობით. ამგვარი შერჩევისას უნდა განისაზღვროს საგზაო სამოსის მასალების ტიპები, დაგების სისქეები და კონფიგურაციები, რომლებიც შეესაბამებიან პროექტირების მიზნებს და ფუნქციონალურ ამოცანებს.

ქვემოთ წარმოდგენილი საგზაო სამოსები დაპროექტდება არსებული ტრასის გასწვრივ არსებული საგზაო სამოსის სრული რეკონსტრუქციის გათვალისწინებით.

დაპროექტების პროცედურა დაფუძნებულია გეოტექნიკური პირობების შეფასებების შედეგად მოპოვებული ყველა ხელმისაწვდომი მონაცემის, სხვა საანგარიშო პარამეტრების და საგზაო მოძრაობის მონაცემების ანალიზის საფუძველზე. საგზაო სამოსის აგებულება გაანგარიშდება გეოტექნიკური კვლევების და გამოცდების და საგზაო მოძრაობის მონაცემების შეფასების შედეგების გათვალისწინებით.

საკვლევი მონაკვეთის საგზაო სამოსის დაპროექტება ეფუძნება “აშშ-ის სახელმწიფო საგზაო-სატრანსპორტო ორგანიზაციების თანამდებობის პირების გაერთიანების” (AASHTO) მიერ გამოცემულ ნორმატიულ დოკუმენტს – “საგზაო სამოსის კონსტრუქციების დაპროექტების სახელმძღვანელო” (1993 წ., ტომი I, “ახალი მშენებლობის ან რეკონსტრუქციის დაპროექტების პროცედურები”). ვინაიდან აღნიშნული მეთოდი უკვე არის აპრობირებული საქართველოში, ამიტომ რეკომენდირებულია იგივე მეთოდის საკვლევი გზის საგზაო სამოსის დაპროექტების მიზნით გამოყენება.

ფუნქციონალური მოთხოვნები მოიცავს:

- გზის ყველა მოსარგებლის, მათ შორის, ავტომობილისტების, მოტოციკლისტების და ფეხით მოსიარულების უზრუნველყოფას გზის დასახული დანიშნულებისა და დატვირთვის შესაფერისი უსაფრთხო და კომფორტული გადაადგილებისთვის საჭირო პირობებით;
- გზის საკუთრებაში ფლობასთან დაკავშირებული (ანუ სრულ საექსპლუატაციო ვადაში გასაწევი) ხარჯების მინიმიზირებას;
- საგზაო სამოსის სტანდარტებთან და სახელმწიფო საგზაო ორგანოების სხვა შესაბამის ინსტრუქციებთან და/ან ნორმებთან შესაბამისობის უზრუნველყოფას.

6.6.2 საგზაო სამოსის აგებულების საანგარიშო პარამეტრები

საგზაო სამოსის დაპროექტების ან შერჩევის პროცესში აუცილებელია შემდეგი სამი ფუნდამენტური გარე საანგარიშო პარამეტრის გათვალისწინება:

- მიწის ვაკისის მახასიათებლები, რომელზეც უნდა აშენდეს საგზაო სამოსი;
- მოქმედი დატვირთვები;
- გარემოს პირობები.

ქვემოთ განხილულია ძირითადი საანგარიშო პარამეტრები და მოცემულია მათი სიდიდეები, რომლებიც გამოყენებულია გომი-საჩხერე-ჭიათურა ზესტაფონის საავტომობილო გზის საკვლევი მონაკვეთისთვის.

6.6.2.1 საანგარიშო საექსპლუატაციო გადა

საანგარიშო საექსპლუატაციო გადა განისაზღვრება აკუმულირებული სატრანსპორტო ნაკადით, რომელიც შეიძლება გატარებულ იქნას საგზაო სამოსის გამაგრების აუცილებლობის შექმნამდე. აღნიშნულ კონტექსტში, საანგარიშო საექსპლუატაციო ვადა არ ნიშნავს, რომ აღნიშნული პერიოდის ამოწურვისას გზის სამოსი ბოლომდე გაცვდება და მოითხოვს რეკონსტრუქციას, არამედ მიანიშნებს, რომ პერიოდის ბოლოსთან მიახლოებისას გზის სამოსს დაჭირდება გამაგრება მომდევნო პერიოდში საგზაო მოძრაობის დამაკმაყოფილებლად მომსახურებისთვის.

ტექნიკურ დავალებაში მოცემული მოთხოვნის შესაბამისად, გომი-საჩხერე-ზესტაფონის საავტომობილო გზის საკვლევ მონაკვეთზე საგზაო სამოსის პროექტირებისთვის საანგარიშო საექსპლუატაციო ვადად მიღებულია 20 წელი.

6.6.2.2 სატრანსპორტო დატვირთვა

ჩვეულებრივ, სატრანსპორტო დატვირთვა იანგარიშება სამომავლო საგზაო მოძრაობის ინექსიურობის პროგნოზების, ავტომობილის ზიანის კოეფიციენტების და 20-წლიანი პერიოდის მომცველი ჯამური სტანდარტული დერძული დატვირთვის გათვალისწინებით.

სატრანსპორტო დატვირთვების განსაზღვრისას, ძირითადი საწყისი სიდიდეების სახით გამოიყენება სატრანსპორტო ნაკადის დათვლის მონაცემები.

საპროექტო გზაზე მოძრავი სატრანსპორტო ნაკადის მოცულობის, საგზაო მოძრაობის აღწერების შედეგების და სახელმწიფო და რეგიონული ეკონომიკური განვითარების მოსალოდნელი მაჩვენებლების საფუძველზე, დამუშავდა საგზაო მოძრაობის ზრდის პროგნოზები. დეტალები წარმოდგენილია წინამდებარე ანგარიშის შესაბამის თავში.

ზოგადად, AASHTO-ს საგზაო სამოსების პროექტირების სტანდარტში გამოყენებული სტანდარტული დერძული დატვირთვა 18 ათას ფუნტს (8 ტ) შეადგენს, როდესაც სხვა საერთაშორისო სტანდარტებში ანალოგიური პარამეტრის სიდიდეებად 10- ან 11,5-ტონიანი დერძული დატვირთვებია მიღებული. კორელაციი დამოკიდებულება სხვადასხვა სტანდარტულ/საკონტროლო სატრანსპორტო დატვირთვებს შორის მოცემულია AASHTO-ს “საგზაო გამოცდის” ცირკულარში.

დამკვეთის მიერ მოწოდებული “წლიური საგზაო მოძრაობის საშუალო დღიური ინტენსიურობის” (AADT) ფაქტიური სიდიდეების საფუძველზე, 20-წლიანი პერიოდისთვის განისაზღვრა სრული პროგნოზული სატრანსპორტო დატვირთვა გზის საანგარიშო საექსპლუატაციო ვადაში, რეაბილიტირებული გზის გახსნის (2021) წელთან მიმართებით, რომელშიც მხედველობაშია მიღებული ყოველგვარი გადმომისამართებული სატრანსპორტო ნაკადები. შესაბამისი დეტალური გაანგარიშებები წარმოდგენილია წინამდებარე ანგარიშის შესაბამის თავში.

“ექვივალენტური სტანდარტული დერძული დატვირთვის” (ESAL) გამოთვლისთვის საჭიროა წლიური საგზაო მოძრაობის საშუალო დღიური ინტენსიურობის (AADT) გადაყვანა სტანდარტული დერძების ჯამურ რაოდენობაში, რისთვისაც გამოიყენება ექვივალენტური დატვირთვის გადამყვანი კოეფიციენტები. ამ კოეფიციენტებით ხებისმიერი დერძული დატვირთვის ეფექტი გამოისახება სტანდარტული (საკონტროლო) დერძების რაოდენობებში.

საქართველოში, ადრე ჩატარებული დერძული დატვირთვების აღწერების შედეგების გათვალისწინებით, მიღებულია შემდეგი გადამყვანი კოეფიციენტები:

ცხრილი 6.5 სტანდატული დერძული დატვირთვის (ESAL) გადამყვანი კოეფიციენტები (8,16 ტონიანი სტანდარტული დერძებში გადაყვანისთვის)

ავტომობ. ტიპი	მსუბუქი ავტომობილი (მათ შორის მაღალი გამავლობის)	საშუალო ავტობუსი / მსუბ. სატბ-ავტომობ.	ავტობუსი / სატბირთო ავტომობილი	მძიმე სატბირთო ავტომობილი (3-ზე მეტ დერძიანი)
ESAL-ის გადამყვანი კოეფიციენტები	0.02	0.34	2.25	3.50

ცხრილში მოყვანილი კოეფიციენტები გამოიყენება 20-წლიანი პერიოდისთვის (გზის გახსნის 2021 წლიდან) განსაზღვრული სრული პროგნოზული სატრანსპორტო დატვირთვის გადასაყვანად 8,16-ტონიან საკონტროლო სატრანსპორტო დატვირთვებში გადმომისამართებული სატრანსპორტო ნაკადის გათვალისწინებით.

მომდევნო ცხრილებში მოცემულია ექვივალენტური სატრანსპორტო დატვირთვის (ESAL) გადაყვანილი სიდიდეები.

ცხრილი 6.6 სატრანსპორტო დატვირთვა

საგზაო მონაკვეთი	სრული სატრანსპორტო დატვირთვა (მიღიონი სტ. დერძი)	სატრანსპორტო დატვირთვა საანგარიშო მოძრაობის ზოლში (მიღიონი სტ. დერძი)
გომი-საჩხერე-ჭიათურა-ზესტაფონის გზა (საპროექტო კმ 0.0-დან კმ 23.0-მდე)	8.729	4.365

საექსპლუატაციო (ფუნქციონალურ) მახასიათებლებზე ორიენტირებული გზის საფარის პროექტირების მეთოდები და პროგნოზები უპირველეს ყოვლისა დაფუძნებულია კუმულაციურ დერძულ დატვირთვებზე. საანგარიშო პერიოდში გატარებული სრული სატრანსპორტო ნაკადი ორმხრივ მოძრაობას მოიცავს. ზოგადად მიიჩნევა, რომ თითოეული მიმართულებით სრული ნაკადის ნახევარი მოძრაობს. შესაბამისად, ზემოთ მოყვანილ ცხრილებში სატრანსპორტო დატვირთვის მოძრაობის ზოლებს (მიმართულებებს) შორის განაწილების კოეფიციენტის სიდიდედ მიღებულია 0.5 (50%).

6.6.2.3 ფუნქციონალური კოეფიციენტები

სხვა საწყისი პარამეტრებია გზის საიმედოობის და ექსპლუატაციისთვის გარგისიანობის კოეფიციენტები. AASHTO-ს დაპროექტების სტანდარტის საფუძველზე, მოცემული გზისთვის საიმედოობის კოეფიციენტის სიდიდედ მიღებულია 90%.

ექსპლუატაციისთვის გარგისიანობის კოეფიციენტის საწყის სიდიდედ მიღებულია $p_0=4.2$, ხოლო საბოლოო სიდიდედ – $p_t=2.0$.

დრეკადი საგზაო სამოსის კონსტრუქციული ფენების ყველაზე შესაფერისი ვარიანტი უნდა გაანგარიშდეს 20-წლიანი საანგარიშო პერიოდის მომცველი ჯამური საექსპლუატაციო პერიოდის (სასიცოცხლო ციკლის) ხარჯების და ეკონომიკური მოსაზრებების გათვალისწინებით.

6.6.2.4 მიწის გაკისის სიმტკიცე

მიწის გაკისი ქმნის გზის საძირკველს, რომლის ძირითადი დანიშნულებაა სატრანსპორტო საშუალებებით გამოწვეული დატვირთვების გრუნტში უფრო დრმად გადანაწილება თავად საძირკველის და მის ზემოთ განთავსებული საგზაო სამოსის ფენების დაზიანების გარეშე. ეს პირობა უნდა შესრულდეს როგორც საგზაო სამოსის მშენებლობის, ასევე მისი მთლიანი საექსპლუატაციო პერიოდის განმავლობაში.

საგზაო სამოსის ექსპლუატაციის პერიოდში, მის საძირკველს უნდა შექმოს საგზაო მოძრაობით შექმნილი დიდი რაოდენობის განმეორებადი დატვირთვების ატანა. აგრეთვე მოსალოდნელია საგზაო სამოსში წყლის შეღწევა, განსაკუთრებით როდესაც სამოსის ზედა ფენების მასალების მდგომარეობა შესაბამისი საექსპლუატაციო ვადების დასასრულის მოახლოებისას გაუარესებას იწყებს. მიწის ვაკისის მზიდუნარიანობა განისაზღვრება საველე და ლაბორატორიული კვლევებისა და გამოცდების შედეგების გათვალისწინებით შესრულებული შეფასებების საფუძველზე.

მოცემული საზაო მონაკვეთისთვის, მიწის ვაკისის სიმტკიცე გაანგარიშდა გეოტექნიკური კვლევების და გამოცდების შედეგების შეჯერების საფუძველზე. შედეგად, საგზაო სამოსის პროექტირებისთვის, შეთავაზებულია მიწის ვაკისის „კალიფორნიული რიცხვის“ (CBR) შემდეგი საანგარიშო სიდიდეები:

ცხრილი 6.7. მიწის ვაკისის კალიფორნიული რიცხვის (CBR) საანგარიშო სიდიდეები

საგზაო მონაკვეთი	მიწის ვაკისის მასალა	მიწის ვაკისის საანგარიშო მზიდუნარიანობა (CBR) (%)
გომი-საჩხერფჭიათურა-ზესტაფონი (საპროექტო კმ 0.0-დან კმ 23.0-მდე) (გზის კმ 84.0-დან კმ 107.0-მდე)	თიხა, ქვიშიანი, ხვინჭიანი, მკვრივპლასტიკური; თიხნარი, ქვიშიანი, ხვინჭიანი	3.0

მოცემული პროექტისთვის მიწის ვაკისის მდგომარეობის შესაფასებელ ძირითად პარამეტრად მიღებულია “კალიფორნიული რიცხვი” (California Bearing Ratio / CBR). დავალებაზე მუშაობისას შეფასდა მიწის ვაკისის მდგომარეობა საკვლევი საგზაო მონაკვეთის ცალკეული უბნების მიხედვით, რის შედეგებიც წარმოდგენილია ზემოთ მოცემულ პარაგრაფში მიწის ვაკისის მზიდუნარიანობის გეოტექნიკური შეფასების შესახებ.

6.6.2.5 ყინვის შეღწევა

საკვლევ საგზაო მონაკვეთზე არსებული მიწის ვაკისის შემადგენელი შეკავშირებული გრუნტების გათვალისწინებით, სათანადო ყურადღებას მოითხოვს საგზაო სამოსის ფენებსა და მიწის ვაკისზე ყინვის ტემპერატურების პოტენციური ზემოქმედება.

გრუნტების სეზონური გაყინვის ნორმატიული სიდრმეების გათვალისწინებით, გომი-საჩხერფჭიათურა-ზესტაფონის საანგარიშო მონაკვეთზე მიწის ვაკისის გაყინვა მოსალოდნელი არ არის.

6.6.3 საგზაო სამოსის აგებულების განსაზღვრა

გომი-საჩხერფჭიათურა-ზესტაფონის საანგარიშო გზის კმ 00 – კმ 23.0 (გზის კილომეტრაჟით კმ 84.0 – კმ 107.0) მონაკვეთზე საგზაო სამოსის აგებულების გაანგარიშებისთვის ძირითადი მიღების სახით გამოყენებულია AASHTO-ს პროექტირების მეთოდი [5]. კერძოდ, AASHTO-ს “საგზაო სამოსების კონსტრუქციების პროექტირების სახლმძღვანელოს” შესაბამისად, ამოცანა მდგომარეობს დრეკადი საგზაო სამოსის აგებულების განსაზღვრაში, რომლის სტრუქტურული რიცხვი (SN) საკმარისია საპროექტო დონის დერმული დატვირთვების აზანისთვის.

გზის ვაკისის ამგები მასალების სიმაგრის განსაზღვრისთვის ძირითადი საწყისი პარამეტრია გრუნტის დეფორმაციის მოდული (M_R). შემუშავებულია კორელაციური დამოკიდებულებები და განტოლებები, რომლებიც შეიძლება გამოყენებულ იქნან სტანდარტული კალიფორნიული რიცხვიდან (CBR) დეფორმაციის მოდულის (M_R) გამოსათვლელად. AASHTO-ს “საგზაო სამოსის კონსტრუქციების პროექტირების სახლმძღვანელოს” [5] შესაბამისად, კორელაცია სრულდება შემდეგი დამოკიდებულების გამოყენებით:

$$M_R (\text{psi}) = 1500 * \text{CBR}$$

სხვა საწყისი პარამეტრებია გზის საიმედოობის და ექსპლუატაციისთვის ვარგისიანობის (სამსახურის უნარის) მაჩვენებლები. AASHTO-ს საგზაო სამოსების პროექტირების სახლმძღვანელოს შესაბამისად, მოცემული გზისთვის რეკომენდირებულია საიმედოობის დონედ მიღებულ იქნას 90%, ხოლო ექსპლუატაციისთვის ვარგისიანობის საწყის და საბოლოო სიდიდეებად – შესაბამისად $p_0=4,2$ და $p_t=2,0$.

ცხრილი 6.8. საგზაო სამოსის აგებულების საანგარიშო ძირითადი პარამეტრები

საგზაო მონაკვეთი	მიწის ვაკისის კალიფორნიული რიცხვის საანგარიშო სიღილე (CBR) (%)	დეფორ- მაციის მოდული (M_R) კპა	საიმედო- ობის დონე (%)	სატრანსპორტო დატვირთვა (საანგარიშო მოძრაობის ზოლზე) (მილიონი სტანდ. დერდი)
გომი-საჩხერეულიათურა- ზესტაფონის გზა (მონაკვეთი კმ 0.0 – კმ 23.0)	3	4500	90	4.365

AASTO-ს “საგზაო სამოსების კონსტრუქციების პროექტირების სახელმძღვანელოს” თანახმად, საგზაო სამოსის აგებულების გაანგარიშებისთვის აუცილებელია განისაზღვროს საგზაო სამოსის სტრუქტურული რიცხვი (SN), რომელიც უზრუნველყოფს საგზაო სამოსის მედგრობას პროგნოზული დონის დერმული დატვირთვების მიმართ.

სტრუქტურული რიცხვი წარმოადგენს უგანზომილებო სიდიდეს, რომელიც გამოხატავს საგზაო სამოსის მოთხოვნილ კონსტრუქციულ სიმტკიცეს საყრდენი გრუნტის სიმტკიცის, ექვივალენტური სტანდარტული (18 ათასი ფუნტი მასის მქონე) დერძების რაოდენობაში გამოხატული სრული სატრანსპორტო დატვირთვის, ექსპლუატაციისთვის გარგისიანობის საბოლოო სიდიდისა და გარემო პირობების კომბინაციის გათვალისწინებით.

გომი-საჩხერეულიათურა-ზესტაფონის საავტომობილო გზის საკვლევი მონაკვეთისთვის, მოთხოვნილი სტრუქტურული რიცხვის სიდიდე გამოითვალა AASHTO-ს კომპიუტერული პროგრამის DARWin 3.1 გამოყენებით, რომელიც ხენის AASHTO-ს პროექტირების სახელმძღვანელოში მოცემულ განტოლებას. აღნიშნულ პროგრამაში შევვანილ იქნა ზემოაღნიშნული საწყისი სიდიდეები, მეტრულ სისტემაში გადაყვანის შემდეგ. გამოთვლების დეტალური შედეგები წარმოდგენილია წინამდებარე ანგარიშის დანართში “7”.

ცხრილი 6.9 მოთხოვნილი სტრუქტურული რიცხვი

მიწის ვაკისი	კალიფორნიული რიცხვი, CBR (%)	სტრუქტურული რიცხვის მოთხოვნილი სიიდე (SN_{req})
თიხა, ქვიშიანი, ხვინჭიანი თიხნარი, ქვიშიანი, ხვინჭიანი	3	4.86

საგზაო სამოსის დაპროექტებისთვის საჭიროა განისაზღვროს საგზაო სამოსის ფენების სხვადასხვა სისქეები, რომლებიც კომბინირებულად უზრუნველყოფენ სტრუქტურული რიცხვის ზემოთ მოცემული მოთხოვნილი საანგარიშო სიდიდის (SN_{req}) შესაბამის მზიდუნარიანობას.

სტრუქტურული რიცხვების ფენების სისქეებში გადაყვანისთვის, საგზაო სამოსის თითოეული სტრუქტურული ფენის მასალას მიესადაგება ფენის კოეფიციენტი. აღნიშნული კოეფიციენტი გამოხატავს ემპირიულ დამოკიდებულებას სტრუქტურულ რიცხვისა (SN) და ფენის სისქეს შორის და წარმოდგენს მოცემული მასალის საგზაო სამოსის სტრუქტურული ელემენტის სახით ფუნქციონირების უნარის ფარდობით საზომეს.

სტრუქტურული რიცხვი შეიძლება გამოითვალოს ფენების კოეფიციენტების (a) და სისქეების (D_i) საშუალებით, შემდეგი ზოგადი დამოკიდებულებით:

$$SN = \sum_{i=1}^n a_i D_i$$

ფენების კოეფიციენტები (a_i) განისაზღვრა AASHTO-ს “საგზაო სამოსის კონსტრუქციების პროექტირების სახელმძღვანელოში” მოცემული გრაფიკების და ცხრილებიდან. ფენების კოეფიციენტების სიდიდეები გამოყენებულია საპროექტო გაანგარიშებებში.

საგზაო სამოსის ფენების სისქეები გამოითვალა AASHTO-ს ავტომატიზირებული პროექტირების პროგრამით DARWin 3.1, რომელშიც გამოყენებულია AASHTO-ს “საგზაო სამოსების კონსტრუქციების პროექტირების სახელმძღვანლოში” მოცემული მეთოდი და პარამეტრები.

საგზაო სამოსის აგებულების გაანგარიშებისას მხედველობაშია მიღებული საგზაო სამოსის შეკრული და შეუკრავი ფენების მომცველი სხვადასხვა ვარიანტები. მოხსოვნის თანახმად, რეაბილიტაციის შედეგ გზას უნდა გააჩნდეს უმტკიცირებული (კონსოლიდირებული) ზედაპირი.

ქვემოთ წარმოდგენილი საგზაო სამოსის აგებულება განსაზღვრულია მიწის ვაკისის მდგომარეობის და, აგრეთვე, საპროგნოზო სატრანსპორტო დატვირთვის გათვალისწინებით.

6.7 არახისტი საგზაო სამოსის კონსტრუქციული ფენების განსაზღვრა

საკვლევ საგზაო მონაკვეთთან თავსა და ბოლოში მიერთებული გზები მოასფალტებულია და, ამიტომ, პირველი ალტერნატივის თანახმად, ახალი საგზაო სამოსიც დრეკადი ტიპის უნდა იყოს.

ქვემოთ განხილულია დრეკადი საგზაო სამოსის საგარაუდო წინასწარი აგებულება და ფენების სისქეები, რომლებიც გაანგარიშებულია 20-წლიანი საექსპლუატაციო გადისთვის შესაფერისი გამოთვლებისა და საწყისი სიდიდეების საფუძველზე.

ქვემოთ განხილულია საგზაო სამოსის შეთავაზებული წინასწარი აგებულებები, რომელთა ფენების სისქეები განსაზღვრულია სათანადო გამოთვლების და გზის 20-წლიანი საექსპლუატაციო გადის შესაბამისი პარამეტრების გამოყენებით და 2.0 მილიონ სტანდარტულ დერძზე მეტი სატრანსპორტო დატვირთვებისთვის AASHTO-ს პროექტირების სტანდარტით ასფალტის საფარისთვის დადგენილი მინიმუმ 3.5 დიუმი (მიახ. 90 მმ) სისქის გათვალისწინებით.

აღნიშნული საგზაო სამოსის აგებულება შეესაბამება პარაგრაფში 6.2 მითითებულ რეკომენდირებულ რეაბილიტაციის ვარიანტს, რომელიც გულისხმობს სრულებით ახალი საგზაო სამოსის დაპროექტებას ასფალტის ფენების და შეუკრავი მარცვლოვანი ფენების შემადგენლობით.

გომი-საჩხერეჭკიათურა-ზესტაფონის საავტომობილო გზის (“შ-22”) საკვლევ მონაკვეთზე არსებული ასფალტის საფარის სისქე 70 მმ-დან 200 მმ-დან შეუალებელი ცვალებადობს. ახალი ასფალტის საფარი უნდა უზრუნველყოფდეს საკმარის სიმტკიცეს და მედეგობას, რათა შეძლოს გააგრძოს პროგნოზული სატრანსპორტო ნაკადი, გარკვეული რაოდენობის სატვირთო ავტომობილების ჩათვლით.

შეთავაზებული საგზაო სამოსის აგებულება (ზევიდან ქვევით) წარმოდგენილია შემდეგი სახით: ასფალტის საფარის ზედა (ასფალტბეტონის) და ქვედა ფენები, ბიტუმით

შეკრული (ასფალტის) საფუძველი და მარცვლოვანი (ღორღოვანი) საფუძველი. არსებული ცვალებადი სისქის მარცვლოვანი ფენა ახალი საგზაო სამოსის შემადგენელ კონსტრუქციულ ელემენტად არ განიხილება. ახალი გზის დაპროექტება მიზნად ისახავს ახალი ვერტიკალური პროფილის არსებული გზის დონესთან შეძლებისდაგვარად მაქსიმალურად მიყვანას. შეიძლება დაშვებულ იქნას, რომ მოცემულ საგზაო მონაკვეთზე გზის ვერტიკალური პროფილი მოითხოვს მასალების ამოთხრას არსებული გზის დონის ქვემო, ასფალტის და, სულ ცოტა, არსებული მარცვლოვანი საფუძველის ფენის ნაწილის ჩათვლით.

საგზაო სამოსის ფენების სისქეები განსაზღვრულია AASHTO-ს ავტომატიზირებული პროექტირების პროგრამით DAWin 3.1, რომელიც დაფუძნებულია AASHTO-ს “საგზაო სამოსების კონსტრუქციების პროექტირების სახელმძღვანლოში” [5] მოცემულ მეთოდსა და პარამეტრებზე. ასფალტის ზედაპირული ფენის მინიმალური სისქე მიახლოებით 40 მმ-დან 50 მმ-დან შეალებული ვარირებს.

შესაბამისი საწყისი პარამეტრების გამოყენებით შესრულებული გამოთვლების საშუალებით, განისაზღვრა საგზაო სამოსის წინასწარი აგებულება, რომელიც წარმოდგენილია მომდევნო ცხრილში.

ცხრილი 6.10 საგზაო სამოსის შეთავაზებული აგებულება

საგზაო სამოსის ფენები	მიწის ვაკისის ამგები მასალები
	თიხა, ქვიშიანი, ხვინჭიანი; თიხნარი, ქვიშიანი, ხვინჭიანი CBR= 3%
ასფალტის საფარის ზედა ფენა (მმ)	40
ასფალტის საფარის ქვედა ფენა (მმ)	60
ბიტუმით შეკრული საფუძველი (მმ)	100
საფუძველის ფენა (CBR>80%) (მმ)	200
საფუძველის შესასწორებელი ფენა (CBR \geq 30%) (მმ)	300
საგზაო სამოსის სრული სისქე (მმ)	700
სტრუქტურული რიცხვის საანგარიშო სიდიდე	5.02
სტრუქტურული რიცხვის მოთხოვნილი სიდიდე	4.86

დეტალური გამოთვლები წარმოდგენილია დანართი „7“.

საპროექტო საგზაო მონაკვეთის მთლიან სიგრძეზე, კმ 0.0-დან კმ 23.0-მდე (პროექტის კილომეტრაჟით) არსებული მიწის ვაკისის პირობები თიხებსა და თიხნარებს შორის ვიწრო დიაპაზონში ვარირებს. აქვთ გამომდინარე, საგზაო სამოსის აგებულება უცვლელია მთლიან საპროექტო საგზაო მონაკვეთზე.

ზემოთ შეთავაზებული საგზაო სამოსის აგებულება მოიცავს ასფალტის საფარის ზედა და ქვედა ფენებს, რომლებიც დაგებულია – მარცვლოვან (ღორღოვან) საფუძველის ფენაზე. საგზაო მონაკვეთზე, სადაც მიწის ვაკისი აგებულია კოპუზიური/თიხოვანი მასალებით, რომლებიც შედარებით დაბალი მზიდუნარიანობით ხასიათდებიან, საგზაო სამოსის კონსტრუქციის მოთხოვნილ სიმტკიცეს და დატვირთვების გადანაწილებას

უზრუნველყოფს საფუძველის შესასწორებელი ფენა, რომელიც საფუძველის ქვემოთ იქნება განთავსებული.

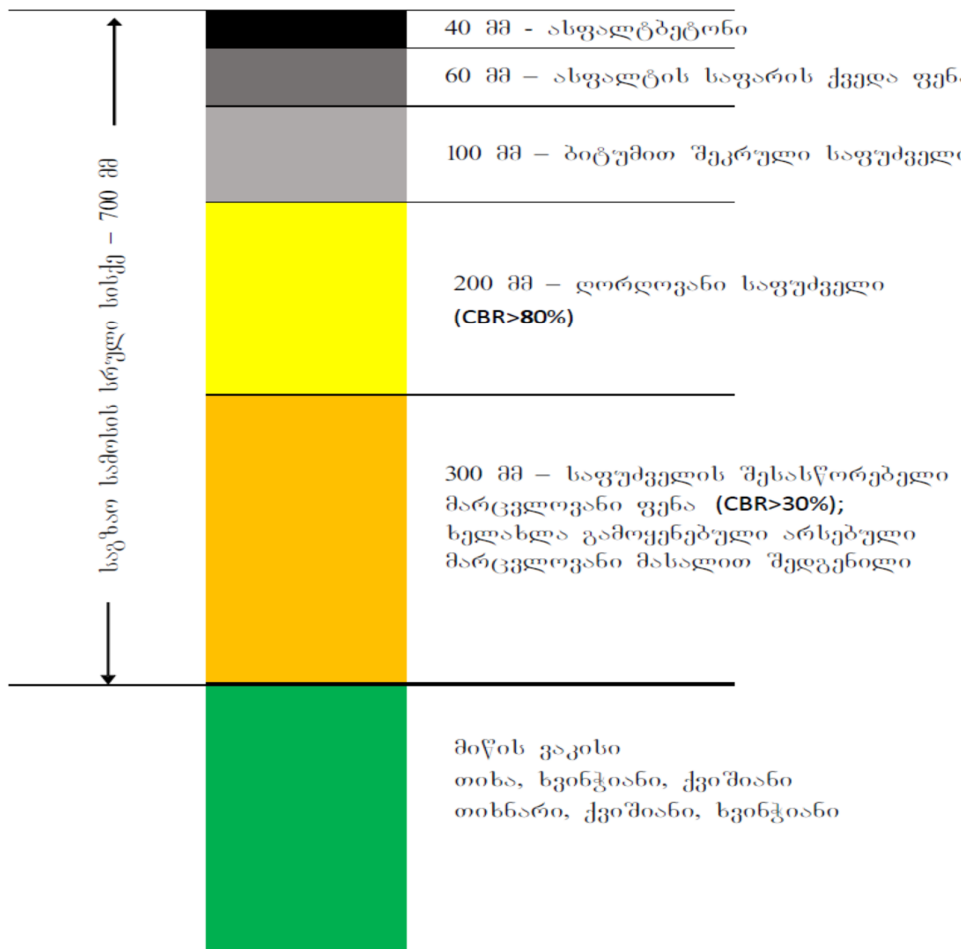
სურათი 6.8 გომი-საჩხერე-ჭიათურა-ზესტაფონის საავტომობილო გზის მონაკვეთზე კმ 0.0-დან კმ 21.693-მდე (საპროექტო მონაკვეთის კილომეტრაჟით) შეთავაზებული საგზაო სამოსების აგებულებები

შეთავაზებული დრეკადი საგზაო სამოსის აგებულება

ზევიდან ქვევით:

ასფალტის საფარის ზედა და ქვედა ფენები;
ბიტუმით შეკრული საფუძველი;
მარცვლოვანი (ღორღოვანი) საფუძველი

მიესადაგება საგზაო მონაკვეთის უბნებს
შეკავშირებული მიწის ვაკისთ:



შეკავშირებულ მიწის ვაკისზე ასაშენებელი საგზაო სამოსის სრული სისქე შეადგენს 700 მმ-ს. მშენებლობის პერიოდში საჭიროა მიწის ვაკისის პირობების გადამოწმება, ვინაიდან მოსალოდნელია მოკლე უბნებზე განსხვავებული პირობების არსებობა, რომლებიც ვერ დაფიქსირდა გამოკვლევის შედეგად.

დრეკადი საგზაო სამოსის ფენების სისქეები გაანგარიშებულია AASHTO-ს დაპროექტების ნორმებით განსაზღვრული მინიმალური სისქეების, სხვადასხვა ნარევებში ინერტული შემცვების მაქსიმალური ფრაქციული ზომების და მშენებლობის

ტექნოლოგიურობის, შორის სამუშაოების წარმოების პრაქტიკულობის და თითო ჯერზე დასატკები ფენების ოპტიმალური სისქეების გათვალისწინებით. აგრეთვე, მხედველობაშია მიღებული ქვეყნის ფარგლებში სამშენებლო მასალების ხელისაწვდომობა.

6.8 საგზაო სამოსის აგებულების აანგარიშება გერმანული სტანდარტის (RStO) შესაბამისად

შედარების და გადამოწმების მიზნით, საგზაო სამოსის წინასწარი აგებულება განისაზღვრა გერმანული სტანდარტის RStO-12-ის (“სავალი ნაწილების საგზაო სამოსების კონსტრუქციების სტანდარტიზაციის ინსტრუქციები”) [6] მოთხოვნების შესაბამისად.

გერმანულ სტანდარტში მოცემულია ხისტი და დრეკადი საგზაო სამოსების კონსტრუქციული გადაწყვეტების კატალოგი სატრანსპორტო დატვირთვების და საგზაო სამოსის ფენების მასალების მიხედვით. ძირითად საწყის პარამეტრს წარმოადგენს სატრანსპორტო დატვირთვა, რომელიც დაყოფილია დატვირთვების კლასებად (Bk), სხვადასხვა ჯერადობის მილიონი სტანდარტული დერძის მიხედვით. გერმანული გაანგარიშების მეთოდი დაფუძნებულია 10-ტონიან ერთეულოვან სტანდარტულ დერძულ დატვირთვაზე, AASHTO-ს მეთოდში გამოყენებული 8.1-ტონიანი სტანდარტული დერძული დატვირთვისგან განსხვავებით.

საკვლევი საგზაო მონაცემისთვის გაანგარიშებული პროგნოზული სატრანსპორტო დატვირთვა – 4.365 მილიონი სტანდარტული (8.1-ტონიანი) დერძი გადაიყვანება 10-ტონიან ექვივალენტურ სტანდარტულ დერძებში AASHTO-ს მიერ მიღებული შემდეგი დამოკიდებულების გამოყენებით:

$$\text{გადამყვანი კოეფიციენტი} = (\text{დერძული დატვირთვა}) / 8.16)^4$$

10-ტონიანი დერძული დატვირთვისთვის, გადამყვანი კოეფიციენტის გამოთვლილი სიდიდეა 2.3.

აღნიშნული გადამყვანი კოეფიციენტის მიუკეთდეთ, საკვლევი საგზაო მონაცემის საანგარიშო მოძრაობის ზოლზე მოსული სატრანსპორტო დატვირთვა შეადგენს 1.898 მილიონ სტანდარტულ (10-ტონიან) დერძს.

აღნიშნული სატრანსპორტო დატვირთვა მიუკუთვნება გერმანული საპროექტო გადაწყვეტების კატალოგის ცხრილში 1 მოცემულ დატვირთვის კლასს Bk3.2, რომელიც ვრცელდება 1.8 მილიონიდან 3.2 მილიონამდე (10-ტონიანი) სტანდარტული დერძის ოდნობის სატრანსპორტო დატვირთვებზე.

ასფალტის საფარი ღორღოვან საფუძველზე (RStO12-ის შესაბამისად)

დატვირთვის კლასისთვის Bk3.2, RStO12-ის ტიპიური ტექნიკური გადაწყვეტების კატალოგში (ცხრილი 1, მე-3 რიგი) მოცემული ღორღოვან საფუძველზე დაგებული ასფალტის საფარიანი საგზაო სამოსის აგებულება წარმოდგენილია ცხრილში 8.2-1.

აგრეთვე, RStO12-ის გამოყენებისას, მხედველობაშია მისაღები უპირატესი ტრასის გასწვრივ არსებული მიწის ვაკისის პირობები. კერძოდ, შეკავშირებული მასალით აგებული მიწის ვაკისებისთვის კალიფორნიული რიცხვის სიდიდედ მიღებულია მხოლოდ CBR=3%, ხოლო მარცვლოვანი და კლდოვანი მიწის ვაკისებისთვის – CBR=7%.

საპროექტო საგზაო მონაცემზე მიწის ვაკისი ძირითადად აგებულია შეკავშირებული მასალებით, რომელთა სიმტკიცე შეადგენს მხოლოდ CBR=3%-ს, ხოლო ექვივალენტური

დეფორმაციის მოდულის სიღიდე $E_v = 15$ მგპა-ს, რაც ნაკლებია გზის ვაკისის დონეზე მოთხოვნილ ნორმაზე – $E_v = 45$ მგპა და საჭიროა გაიზარდოს გრუნტის გაუმჯობესების მეშვეობით. კერძოდ, მოთხოვნილი 45 მგპა სიღიდის მზიდუნარიანობის მისაღწევად, გრუნტის გაუმჯობესების სახით, აუცილებელია არსებულ მიწის ვაკისზე მარცვლოვანი მასალით ($E_s > 150$ მგპა) სულ ცოტა 450 მმ სისქის დამატებითი ფენის მოწყობა.

შესაბამისი საგზაო სამოსის აგებულება მოცემულია მომდევნო ცხრილში.

ცხრილი 6.11. დრეგადი საგზაო სამოსის აგებულება გერმანული სტანდარტის (RStO12) შესაბამისად (CBR=3%)

ასფალტის საფარის ზედა ფენა	ასფალტის საფარის ქვედა ფენა	ბიტუმის შეკრული საფუძველი	დორდოვანი საფუძველი	მარცვლოვანი საფუძველი	გრუნტის შეცვლა დეფორმაციის მოდულის $E_v = 45$ მგპა-მდე გასაზრდელად	საგზაო სამოსის სრული სისქე
(მმ)	(მმ)	(მმ)	(მმ)	(მმ)	(მმ)	(მმ)
40	60	100	150	300	450	1100

მოთხოვნილი 45 მგპა სიღიდის მზიდუნარიანობის მისაღწევად, გზის ვაკისზე, მარცვლოვანი საფუძველის ქვემოთ, გრუნტის ჩანაცვლების სახით უნდა მოეწყოს, სულ ცოტა, 450 მმ სისქის მარცვლოვანი მასალის ($E_s > 150$ მგპა) ფენა.

დეტალები მოცემულია დანართში “7”.

6.9 AASTO-ს და RStO-ს მეთოდებით გაანგარიშებული საგზაო სამოსების აგებულებების შედარება

AASTO-ს და გერმანული (RStO) დაპროექტების მეთოდებით გაანგარიშებული საგზაო სამოსების აგებულებების შედარება უზენებს, რომ ასფალტის და მარცვლოვანი საფუძველის ფენები მსგავსი სისქეებისაა.

საგზაო სამოსის შედარებით მეტი სისქეების მქონე ქვედა ფენები და გრუნტის ჩანაცვლება, რაც RStO12 სტანდარტით მოითხოვება განაპირობებს საგზაო სამოსის სრული სისქეს გაზრდას AASHTO-ს მეთოდით დაპროექტებული საგზაო სამოსის სრულ სისქესთან შედარებით. დატვირთვის კლასი Bk3.2 მოიცავს სატრანსპორტო დატვირთვების მოცულობას 1.8 მილიონიდან 3.2 მილიონამდე სტანდარტული დერძის დიაპაზონში. მოცემული საგზაო მონაკვეთის ფაქტიური სატრანსპორტო დატვირთვა – მიახ. 1.9 მილიონი სტანდარტული დერძი ამ დიაპაზონის ქვედა კიდეშია, თუმცა საგზაო სამოსი 3.2 მილიონამდე სტანდარტული დერძის ექვივალენტური დატვირთვისთვის არის გაანგარიშებული. მეორეს მხრივ, AASHTO-ს დაპროექტების მეთოდში გამოყენებული საანგარიშო სატრანსპორტო დატვირთვა დატვირთვის ფაქტიური დატვირთვის სიღიდეზე და, მოცემულ შემთხვევაში მიღება მიახ. 1.8 მილიონი სტანდარტული დერძის ტოლად, რაც საგზაო სამოსის ქვედა შეუკრავი ფენების ნაკლებ სისქეებს განაპირობებს.

გერმანული RStO-ს შესაბამისად გაანგარიშებული საგზაო სამოსის სრული სისქე ყველა შემთხვევაში მეტია AASHTO-ს შესაბამისი საგზაო სამოსის სრულ სისქეზე. ასეთი განსხვავება ნაწილობრივ გამოწვეულია გერმანული პროექტირების მეთოდის მოთხოვნით, რომლის თანახმადაც გზის ფორმირების (გზის ვაკისის ზედაპირის) დონეზე განთავსებული მასალის მზიდუნარიანობა უნდა შეადგენდეს 45 მგპა-ს მის ზემოთ განთავსებული საგზაო სამოსის ფენების სისქეების და ხარისხის მიუხედავად.

გერმანულ სტანდარტში მოცემულ ტიპიური საპროექტო გადაწყვეტების კატალოგში სტანდარტიზირებული სახით არის წარმოდგენილი სხვადასხვა სატრანსპორტო დატვირთვების შესაბამისი საგზაო სამოსების აგებულებები. ამ სტანდრტის შესაბამისად, გრუნტის შედარებით დაბალი მზიდუნარიანობა უნდა კომპენსირდეს გზის ვაკისის დონეზე გრუნტის გაუმჯობესების ან ჩანაცვლების ზომების გატარებით, სატრანსპორტო დატვირთვის ან საგზაო სამოსის აგებულების მიუხედავად.

მომდევნო ცხრილში შესადარებლად ერთად არიან წარმოდგენილი ამერიკული (AASHTO) და გერმანული (RStO) სტანდარტების შესაბამისად გაანგარიშებული ალტერნატიული საგზაო სამოსების აგებულებები.

ცხრილი 6.12. საგზაო მონაკვეთისთვის დამუშავებული დრეკადი საგზაო სამოსების აგებულებები

დრეკადი საგზაო სამოსი შეკავშირებულ მიწის გაკისზე

გომი-საჩხერუჭიათურა-ზესტაფონი ("ქ22") ქ 0.0 – ქ 23.0 (გზის პილომეტრაჟით ქმ84-ქმ107)	დაპროექტების მეთოდი / საანგარიშო ექსპლუატაციის ვადა	ასფალტის საფარის სრული სისქე	ასფალტბეტონის ფენა	ასფალტის საფარის ქვედა ფენა	ბიტუმით შეკრული საფუძველის ფენა	დორდოვანი საფუძველის ფენა	მარცვლოვანი საფუძველი / საფუძველის შესასწორებელი ფენა	ჩანაცვლებული გრუნტის ფენა	საგზაო სამოსის სრული სისქე
დრეკადი საგზაო სამოსი შეკავშირებულ მიწის გაკისზე	AASHTO / 20 წელი RStO / 20 წელი	200	40	60	100	200	30	-	700
		200	40	60	100	150	300	450	1100

მოთხოვნილი 45 მგპა სიდიდის მზიდუნარიანობის მისაღწევად, გზის ვაკისზე, მარცვლოვანი საფუძველის ქვემოთ, გრუნტის ჩანაცვლების სახით უნდა მოეწყოს, სულ ცოტა, 450 მმ სისქის მარცვლოვანი მასალის ($E_s > 150$ მგპა) ფენა.

6.10 ძირითადი მოთხოვნები საგზაო სამოსის შეკავშირებული და შეუკავშირებული მასალების მიმართ

6.10.1 ზოგადი მოთხოვნები

საგზაო სამოსის მშენებლობის პროცესში მოსალოდნელია სატვირთო ავტოტრანსპორტის, დამგები მექანიზმების და სხვა სამშენებლო ტექნიკის დატვირთვების გზის საძირკველზე გადაცემა. წებისმიერ დონეზე, რომელზეც ხდება ასეთი ზემოქმედება, მასალების სიმტკიცე და სისქეები საკმარისი უნდა იყონ დატვირთვების გასაძლებად რაიმე დაზიანების გარეშე, რომელმაც შეიძლება მნიშვნელოვანი უარყოფითი გავლენა იქონიოს საგზაო სამოსის სამომავლო ფუნქციონირებაზე.

გზის საძირკველი საკმარისად მტკიცე უნდა იყოს, რათა იძლეოდეს მასზე საგზაო სამოსის ფენების დაგებისა და ადექვატურად დატკეპნის შესაძლებლობას.

უაღრესად მნიშვნელოვანია სადრენაჟე სისტემაში არ დაუშვას წყლის აკუმულირება საგზაო სამოსის ფენებსა და გზის კალაპოტში და ხელი შეუწყოს ჭარბი ნესტის გაფანტვას.

6.10.2 ყრილის მასალა

საპროექტო გზის გასწვრივ მოითხოვება ახალი საგზაო ყრილის აშენება ცვალებადი – 1.0 მეტრიდან 7.0 მეტრმდე და უფრო მეტი სიმაღლეებით. მიწაყრილის მასალად გამოყენებულ უნდა იქნას ქვიშა-ხრეშოვანი ნარევი წვრილმარცვლოვანი ფრაქციის შეზღუდული შემცველობით და 100 მმ მაქსიმალური ფრაქციული ზომით.

მიწაყრილის მასალაში წვრილმარცვლოვანი (<0.063 მმ) ფრაქციის წილი არ უნდა აღემატებოდეს 20%-ს, ხოლო 0.425 მმ უჯრედებიან საცერში გასული მასალის პლასტიკურობის ინდექსი (PI) ნაკლები უნდა იყოს 10-ზე.

მიწაყრილის მასალის მიმართებით, რეგომენდირებულია სატენდერო დოკუმენტაციაში შეტანილ იქნას შემდეგი მოთხოვნები:

ცხრილი 6.13. მიწაყრილის მასალის რეგომენდირებული მახასიათებლები

მიწაყრილის მასალის პარამეტრები	რეგომენდირებული სიდიდეები/შესალებები
დატკეპნის ხარისხი	$\geq 95\%$
კალიფორნიული რიცხვი მაქს. მოდიფ. სიმკრიფის 95%-მდე დატკეპნილ მდგრამარებელში	$\geq 10\%$
ინერტული შემცხების მაქსიმალური ფრაქციული ზომა	100mm
წვრილმარცვლოვანი (<0.063 მმ) ფრაქციის შემცველობა	$\leq 20\%$
<0.425 ზომის საცერში გასული მასალის პლასტიკურობის რიცხვი	≤ 10

მიწაყრილის მასალა არ უნდა შეიცავდეს თიხის კოშტებს და ორგანული მინარევებს.

6.10.3 საფუძვლის დამატებითი ფენის მასალა

საპროექტო გზის გასწვრივ მოითხოვება მარცვლოვანი საფუძვლის ფენის ქვეშ მიწის ვაკისის დამატებითი ახალი ფენის დაგება. აღნიშნული ფენი უნდა დაიგოს არაუმეტეს 63.0 მმ ფრაქციული ზომის ბუნებრივი ქვიშა-ხრეშოვანი ნარევისგან, რომლის მახასიათებლები დააკმაყოფილებენ ქვემოთ მოცემულ მოთხოვნებს.

ცხრილი 6.14 მიწის ვაკისის დამატებითი ფენის მასალის რეკომენდირებული გრანულომეტრიული შემადგენლობა

საცერის უჯრედის ზომა (მმ)	გასული ფრაქციის მასური წილი (%)
63	100
31.5	75 -100
16	43 – 81
8	23 – 66
4	12 - 53
2	6 - 42
1	3 - 32
0.063	0 - 9

დასრულებული მიწის ვაკისის დამცავი ფენის მიმართ, სატენდერო დოკუმენტაციაში რეკომენდირებულია აისახოს შემდეგი მოთხოვნები.

ცხრილი 6.15 რეკომენდირებული მიწის ვაკისის დამატებითი ფენის მახასიათებლები

მიწის ვაკისის დამატებითი ფენის პარამეტრები	რეკომენდირებული სიდიდეები/შუალედები
დატკეპნის ხარისხი	$\geq 98\%$
მასალის კალიფორნიული რიცხვი (CBR) მშრალი მასის მაქს. სიმკვრივის (MDD) 95%-მდე დატკეპნილ მდგრმარეობაში	$\geq 15\%$
პლასტიკურობის რიცხვი	≤ 6

6.10.4 მარცვლოვანი საფუძვლის ქვედა ფენის მასალა

სადაც მოითხოვება შეუკრავი საფუძველის ქვედა ფენის მოწყობა, უნდა დაიგოს შეუკავშირებელი მასალის ფენა, რომელიც შედგენილი იქნება არაუმეტეს 75 მმ ფრაქციული ზომის ბუნებრივი ქვიშა-ხრეშოვანი ნარევისგან, შემდეგი გრანულომეტრიული შემადგენლობით:

ცხრილი 6.16. საფუძველის ქვედა ფენის მასალის რეკომენდირებული გრანულომეტრიული შემადგენლობა

საცერის უჯრედის ზომა (მმ)	გასული ფრაქციის მასური წილი (%)
75	100
37.5	80 -100
20	75 – 100
10	45 – 90
5	30 - 75
2	20 - 50
0.425	8 - 33
0.063	5 - 22

დასრულებული საფუძველის ქვედა ფენის მიმართ, სატენდერო დოკუმენტაციაში რეკომენდირებულია შემდეგი მოთხოვნების შეტანა:

ცხრილი 6.17. საფუძველის ქვედა მარცვლოვანი ფენის პარამეტრები

საფუძველის ქვედა მარცვლოვანი ფენის პარამეტრები	რეკომენდირებული სიდიდეები/შუალედები
დატკეპნის ხარისხი	$\geq 98 \%$
მზიდუნარიანობა, E_{v2}	$\geq 80 \text{ G/mm}^2$
ფარდობა E_{v2}/E_{v1}	$\leq 2,2$

საფუძველის ქვედა მარცვლოვანი ფენის პარამეტრები	რეკომენდირებული სიდიდეები/შუალედები
მასალის კალიფორნიული რიცხვი (CBR) მშრალი მასის მაქს. სიმკვრივის (MDD) 95%-მდე დატკეპნილ მდგრადირებაში	$\geq 30\%$

მშრალი მასალის მაქსიმალური სიმკვრივის 98%-მდე (98% MDD) დატკეპნილი მასალის, კალიფორნიული რიცხვი (CBR) არ უნდა იყოს 30%-ზე ნაკლები.

პარამეტრები E_{v1} და E_v განისაზღვრებიან დატკეპნილი მარცვლოვანი საფუძველის ქვედა ფენის ზედაპირზე ჩატარებული შტამპური (სტატიკური ფილის დატვირთვით) გამოცდებით.

6.10.5 მარცვლოვანი საფუძვლის ფენის მასალა

შეუკრავი მარცვლოვანი საფუძველის ფენა უნდა დაიგოს 45 მმ მაქსიმალური ფრაქციული ზომის შემდეგი გრანულომეტრიული შემადგენლობის ღორღისგან:

ცხრილი 6.18. მარცვლოვანი საფუძველის ფენის მასალის რეკომენდირებული გრანულომეტრიული შემადგენლობა

საცერის უჯრედის ზომა (მმ)	გასული ფრაქციის მასური წილი (%)
63	100
45	90 - 100
22,4	55 - 85
11,2	35 - 68
5,6	22 - 60
2	16 - 47
1	9 - 40
0,5	5 - 35

დასრულებული მარცვლოვანი საფუძველის ფენის მიმართ, სატენდერო დოკუმენტაციაში რეკომენდირებულია შემდეგი მოთხოვნების შეტანა:

ცხრილი 6.19. ღორღოვანი საფუძვლის ფენის რეკომენდირებული პარამეტრები

ღორღოვანი საფუძველის პარამეტრები	რეკომენდირებული სიდიდეები/შუალედები
დატკეპნის ხარისხი	$\geq 100\%$
მზიდუნარიანობა, E_{v2}	$\geq 120 \text{ ნ}/\text{მ}^2$
ფარდობა E_{v2}/E_{v1}	$\leq 2,2$
უსწორმასწორობა (4-მეტრიანი საქონტროლო დარტყით გაზომილი)	$\leq 20 \text{ მმ}$
სიმაღლის ნიშნულის დასაშვები გადახრა	$\pm 20 \text{ მმ}$

მშრალი მასალის მაქსიმალური მოდიფიცირებული სიმკვრივის 100%-მდე (98% MDD) დატკეპნილი მასალის, კალიფორნიული რიცხვი (CBR) არ უნდა იყოს 80%-ზე ნაკლები.

პარამეტრები E_{v1} და E_v განისაზღვრებიან დატკეპნილი მარცვლოვანი საფუძველის ფენის ზედაპირზე ჩატარებული შტამპური (სტატიკური ფილის დატვირთვით) გამოცდებით.

6.10.6 ბიტუმინირებული საფუძვლის ფენა

ასფალტის საფარის ბიტუმით შეკრული საფუძველის ფენის სახით რეკომენდირებულია არაუმეტეს 22 მმ ფრაქციული ზომის ინერტულ შემცხებიანი ასფალტბეტონის ნარევის დაგება, რომელსაც ინტენსიური სატრანსპორტო დატვირთვების შესაბამისი

მზიდუნარიანობის უზრუნველსაყოფად, რეკომენდირებულია გააჩნდეს შემდეგი მახასიათებლები:

ცხრილი 6.20 ბიტუმით შეკრული საფუძველის ფენის შემვსები მასალის რეკომენდირებული მახასიათებლები

საცერის უჯრედის ზომა (მმ)	გასული ფრაქციის მასური წილი (%)
31.5	100
22.4	90 - 100
16	75 - 90
2	25 - 40
0,125	4 - 14
0,063	2 - 9

ნარევის მახასიათებლები	
ბიტუმი, 50/70 მარკის	≥ 3.8 %
სიცარიელეების პროცენტული წილი მარჭალის ნიმუში	მოცულობის 5.0% 7.0 %
ნერტული შემვსების მახასიათებლები	
ნამსხვრევი ქვიშის წილი	>50 %
ნასხვრევი ზედაპირების წილი (> 4 მმ)	≥ 50 %
შემვსებში მომრგვალებული ნაწილაკების წილი (> 4 მმ)	≤ 3 %
აბრაზიული ცვეთადობა (ლოს ანჯელესური დოლიო გაზომილი)	≤ 25%

დაგებული ფენის მიმართ, რეკომენდირებულია სატენდერო დოკუმენტაციაში აისახოს ქვემოთ მოცემული მოთხოვნები.

ცხრილი 6.21 ბიტუმით შეკრული საფუძველის ფენის რეკომენდირებული მახასიათებლები

ასფალტის ფენის პარამეტრები	რეკომენდირებული სიდიდეები/შუალედები
დატექნის ხარისხი	≥ 97 %
სიცარიელეების პროცენტული წილი (ფენაში)	≤ 7.0 %
უსწორმასწორობა (4-მეტრიანი საკონტროლო ლარტყით გაზომილი)	≤ 6 მმ

6.10.7 ასფალტბეტონის საფარის ქვედა ფენა

ასფალტის საფარის ქვედა ფენის სახით რეკომენდირებულია არაუმეტეს 16 მმ ფრაქციული ზომის ინერტულ შემვსებიანი ასფალტბეტონის ნარევის დაგება, რომელსაც ინტენსიური სატრანსპორტო დატვირთვების შესაბამისი მზიდუნარიანობის უზრუნველსაყოფად, რეკომენდირებულია გააჩნდეს შემდეგი მახასიათებლები:

ცხრილი 6.22 ასფალტის საფარის ქვედა ფენის შემვსები მასალის რეკომენდირებული მახასიათებლები

საცერის უჯრედის ზომა (მმ)	გასული ფრაქციის მასური წილი (%)
22,4	100
16	90 - 100
11,2	65 - 80
8	-
2	25 - 30
0,125	5 - 10
0,063	3 - 7

ნარევის მახასიათებლები	
ბიტუმი, 25/55-55 ან 50/70 მარკის	≥ 4,4 %
სიცარიელეების პროცენტული წილი	მოცულობის 3.5 - 6.5 %

მარშალის ნიმუში	ინერტული შემვსების მახასიათებლები
ნამსხვრევი ქვიშის წილი	>50 %
ნასხვრევი ზედაპირების წილი (> 4 მმ)	≥ 90 %
შემვსებში მომრგვალებული ნაწილაკების წილი (> 4 მმ)	≤ 1 %
აბრაზიული ცვეთადობა (ლოს ანჯელესური დოლიო გაზომილი)	$\leq 20\%$

დაგებული ფენის მიმართ, რეკომენდირებულია სატენდერო დოკუმენტაციაში აისახოს ქვემოთ მოცემული მოთხოვნები.

ცხრილი 6.23 ასფალტის საფარის ქვედა ფენის რეკომენდირებული მახასიათებლები

ასფალტის ფენის პარამეტრები	რეკომენდირებული სიდიდეები/შუალედები
დატკეპნის ხარისხი	≥ 97 %
უსწორმასწორობა (4-მეტრიანი საკონტროლო ლარტყით გაზომილი)	≤ 6 მმ

6.10.8 ასფალტბეტონის საფარის ზედა ფენა

ასფალტის საფარის ზედა ფენა რეკომენდირებულია დაიგოს მაქსიმუმ 11 მმ ფრაქციული ზომის შემვსებიანი ასფალტბეტონით, რომელსაც ინტენსიური სატრანსპორტო დატვირთვების ასატანად უნდა გააჩნდეს ქვემოთ მოცემული მახასიათებლები.

ცხრილი 6.24 ასფალტის საფარის ზედა ფენის შემვსები მასალის რეკომენდირებული მახასიათებლები

საცერის უჯრედის ზომა (მმ)	გასული ფრაქციის მასური წილი (%)
16	100
11,2	90 - 100
8	70 - 85
5,6	-
2	40 - 50
0,125	7 - 17
0,063	5 - 9
ნარევის მახასიათებლები	
ბიტუმი, 50/70	≥ 6 %
სიცარიელეების პროცენტული წილი მარშალის ნიმუში	მოცულობის 2.5 - 3.5 %
ინერტული შემვსების მახასიათებლები	
ნამსხვრევი ქვიშის წილი	>50 %
ნასხვრევი ზედაპირების წილი (> 4 მმ)	≥ 90 %
შემვსებში მომრგვალებული ნაწილაკების წილი (> 4 მმ)	≤ 1 %
აბრაზიული ცვეთადობა (ლოს ანჯელესური დოლიო გაზომილი)	≤ 20 %

დაგებული და დატკეპნილი ასფალტის ფენის მიმართ, რეკომენდირებულია სატენდერო დოკუმენტაციაში აისახოს შემდეგი მოთხოვნები:

ცხრილი 6.25 ასფალტის საფარის ზედა ფენის რეკომენდირებული მახასიათებლები

ასფალტის ფენის პარამეტრები	რეკომენდირებული სიდიდეები/შუალედები
დატკეპნის ხარისხი	≥ 97 %
სიცარიელეების პროცენტული წილი (ფენაში)	$\leq 6,5$ %
უსწორმასწორობა (4-მეტრიანი საკონტროლო ლარტყით გაზომილი)	≤ 4 მმ

6.11 დასკვნა

წინამდებარე ანგარიშში წარმოდგენილია საველე გეოტექნიკური და ლაბორატორიული გამოკვლევების, შეფასებების და ინტერპრეტირებების შედეგები. ყველა ჩატარებული აღწერის და გამოცდის შედეგებისა და მიწისქვეშა გრუნტების ხელმისაწვდომი მონაცემების საფულებზე, შეფასებულია მიწის ვაკისის მზიდუნარიანობა და რეკომენდირებულია შესაბამისი საანგარიშო სიდიდეები. მიწის ვაკისის განსაზღვრული მზიდუნარიანობისა და პროგნოზული სატრანსპორტო დატვირთვის გათვალისწინებით და, აგრეთვე, ფუნქციონალური კოეფიციენტების გამოყენებით, შეთავაზებულია დრეკადი საგზაო სამოსის აგებულებები.

კვლევის შედეგებმა უჩვენა, რომ არსებული მიწის ვაკისი აგებულია თიხა-თიხნარებით და მხოლოდ ლოკალური განვრცობის ლორდოვანი გრუნტით და გამოვიტული კირქვებით. საგზაო მონაკვეთის მთლიან სიგრძეზე დაგებულია ასფალტის საფარი, რომელიც ძირითადად ცუდ, ხოლო ლოკალურად – დამაკმაყოფილებელ მდგომარეობაშია. ასფალტის საფარის ქვეშ, კველგან განთავსებულია მარცვლოვანი მასალის ფენა, რომელშიც წვრილმარცვლოვანი ფრაქციის წილი 10%-ზე ნაკლებია.

აღწერილია შეთავაზებული სარეაბილიტაციო დონისძიებები, რომლებიც დამუშავებულია საგზაო სამოსის არსებული მდგომარეობის გათვალისწინებით. არსებული ასფალტი უნდა აიყაროს, სასურველია – მოფრეზვის საშუალებით და ხელახლა იქნას გამოყენებული. ვინაიდან საგზაო მონაკვეთის ახლად დაპროექტებული ვერტიკალური პროფილი შედლებისდაგვარად მაქსიმალურად ინარჩუნებს გზის არსებულ დონეს, ამიტომ არსებული მარცვლოვანი მასალის ამოთხრა საჭირო არ იქნება. ამასთან, აღნიშნული მასალა, მის არსებულ მდგომარეობაში, არ არის შესაფერისი ახალი საგზაო სამოსის კონსტრუქციული ნაწილის სახით გამოსაყენებლად წინასწარ სათანადო დამუშავების გარეშე, რაც, სულ ცოტა, მასალის გაცხრილებას და დამსხვრებას მოიცავს.

საგზაო სამოსის აგებულება გაანგარიშებულია AASHTO-ს “საგზაო სამოსების კონსტრუქციების პროექტირების სახელმძღვანელოს” შესაბამისად, ყველა საჭირო საწყისი მონაცემის გამოყენებით, რომლებიცაა მიწის ვაკისის მზიდუნარიანობა, სამომავლო სატრანსპორტო დატვირთვა და ფუნქციონალური კოეფიციენტები.

საკვლევი საგზაო მონაკვეთისთვის განხილული იქნა მხოლოდ დრეკადი საგზაო სამოსის დაპროექტების ვარიანტი, ვინაიდან მომიჯნავე საგზაო მონაკვეთებზე ასფალტის საფარია დაგებული. გარდა ამისა, საკვლევ მონაკვეთზე ლოკალურად დაიკვირვება არამდგრადი პირობები, რომლებიც გამოხატულია მიწაყრილის და საგზაო სამოსის სტრუქტურული დარღვევებით, რის გამოც ხისტი ცემენტობეტონის საგზაო სამოსი ცალსახად არ არის რეკომენდირებული.

მიწის ვაკისის მდგომარეობის მიხედვით, შეთავაზებულია საგზაო სამოსის კონსტრუქცია. საგზაო სამოსის შემადგენლობაში (ზევიდან ქვევით) შედიან ასფალტის საფარის ზედა და ქვედა ფენები, მათი საგები ბიტუმით შეკრული ასფალტის საფულები, ლორდოვანი გრუნტით ფორმირებული მარცვლოვანი საფულები და ასევე მარცვლოვანი საფულების შესასწორებელი ფენა. ასეთი აგებულების საგზაო სამოსი საკმარისად მტკიცეა და გააჩნია პროგნოზული სატრანსპორტო დატვირთვის გატარების უნარი ნაკლები მზიდუნარიანობის მქონე შეკავშირებული მასალებით აგებულ მიწის ვაკისიან მონაკვეთებზე.

საგზაო სამოსის დაპროექტების მიზანი მდგომარეობს ისეთი აგებულების განსაზღვრაში, რომელიც უზრუნველყოფს პროგნოზული სატრანსპორტო დატვირთვების ატანას ფაქტიური მიწის ვაკისის პირობებში, საგზაო სამოსის კონსტრუქციის ჭარბი ან ნაკლები მარაგით გაანგარიშების გარეშე.

მოცემულ გარემოებებში, პროგნოზული სატრანსპორტო ნაკადის მოცულობის და მასში სატვირთო ავტომობილების გარეკვეული პროცენტული წილის გათვალისწინებით, საანგარიშო საექსპლუატაციო ვადაში საგზაო სამოსის საქმარისი მზიდუნარიანობის და მედებობის უზრუნველსაყოფად, მოითხოვება ასფალტის საფარის დაგება საფარის ზედა და ქვედა ფენებისა და ბიტუმით შეკრული საფუძველის ფენის შემაღებელობით. ასფალტის საფარის ფენების ქვეშ განთავსდება შეუკრავი მარცვლოვანი საფუძველი, ხოლო მის ქვემოთ, მიწის ვაკისის შეკავშირებული კონსისტენციის გათვალისწინებით, საფუძველის შესასწორებელი დამატებითი ფენა.

AASHTO-ს დაპროექტების მეთოდით გაანგარიშებულ საგზაო სამოსთან შედარების მიზნით, შესრულდა საგზაო სამოსის გაანგარიშება გერმანული სტანდარტის (RStO) შესაბამისად. ძირითადში, ამ ორი სტანდარტული პროექტირების მეთოდით გაანგარიშებული საგზაო სამოსები ერთმანეთის მსგავსი აგებულებისაა. გარკვეული განსხვავება ცალკეულ ფენებს შორის აისხება სტანდარტების განსხვავებული მოთხოვნებით მასალების მიმართ. გარდა ამისა, გერმანული სტანდარტის მიხედვით საკვლევი საგზაო მონაკვეთისთვის განსაზღვრული დატვირთვის კლასი (Bk 3.2) მოიცავს ფართო დიაპაზონს – 3.2 მილიონ სტანდარტულ დერძამდე, რაც მნიშვნელოვნად მეტია ფაქტიურად გაანგარიშებულ პროგნოზულ დატვირთვაზე, რომელიც 1.9 მილიონ სტანდარტულ დერძს უზოლდება. ასეთი განსხვავება შეადგენს გერმანული სტანდარტის (RStO12) შესაბამისად გაანგარიშებული საგზაოს სამოსის შედარებით მეტი ჯამური სისქის კიდევ ერთ მიზეზში.

წინამდებარე ანგარიშში აგრეთვე აღწერილია ასფალტის საფარის სხვადასხვა ფენების მასალების ნარევები და მათდამი წაყენებული მოთხოვნები საგზაო სამოსის შეუკავშირებელი ფენებისთვის განსაზღვრულ მოთხოვნებთან ერთად. ცალსახად რეკომენდირებულია მოდიფიცირებული ბიტუმის გამოყენება, სულ ცოტა, ასფალტის საფარის ზედა ფენაში დასაგებ ასფალტებებონში.

აღსანიშნავია, რომ შეთავაზებული სტრუქტურის საგზაო სამოსი დაპროექტდა მიწის ვაკისის სიმაგრესთან და სატრანსპორტო დატვირთვებთან დაკავშირებული ტექნიკური მოთხოვნების გათვალისწინებით. მიზანი მდგომარეობდა ისეთი საგზაო სამოსის დაპროექტებაში, რომელმაც უნდა შეძლოს პროგნოზული სატრანსპორტო დატვირთვების ატანა ფაქტიური მიწის ვაკისის პირობებში საგზაო სამოსის კონსტრუქციული ფენების ჭარბი მარაგით გაანგარიშების გარეშე. სამშენებლო სამუშაოების წარმოებისას ლოკალურად მოულოდნელად გამოხენილი სუსტი გრუნტის მასალები უნდა ჩანაცვლდნენ ინჟინერ-გეოტექნიკოსის რეკომენდიაციების მიხედვით.

გომი-საჩხერე-ჭიათურა-ზესტაფონის (“შ-22”) საავტომობილო გზის საპროექტო კილომეტრაჟით კმ 0.0-დან კმ 23.0-მდე (გზის კილომეტრაჟით – კმ 84.0-დან კმ 107.0-მდე) მონაკვეთზე გამოვლინდა რამდენიმე მეწყერი და ცოცვისადმი მიღრეკილი არამდგრადი უბანი. ასეთ უბნებზე, საგზაო სამოსი უკვე განიცდის ან მომავალში შესაძლოა განიცადოს არამდგრადი/მოძრავი გრუნტების ზემოქმედება. მსგავს ადგილებში ჩატარებულია ტოპოგრაფიული აგეგმვები და გეოლოგიური და გეოტექნიკური აღწერები.

საკვლევ საგზაო მონაკვეთზე რეკომენდირებული ღონისძიებების განხორციელება გაუმჯობესებს მდგომარეობას საშიში გეოდინამიკური მოვლენების გავრცელების ადგილებში და შეამცირებს მეწყერული პროცესების განვითარების პოტენციალს, თუმცა ბოლომდე მომავალში ასეთი მოვლენების ხდომილების აღბათობას მთლიანად ვერ გამორიცხავს.

7. საგზაო ნაგებობები

7.1 მილები და კიუვეტები

7.1.1. ჰიდროლოგიური პლანები

“გომი-საჩხერე-ჭიათურა-ზესტაფონის” საავტომობილო გზის კმ 84 – კმ 107 მონაკვეთის გადამკვეთი ხეგების წყლის მაქსიმალური ხარჯები

შიდასახელმწიფო ინსტიტუტის შ-22 “გომი – საჩხერე – ჭიათურა – ზესტაფონის” საავტომობილო გზის კმ 84.0 – კმ 107.0 მონაკვეთი მთელ სიგრძეზე გადის მდინარე ყვირილასა და ბუჯის წყალგამყოფზე, სადაც საავტომობილო გზა არ იკვეთება არც ერთი მდინარით ან მცირე ხევით. ამიტომ, საავტომობილო გზის აღნიშნულ მონაკვეთზე ჰიდროლოგიური ავზების არ არსებობის პირობებში გაანგარიშებების ჩატარება შეუძლებელია.

მიუხედავად ზემოთხესენებულია, საპროექტო გზაზე არის არსებული მილები, რომელთა საველე აღწერაც და ინვენტარიზაციაც გაკეთდა პროექტირების ფარგლებში.

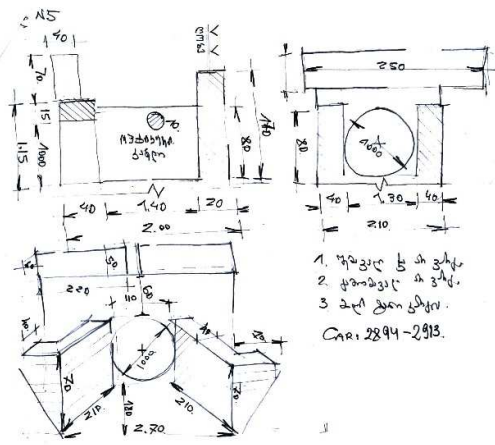
7.12. სადრენაჟე ნაგებობების გამოკვლევა

სადრენაჟე ნაგებობების საველე ინვენტარიზაცია

გზის გასწორივ არსებული წყალარინების ნაგებობების ინსპექტირების შედეგად დაფიქსირდა შემდგენ მონაცემები:

- მილების ტიპები (მოკლე მილხიდი, ცილინდრული (წრიულ განიკვეთიანი), კოლოფისებრი (მართკუთხა განიკვეთიანი), თაღოვანი);
- გეომეტრიული ზომები (სიგრძე, სიმაღლე, სიგანე, დიამეტრი და ა.შ.);
- მილების ტანის, სათავისების, ფრთების და შესასვლელი/გამოსასვლელი ელემენტების ზოგადი კონსტრუქციული მდგრმარეობა;
- სხვადასხვა ტიპის კიუვეტების კონსტრუქციული გადაწყვეტა;
- ახალი მილების მოწყობის საჭიროება და შესაბამისი ადგილები.

საველე გასვლებისას მონაცემები მოგროვილ იქნა როგორც საველე ჩანახატებით, ჩანიშვნების, ასევე, GPS კოორდინატებში რეფერენცირებული ფოტო-სურათების საშუალებით.



სურათი 7.1: მიღი №5-ის საველე ჩანახატი და იგივე მიღის ფოტო;

ზოგადად, ტექნიკური თვალსაზრისით, არსებული წყალგამტარი მიღების უმრავლესობა ცუდ ან დამაკმაყოფილებელ მდგომარეობაშია. ბევრ მათგანზე, მოვლა-შენახვის სამუშაოები, მათ შორის მცენარეულობისგან, ქვებისგან და ნაშალისგან გაწმენდა, შესრულებული არის სათანადაოდ. თუმცა, მიღების უმრავლესობა სრული მოცულობით თითქმის ვერ მუშაობს, რომლის მიზეზებიცაა შემდეგი:

- ნაწილობრივი ან სრული ჩახერგვა;
- მიღების რგოლების ურთიერთ-წანაცვლება;
- მიღების სათავისების უვარვისობა;
- მიღებში საკომუნიკაციო ხაზოვანი ნაგებობების არსებობა;
- საპროექტო წყლის ხარჯთებთან ჰიდრავლიკური შეუსაბამობა;

მომდევნო ფოტოსურათებზე იღუსტრირებულია არსებული წყალგამტარი მიღების ტიპური მდგომარეობა და ნაკლოვანებები.



სურათი 7.2.: №2 და №24 მიღებში გატარებული ელ-ხადენი, წყლის და კანალიზაციის გადამკვეთი მიღები



სურათი 7.3.: აკუმულირებული მყარი ნატანები №9 და №12 მიღებში



სურათი 7.4.: დაზიანებულ-სათავისიანი მიღები №3 და №13

ყველა მიღი თავდაპირველად აშენებულია მხოლოდ წყალარინების მიზნით, თუმცა ბევრ მათგანში გატარებულია ხაზობრივი ნაგებობები.

საველე და ტოპოგრაფიული აღწერების შედეგად, საპროექტო საგზაო მონაკვეთის გასწვრივ სილ დაფიქსირდა 26 წყალგამტარი მიღი, მათ შორის:
მართკუთხა $1.0\text{M} \times 1.0\text{M}$ განიკვეთის მიღები: 2 ცალი
ცილინდრული (წრიული განიკვეთის მქონე) მიღები ($\varnothing=750 - 1500 \text{ mm}$): 24 ცალი

მართკუთხა განიკვეთიანი მიღების მდგომარეობა დამატავოფილებელია როგორც კონსტრუქციული შესაბამისობის ოვალსაზრისით. და ექვემდებარება რეაბილიტაციას.

რაც შეეხება წრიულ მიღებს, 24 მიღიდან 16 მიღის შეცვლა გახდა აუცილებელი მიღის ტანის ან წყალმიმღები/წყალსაშვი ელემენტების დაზიანების მიზნით და ასევე, საპროექტო გზის გეომეტრიული განლაგებიდან გამომდინარე. პროექტის მიხედვით გაუქმდა ორი წრიული მიღი. შესაბამისად, მხოლოდ არსებული 8 წრიული მიღის გამოყენება ხდება სათავისების განახლებით, დაგრძელებითა და გაწმენდითი სამუშაოების გათვალისწინებით.

7.1.3. წყალარინების ნაგებობების დაპროექტება

საპროექტო გზის მთლიანი მონაკვეთი გადის წყალგამყოფ ქედზე. შესაბამისად, არსებული წყალსატარი მელების მიმართ რაიმე გამტარუნჩრიანობის მოთხოვნა არ არის საჭირო. თუმცა, იმ შემთხვევაში, როდეცას არსებული მიღის ტანი შესაცვლელია ფიზიკური დაზიანების გამო, პროექტი ითვალისწინებს მისი ახლით შეცვლას მინიმუმ $D=1000\text{-mm}$ დიამტერის მიღებით;

ზემოთხსენებული და სხვა სარეაბილიტაციო ღონისძიებები, როგორებიცაა:

- ა) გაწმენდითი სამუშაოები;
- ბ) ბახალი სათავისები;
- გ) მიღის ტანის დაგრძელება,
- დ) ჭების მოწყობის ნუსხა-ჩამოანათვალი იხილეთ ქვემოთ ცხრილში:

ცხრილი 7.1: საპროექტო მიღების ტექნიკური მონაცემები

არსებული მიღების ინგენერიზაციის ცხრილი								საპროექტო მიღების რეაბილიტაციის მონაცემთა ცხრილი									
№	მიღის №	მდგბარეობა (გვ)	სიგანე (გვ)	სიმაღლე (მ)	დიამ, (მმ)	მდებარეობის ტანის ჯერადობა: ერთმაგი, ორმაგი, სამაგი (ერთ/ორმ/სამ)	სიგრძე (მ)	არსებული მიღის სრული შეცვლა ან ახლის ჩამატება	ახალი მიღისათვის			ახალი წელმიმდები ჭები მდებარეობაზესაცლელთან	მიღის დაგრძელება, (გვ)	გაწმენდა (მიღის ტანისა და მისახლელების)	ახალი სათავისი	ახალი ფრთვები	
									დიამ, (მმ)	სიგანე (გვ)	სიმაღლე (მ)						
1	2	3	5	6	7	8	9	10	11	12	13	14	15	16	17	18	19
1	1	0+009	--	--	1000	ერთ	11.50	X	1000	--	--	X	--	--	--	X	--
2	2	0+580	--	--	750	ერთ	11.10	X	1000	--	--	--	--	--	--	--	X
3	3	1+466	--	--	750	ერთ	10.10	X	1000	--	--	--	--	--	--	--	X
4	4	1+991	--	--	750	ერთ	10.60	X	1000	--	--	--	--	--	--	--	X
5	5	2+414	--	--	1000	ერთ	10.35	--	--	--	--	--	X	--	--	--	--
6	6	2+587			750	ერთ	11.40	X	1000	--	--	X	--	--	--	X	--
7	7	3+051			1000	ერთ	10.30	--	--	--	--	--	X	X	--	--	--
8	8	5+516	1.00	1.00	--	ერთ	11.20	--	--	--	--	--	X	X	--	--	--
9	9	5+948			1000	ერთ	10.70	X	1000	--	--	X		--	--	--	X
10	10	6+543			1000	ერთ	10.30	--	--	--	--	--	X	X	--	--	--
11	11	6+973	1.00	1.00	--	ერთ	9.15	X	--	--	--	X	--	--	--	--	--
12	12	8+222			1000	ერთ	9.08	X	1000	--	--	X	--	--	--	X	--
13	13	9+464			1500	ერთ	11.00	X	1500	--	--	X	--	--	--	--	X
14	14	9+552			--	ერთ	13.00	--	--	--	--	--	--	--	--	--	--
15	15	9+573			--	ერთ	12.55	X	1000	--	--	X	--	--	--	--	X
16	16	10+197			750	ერთ	10.30	X	1000	--	--	X	--	--	--	X	--
17	17	10+992			750	ერთ	10.00	X	1000	--	--	X	--	--	--	X	--
18	18	14+339			750	ერთ	15.50	X	1000	--	--	X	--	--	--	X	--
19	19	14+789			1000	ერთ	11.00	--	1000	--	--	X	X	--	--	--	X
20	20	16+263			1000	ერთ	10.70	X	1000	--	--	X		--	--	--	X
21	21	17+065			1000	ერთ	11.00	--	1000	--	--	X	X	--	X	--	--
22	22	17+581			1000	ერთ	11.90	--	1000	--	--	X	X	--	--	--	X
23	22.1	17+976			--	ერთ	14.40	X	1000	--	--	X		--	--	--	X
24	23	18+861			1000	ერთ	14.25	--	--	--	--	--	X	--	--	X	--
25	23.1	19+897			--	ერთ	10.10	X	1000	--	--	X	--	--	--	--	X
26	24	20+950			1000	ერთ	12.80	--	--	--	--	--	--	--	--	--	--

7.1.5. ენერგიის გაფანტვა

ყველაზე გავრცელებულ საშუალებას გამოსასვლელის დაცვის მიზნით, განსაკუთრებით წრიული მიღების შემთხვევაში, წარმოადგენს ქვანაყარის რისბერმა. ასეთი რისბერმების მოწყობა გათვალისწინებულია ყველა შშრალი ან მცირე ხარჯიანი მიღისთვის. მიღების რისბერმაში განსათავსებელი ქვანაყარის ზომები გამოითვლება შემდეგი ფორმულით (ფლეტჩერი და გრეისი, 1972წ., HEC 14, 2006):

$$D_{50} = 0.2 D \left(\frac{Q}{\sqrt{g D^{2.5}}} \right)^{4/3} \left(\frac{D}{TW} \right)$$

რომელშიც გამოყენებულია შემდეგი აღნიშვნები:

D_{50} ქვანაყარის ზომა, მ

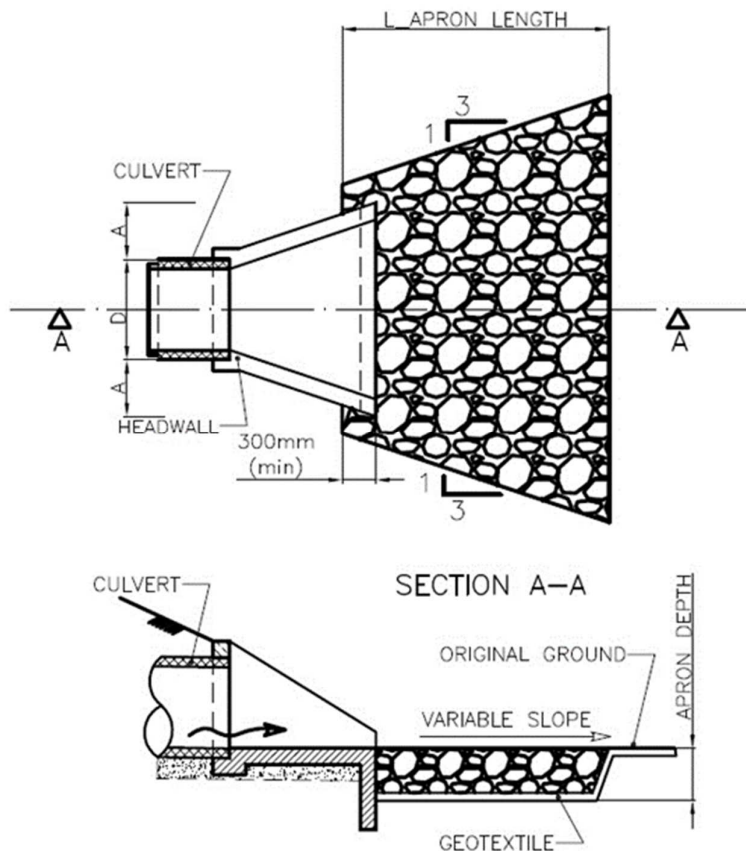
Q წყლის საანგარიშო ხარჯი, მ³/წმ

D მიღის დიამეტრი, მ

TW წყლის სიღრმე ქვედა ბიეფში (თუ ცნობილი არ არის – 0,4), მ

g სიმძიმის ძალის აჩქარება, 9,81 მ/წმ²

რისბერმის სანიმუშო სქემა ნაჩვენებია მომდევნო სურათზე.



სურათი 7.5. ცილინდრული მიღის ქვანაყარით ფორმირებული რისბერმა (HEC 14)

HEC 14 ცირკულარის შესაბამისად, რისბერმის მინიმალური სიგრძე დამოკიდებულია მიღის დიამეტრზე და რისბერმის შუა ნაწილის სიღრმეზე, როგორც ეს ნაჩვენებია მომდევნო ცხრილში 7.2.

ცხრილი 7.2. ცილინდრული მიღების რისბერმების ზომები ქვანაფარის კლასების მიხედვით

ქვანაფარის კლასი	ქვანაფარის ზომა D50 [მმ]	რისბერმის სიგრძე* [მ]	რისბერმის სიღრმე [მ]
1	≥ 125	4D	3.5D50
2	≥ 150	4D	3.3D50
3	≥ 250	5D	2.4D50
4	≥ 350	6D	2.2D50
5	≥ 500	7D	2.0D50
6	≥ 550	8D	2.0D50

შენიშვნა: *D არის მიღის ზომა (კვეთის დიამეტრი)

მომდევნო ცხრილში მოცემულია საპროექტო მიღების რისბერმების მინიმალური ქვანაფარის ზომის (D₅₀) გათვალისწინებით.

ცხრილი 7.3. საპროექტო მიღების ქვანაფარის რისბერმების მინიმალური საანგარიშო სიგრძეები

ქვანაფარის კატეგორია	მიღის დიამეტრი [მმ]	რისბერმის მინიმალური სიგრძე [მ]
1 / 2	1000	4.0
1 / 2	1500	6.0
3	1000	5.0
3	1500	7.5
4	1500	9.0

რისბერმების მინიმალური სიღრმეები ცალ-ცალკე გაანგარიშდა ქვანაფარის ზომის (D₅₀) მიხედვით. მოცემული პროექტისთვის, ეს პარამეტრი 0.44-1.02 მ შუალედში იცვლება.

ენერგიის დისიპაცია გ.წ. “რენოს”ლეიბების გამოყენებით

პროექტის ტერიტორიის რელიეფი არ არის მკვეთრად დახრილი ფერდობებით. იგი დაახლოებით 8°-20°-ის ფარგლებში მერყეობს კერძოდ. ფერდების დახრილობები დიდი არ არის. არსებული გრუნტები თიხა-თიხნაროვანი აგებულებისაა.

საპროექტო გზის მოქრე ნახევრის მიმდებარე ფერდები მეწყრული ხასიათისაა (ან დამეწყრისკენაა მიღრეკილი).

ამიტომაც, იმ მიღების გამოსახვლელი ხევები, რომელიც უშუალოდ მეწყრული მდებარებენ, “რენოს” ლეიბების (სისქით 23 სმ) საგებებია გათვალისწინებული გეოტექნიკური რაოდა მინიმუმადე იქნას დაყვანილი დოკუმენტული წყლის გრუნტებში ჩაჟონვისგან.

7.2 საყრდენი ნაგებობები

საპროექტო მაღალი მიწაყრილების, გაფართოებების და ან ბუნებრივ დრმა ფერდობებზე ყრილების ამოყვანის თავიდან აცილების მიზნით, რამაც ზოგიერთ ადგილში შეიძლება დამატრებითი მიწის შესყიდვებიც კი მოითხოვოს, გათვალისწინებულია არსებული ყრილების ფერდოების შეკავება საყრდენი ნაგებობების საშუალებით. ასევე, საშუალო და მაჭალი ჭრილების შემთხვევებშიც, ბუნებრივ და სოციალურ გარემოზე ზემოქმედების მინიმიზაციის ფუთხით, პროექტით გათვალისწინებულია საყრდენ-სარეგულაციო ნაგებობების გამოყენება.

საყრდენი ნაგებობები დაპროექტებულია გრუნტის განივი და წყლის წნევების, დროებითი დატვირთვების, კედლის საქუთარი წონის და განსაკუთრებული (სეისმური) დატვირთვების გათვალისწინებით.

კედლების სათანადო სახეობები შერჩეულია საანგარიშო დატვირთვების, საძირკვლების აღექვატურად დაყრდნობის სიღრმეების, მოქმედი ფიზიკური შეზღუდვების, სამშენებლო მოედნის არსებული და გეგმიური განიკვეთების გეომეტრიული პარამეტრების, დაჯდომის პოტენციალის, სასურველი შესახედაობის, მშენებლობის პრაქტიკულობის, მოვლა-შენახვის საჭიროების და დირექტულების გათვალისწინებით.

ძირითად ში დაპროექტდა ორი განსხვავებული ტიპის საყრდენი ნაგებობები:

- რეინაბეტონის საყრდენი კედლები;
- გაბიონური ტიპის საყრდენი კედლები;

7.2.1 გეოტექნიკური პარამეტრები

საყრდენი კედლების კონსტრუქციული გაანგარიშებისთვის გამოყენებული გეოტექნიკური მახასიათებლები დაფუძნებულია საველე გეოტექნიკური კელევების და ლაბორატორიული გამოცდების შედეგებზე, რომლებიც შეჯამებულია წინამდებარე ანგარიშის შესაბამის თავში. საცდელი შურფებიდან და ჭაბურლილებიდან აღებული გრუნტის სინჯების/ნიმუშების გამოკვლევის შედეგების გამოყენებით იდენტიფიცირდა ე.წ. “საინჟინრო-გეოლოგიური ელემენტები” (“სბუ”-ები).

ცხრილში 7.1 წარმოდგენილია გეოტექნიკური პარამეტრების ნომინალური სიდიდეები, რომლებიც გამოყენებულია საყრდენი ნაგებობების კონსტრუქციულ გამოთვლებში.

7.1. გეოტექნიკური პარამეტრების ნომინალური სიდიდეები

საინჟინ-რო გეოლ. აღმოჩენები (სბ) №	გრუნტის აღწერილობა	ნომინ. შინაგანი ხახუნის კუთხე (°)	შექი- დულო- ბა, C კა	მოცუ- ლობითი გუთრი წონა (კ/კ³)	გრუნტის ნომინალური წინადობა R0 (კა)
2	თიხა, მოყავისფრო ქანგისფერი, ნახევრადმყარი, ხვინჭის 5%-მდე და ღორღის 15%-მდე ჩანართებით, მარილების ჩანაწინებულებით და ბუდობებით, იშვიათად ქვიშის ლინზებით	18.42	49.66	19.2	288
3	თიხა, მოყავისფრო ქანგისფერი, ნახევრადმყარი, ხვინჭის 5%-მდე და ღორღის 15%-მდე ჩანართებით, მარილების ჩანაწინებულებით და ბუდობებით, იშვიათად ქვიშის ლინზებით	16.44	45.63	18.3	259
4	თიხნარი, მოყვითალო-ყავისფერი, ნახევრადმყარი, ხვინჭის და ღორღის 30%-მდე ჩანართებით, მარილების ჩანაწინებულებით, სხვადასხვა ფერის ლაქებით, იშვიათად ქვიშის ლინზებით	23.56	28.63	17.7	221
5	ღორღოვანი გრუნტი 30%-მდე მნელპლასტიკური თიხნარის შემავსებელით, ელუვიურებული კირქვები და შლილი ღორღის ღორებზე და გათხმარებული	42	11	19.5	400
6	კირქვა, მონაცრისფრო მოქანგისფრო ფინენი, ძლიერ დანაპრალიანებული, ძლიერ გამოფიტული, თიხის შეაშრეებით, მარილების ჩანაწინებულებით და ბუდობებით, ქანგისფერი ლაქებით	32.75	6834.2	1.81	-

დამატებით საჭირო ინფორმაცია მოპოვებული იქნა ჭაბურლილებში აღებული ნიმუშების საველე და ლაბორატორიული გამოკვლევის შედეგებით.

7.2.2 რკინაბეტონის საყრდენი ნაგებობები

საპროექტო გზის მონაკვეთი რკინაბეტონის კედლები დაპროექტებულია ძირითადად კონსოლურ-ძირიანი ნაგებობების სახით $H=2.0$ -დან $H=4.0$ მეტრიანი მაქსიმალური სიმაღლეებით. სულ სრ/ბ კედლების ჯამური სიგრძეა 474 გრძივი მეტრი.

რკინაბეტონის კონსოლური (კუთხოვანისებური) საყრდენი კედლები საქართველოში ფართოდ არიან აპრობირებული, თუმცა მეტწილად გამოიყენებიან შედარებითი დაბალი (1,5 მეტრიდან 4-5 მეტრამდე) სიმაღლის) ჭრილებისთვის. ამ ტიპის ნაგებობების მშენებლობის ხარჯები მნიშვნელოვნად იზრდება კედლის სიმაღლის ზრდასთან ერთად.



სურათი 7.1 ტიპიური კონსოლური საყრდენი კედლები

რკინა-ბეტონის კონსოლურ-ძირიანი საყრდენი კედლები აშენდება ურთიერთდაკავშირებული მონოლითური რკინაბეტონის ფუძის და კედლის ფილებისგან შედგენილი კონსტრუქციის სახით. კონსოლური საყრდენი კედლები ნახევრად გრავიტაციული ტიპისაა. მათი მდევობა დატვირთვების მიმართ ძირითადად განპირობებულია კედლის, ფუძის და უკუშევსების გრუნტის საკუთარი წონებით.

საყრდენი კედლები დაპროექტდა ლიცენზირებული გეოტექნიკური კომპიუტერული პროგრამის გამოყენებით.

აღნიშნული პროგრამა იძლევა კედლის ძირის ფილის მზიდუნარიანობის, გაცურებისადმი და ამოყირავებისადმი წინააღმდეგობის შემოწმების შესაძლებლობას. სპეციალური დამხმარე პროგრამული მოდულის საშუალებით აგრეთვე შეიძლება საჭირო არმატურის რაოდენობის გამოთვლა. გამოთვლებში საწყისი მონაცემების სახით გამოიყენება გეოტექნიკური გამოკვლევის ანგარიშში მოცემული გრუნტების მასასიათებლები.

სადაც საჭიროა, კომპიუტერული პროგრამით გამოთვლილ გრუნტის წნევას ემატება დინამიური (დროებითი) დატვირთვები.

მომდევნო ცხრილში 7.2 წარმოდგენილია ასეთი კედლების განთავსების შესაბამისი ადგილები და სიმაღლეები.

ცხრილი 7.2. რკინა-ბეტონის კონსოლური კედლების მონაცემები

#	გზის დერდის ხაზის №	მდებარეობა, (მ)				კედლის სიგრძე (მ)	კედლის სიმაღლე (მ)		
		გზიდან ხელმარცხნივ		გზიდან ხელმარჯვნივ					
		დაწყება	დასრულება	დაწყება	დასრულება				
1	2	3	4	5	6	7	8		
1	100			7	15	13	4		
2	100			15	55	36	3		
3	100			55	63	8	2		

4	100	2 584	2 592			8	3
5	100	6 749	6 780			31	0.5X1.50
6	100			8 220	8 226	6	3
7	100			10 191	10 201	10	4
8	100			10 988	10 996	8	3
9	100	12 180	12 193			13	1.6X1.60
10	100	13 409	13 420			11	0.5X1.50
11	100	13 521	13 541			20	0.5X1.50
12	100	13 600	13 610			10	0.5X1.50
13	100	13 635	13 670			35	0.5X1.80
14	100	14 025	14 035			10	0.5X1.50
15	100	14 115	14 152			37	0.5X1.00
16	100	14 160	14 180			20	0.5X1.50
17	100			14 336	14 342	6	3
18	100	15 210	15 245			35	1.6X1.60
19	100			17 090	17 115	25	0.5X1.50
20	100	17 795	17 800			5	2
21	100			18 857	18 865	8	3
22	100	18 857	18 865			8	3
23	100	20 915	20 940			25	1.5X1.8
24	100	21 066	21 130			67	0.5X1.80
25				21 075	21 084	9	2
26	100			21 322	21 332	10	0.5X1.50

474

7.2.3 გაბიონის საყრდენი ნაგებობები

პროექტი ითვალისწინებს მხოლოდ ერთ ადგილას $h=2.0$ მეტი სიმაღლის გაბიონური ტიპის კედლის კუნძულობას. მისი სიგრძე 12 გრძივი მეტრია. სათანადოდ გასათვალისწინებლად, კონსულტანტმა გამოიყენა შემდეგი დაშვებები:

ცხრილში 7.3 წარმოდგენილია გაბიონური კედლის მდებარეობა.

#	გზის დერდის ნაზის №	მდებარეობა, (მ)				გაბიონის კედლის სიგრძე (მ)	გაბიონის კედლების სიმაღლე და სიღრმე			
		გზიდან ხელმარცხნივ დაწყება		გზიდან ხელმარჯვნივ დაწყება			H (მ)	B (მ)		
		3	4	5	6					
1	100			6922	6934	12	2.0	2.0		
სულ გაბიონის კედლების ჯამური სგრძე						12				

ქვემოთ მოცემულია გაბიონური კედლების ძირითადი სამშენებლო მოთხოვნები:

- გაბიონური კედლები მინიმუმ 0,5 მეტრით უნდა იყონ ჩაღრმავებული გრუნტის ზედაპირიდან;
- გაბიონური კედლების ფრონტალური ზედაპირი მინიმუმ 6-10 გრადუსით უნდა იყოს გადახრილი ვერტიკალიდან (თუმცა, ეს პირობა განსაკუთრებით აქტუალურია $h=3,0-5,0$ მ სიმაღლის გაბიონური კედლებისთვის);
- კედლის ძირის ქვეშ უნდა მოეწყოს და დაიტემოს ქვიშა-ხრეშოვანი საგები ფენა;

- კედლის ზურგის მხარეს უნდა დამაგრდეს გეოტექსტილი, ბუნებრივი შემავსებელი გრუნტისგან იზოლირების და დრენაჟის მიზნით;
- გაბიონის ყუთის მაგვულბადის გაგლეჯაზე წინაღობა არ უნდა იყოს ნაკლები 35 კნ/მ-ზე;
- გაბიონის ყუთს შეაში უნდა ქონდეს დიაფრაგმა, რომელიც ყოფს (1,0x1,0,2,0 მ სტანდარტული ზომების) ყუთს ორ ტოლ ნაწილად და ზრდის ყუთის კონსტრუქციულ სიმტკიცეს.

7.2.4 არსებული რკინაბეტონის კედლების რეაბილიტაცია

პროექტირების ფარგლებში ჩატარდა არსებული საყრდენი ნაგებობების დეტალური სავალე დათვალიერება და აღწერა. შესაბამისად, განისაზღვრა არსებული დაზიანებული და დასანგრები კედლების მდებარეობები და მათი რაოდენობები. ასევე, ჩამოყალიბდა ის სარეაბილიტაციო დონისძიებები რაც აუცილებელია კონსტრუქციულად საღი კედლების აღდგენისათვის.

სარეაბილიტაციო დონისძიებები მოიცავს მირიდადად:

- კედლების მირებთან მცირე სიღრუეების აღმოფხვრას ბეტონის ჩასხმით;
- კედლების აშრევებულ/დახორკლილი ზედაპირების ტორკრეტირებას;
- კედლებისათვის დამატებითი რკინა-ბეტონის “პერანგის” მოწყობას;

სარეაბილიტაციო და დასანგრევი კედლების ინვენტარიზაციის ცხრილი №7.4 მოცემულია ქვემოთ, ხოლო დანართი 13-ში კი სრული სარეაბილიტაციო დონისძიებები და მათი მოცულობები:

ცხრილი №7.4: სარეაბილიტაციო და დასანგრევი კედლების ინვენტარიზაცია

№	არსებული კედლების მდებარეობა				არსებული კედლის ტიპი (რ/ბ, ბეტონის, გაბიონი)	არსებული კედლის ზომები			მდებარეობა და ზოგადი მდგრმარეობის შეფასება	დაგეგმილი სარეაბილიტაციო დონისძიება	არსებული კედლის დაშლა- დემონტაჟი (მ³)
	გზიდან ხელმარცხნივ	გზიდან ხელმარჯვნივ	საშუალო სიმაღლე	სიგრძე		საშუალო სიმაღლე	სიგრძე (მ)	საშუალო სისქე (მ)			
1	2	3	4	5	6	7	8	9	10	11	12
1			8	64	ბეტონი	2	50.30	0.7	მარჯვენა ქვედა მხრის კადელი ინგრევა	ახალი რ/ბ კედლის მოწყობა	70.4
2			20 796	20 810	ბეტონი	0.75	15.00	0.4	მარჯვენა ქვედა მხრის კარგი კედლი	არ არის გათვალისწინებ ული რეაბილიტაცია	
3			20 815	20 850	ბეტონი	1.35	35.00	0.5	მარჯვენა ზედა მხრის კარგი კედლი(დობე)	არ არის გათვალისწინებ ული რეაბილიტაცია	

4			20 854	20 859	ბეტონი	1.15	5.00	0.5	მარჯვენა ზედა მხრის კარგი კედელი(ღობე)	არ არის გათვალისწინებ ული რეაბილიტაცია	
5			20 863	20 882	ბეტონი	1.5	18.42	0.5	მარჯვენა ზედა მხრის კარგი კედელი(ღობე)	არ არის გათვალისწინებ ული რეაბილიტაცია	
6			20 887	20 906	ბეტონი	1.45	18.50	0.5	მარჯვენა ზედა მხრის კედელი(ღობე)	კედლის ტორკორება ორი ფენა მავრულბადის გარეშე სისქით 4 სმ.	
7			20 911	20 939	ბეტონი	1.75	28.17	0.6	მარჯვენა ზედა მხრის კარგი კედელი(ღობე)	არ არის გათვალისწინებ ული რეაბილიტაცია	
8			20 929	20 967	ბეტონი	2.5	51.00	0.7	მარჯვენა ზედა მხრის კარგი კედელი	არ არის გათვალისწინებ ული რეაბილიტაცია	
9			20 969	20 972	ბეტონი	1.75	27.00		მარჯვენა ზედა მხრის კარგი კედელი	არ არის გათვალისწინებ ული რეაბილიტაცია	
10			20 982	20 999	ბეტონი	3.75	23.00	0.6	მარჯვენა ზედა მხრის კარგი კედელი	არ არის გათვალისწინებ ული რეაბილიტაცია	
11			20 999	21 013	ბეტონი	3.5	14.00	0.6	მარჯვენა ქვედა მხრის კედელი	კედლის ტორკორება ორი ფენა მავრულბადის გარეშე სისქით 4 სმ.	
12			21 016	21 046	ბეტონი	3.85	29.80	0.6	მარჯვენა ქვედა მხრის კედელი	კედლის ტორკორება მავრულბადე Φ=8 მმ უჯრედი 10X10სმ სისქით 8 სმ	
13	21 017	21 020			ბეტონი	1.2	4.20	0.4	მარცხენა ქვედა მხრის კედელი ინგრევა	ახალი რ/ბ კედლის მოწყობა	2.0
14	21 024	21 065			ბეტონი	1.25	42.00	0.4	მარცხენა ქვედა მხრის კედელი	კედლის ტორკორება მავრულბადე Φ=8 მმ უჯრედი 10X10სმ სისქით 8 სმ	

15		21 052	21 101	ბეტონი	3.75	50.00	0.6	მარჯვენა ქვედა მხრის კედელი	რკინაბეტონის პერანგის საშუალოდ სისქით 18სმ ბეტონი C-30/37 მავთულბადე Φ=12 მმ უჯრედი 20X20სმ		
16	21 065	21 130		ბეტონი	1	68.00	0.3	მარცხენა ზედა მხრის კედელი ინგრევა	ახალი რ/ბ კედლის მოწყობა	20.4	
17		21 102	21 180	ბეტონი	2.1	62.00	0.5	მარჯვენა ქვედა მხრის კედელი	კედლის ტორკეტირება მავთულბადე Φ=8 მმ უჯრედი 10X10სმ სისქით 8 სმ		
18	21 383	21 403		ბეტონი	1.7	27.40	0.6	მარცხენა ზედა მხრის კედელი	კედლის ტორკეტირება მავთულბადე Φ=8 მმ უჯრედი 10X10სმ სისქით 8 სმ		
19	21 408	21 412		ბეტონი	2.5	15.30	0.6	მარცხენა ზედა მხრის კედელი	კედლის ტორკეტირება მავთულბადე Φ=8 მმ უჯრედი 10X10სმ სისქით 8 სმ		
20	21 413	21 419		ბეტონი	2.7	19.00	0.6	მარცხენა ზედა მხრის კედელი	კედლის ტორკეტირება მავთულბადე Φ=8 მმ უჯრედი 10X10სმ სისქით 8 სმ		
21	21 425	21 438		ბეტონი	3.1	23.40	0.6	მარცხენა ზედა მხრის კედელი	კედლის ტორკეტირება მავთულბადე Φ=8 მმ უჯრედი 10X10სმ სისქით 8 სმ		
22	21 441	21 453		ბეტონი	2.6	43.00	0.6	მარცხენა ზედა მხრის კედელი	კედლის ტორკეტირება მავთულბადე Φ=8 მმ უჯრედი 10X10სმ სისქით 8 სმ		
23	21 455	21 473		ბეტონი	3.2	28.30	0.6	მარცხენა ზედა მხრის კედელი ინგრევა	ახალი რ/ბ კედლის მოწყობა	8.5	

24	21 460	21 500			ბეტონი	2.9	67.00	0.6	მარცხნა ზედა მხრის კედელი	პედლის ტორკულტირება მავთულბადე Φ=8 მმ უჯრედი 10X10სმ სისქიოთ 8 სმ	
25	21 518	21 528			ბეტონი	3.65	10.00	0.6	მარცხნა ზედა მხრის კედელი	პედლის ტორკულტირება მავთულბადე Φ=8 მმ უჯრედი 10X10სმ სისქიოთ 8 სმ	
26	21 530	21 540			ბეტონი	3.2	14.00	0.6	მარცხნა ზედა მხრის კედელი	პედლის ტორკულტირება მავთულბადე Φ=8 მმ უჯრედი 10X10სმ სისქიოთ 8 სმ	
27	21 543	21 557			ბეტონი	3	15.00	0.6	მარცხნა ზედა მხრის კედელი	პედლის ტორკულტირება მავთულბადე Φ=8 მმ უჯრედი 10X10სმ სისქიოთ 8 სმ	
28			21 545	21 559	ბეტონი	1.3	15.00	0.6	მარჯვენა ზედა მხრის კედელი	პედლის ტორკულტირება მავთულბადე Φ=8 მმ უჯრედი 10X10სმ სისქიოთ 8 სმ	
29			21 562	21 569	ბეტონი	1.6	7.00	0.6	მარჯვენა ზედა მხრის კედელი	პედლის ტორკულტირება მავთულბადე Φ=8 მმ უჯრედი 10X10სმ სისქიოთ 8 სმ	
30	21 562	21 575			ბეტონი	3.05	14.00	0.6	მარცხნა ზედა მხრის კედელი	პედლის ტორკულტირება მავთულბადე Φ=8 მმ უჯრედი 10X10სმ სისქიოთ 8 სმ	
31			21 584	21 598	ბეტონი	1.8	14.00	0.6	მარჯვენა ზედა მხრის კედელი	პედლის ტორკულტირება მავთულბადე Φ=8 მმ უჯრედი 10X10სმ სისქიოთ 8 სმ	

32	21 586	21 598			ბეტონი	2.65	11.00	0.6	მარცხენა ზედა მხრის კედელი	პედლის ტორკულება მავთულბადე Φ=8 მმ უჯრედი 10X10სმ სისქით 8 სმ	
33	21 649	21 670			ბეტონი	3.75	21.00	0.6	მარცხენა ზედა მხრის კედელი	პედლის ტორკულება მავთულბადე Φ=8 მმ უჯრედი 10X10სმ სისქით 8 სმ	
სულ დანგრევა გვ. ³										101.3	

7.3 დამწყრილი ფერდების სტაბილიზება მეწყერ-საწინააღმდებო ხიმინჯების საშუალებით

7.3.1. მეწყერ-საწინააღმდებო ხიმინჯების გამოყენება

საპროექტო გზის შ-22 ”გომისა-საჩხერე-ჭიათურა-ზესტაფონის“ კმ 84.0-კმ107.0 მოკავეთზე იდენტიფიცირებული 16 მეწყრული სხეულიდან 4 მათგანი შედარებით მძლავრია (მისი გავრცელების სიგრძის, სიგანის და სიღრმის თვალსაზრისით). დამწყრილი ფერდოების მდგრადობის გაანალიზებისათვის გამოყენებული იქნა ლიცენზირებული სპეციალიზებული გეოტექნიკური პროგრამა Geo-5-ის მოდულები: “ფერდების მდგრადობის საანგარიშო მოდული” და “მეწყერ-საწინააღმდებო ხიმინჯების საანგარიშო მოდული”. ეს უკანასკნელი კი გამოიყენება ძირითადად მძლავრი (დიდი ზომის) მეწყრების მდგრადობის გასაანგარიშებლად. ზოგადად, ხიმინჯოვანი ტიპის ნაგებობები წარმოადგენენ ხიმინჯოვანი ტიპის კედლებს, რომლებიც მთლინად (ან თითქმის მთლიანად) ჩაისმება დამწყრილ სხეულში. ხიმინჯოვანი კედლის რიგის მდებარეობა ისე უნდა შეირჩეს და გადაკვეთოს მეწყრული სხეულის ე.წ. დაცურების ზედაპირს იმგვარად, რომ წინააღმდებობა გაუწიოს დაცურების მამოძრავებელ ძალებს. ხიმინჯები შეიძლება იყოს ოთხეუთხა და ან წრიული განივევთის ფორმის. ჩვენს შემთხვევაში, პროექტით შეთავაზებულია წრიული განივევთის მქონე ხიმინჯები.

მეწყერ-საწინააღმდებო ხიმინჯების გამოყენებისათვის გასათვალისწინებელია შემდეგი გარემოებები:

- მეწყრული სხეულის ”დაცურების ზედაპირის“ მდებარეობა (დაწყება და დასრულება) და მისი მაქსიმალური ჩაღრმავების დონე რელიეფის ზედაპირიდან;
- ”დაცურების ზედაპირის“ ქვეშ მდებარე გრუნტის მდგომარეობა, იმდენად, რამდენადაც ის არ უნდა იყოს გამოფიტული და დასუსტებული;

7.3.2. მეწყერ-საწინააღმდებო ხიმინჯების საანგარიშო პროგრამა

მეწყერ-საწინააღმდებო ხიმინჯებიანი ნაგებობის მოწყობა პირობითად ორ საფეხურად შეიძლება გაიყოს:

პირველად, უნდა შეფასდეს ფერდის გლობალური მდგრადობა; საამისოდ, ჩვენს შემთხვევებში, გამოყენებული იქნა გეოტექნიკური პროგრამა Geo-5-ის ”ფერდის სტაბილურობის საანგარიშო მოდული“. მისი საშუალებით განისაზღვრება ის მამოძრავებელი ძალვები, რომლებიც მოქმედებენ ხიმინჯებზე მდგრადობის უსაფრთხოების კოეფიციენტის გათვალისწინებით; თუმცა სხვა მეთოდებით (მაგალითად გეოტექნიკური მეთოდით) არ არის განსაზღვრული მეწყრული სხეულის ”დაცურების ზედაპირის“ ფორმა და მდებარეობა, ეს პროგრამული მოდული ე.წ. ”ოპტიმიზაციის“ ოპციის საშუალებით იძლევა ამ დაცურების ზედაპირებს შორის კვლებაზე კრიტიკულის შერჩევის საშუალებას. მის მდებარეობას, ანუ დაწყება-დასრულების განსაზღვრას და

ჩაღრმავებას უმცირესი მდგრადობის უსაფრთხოების კოეფიციენტის დადგენის ჩათვლით. ხოლო პროგრამული ანალიზის და გაანგარიშების საბოლოო შედეგი კი არის ხიმინჯებზე მოქმედი ძალების და მათი განაწილების გაანგარიშება და ხიმინჯების პორიზონტალური გადაადგილების მნიშვნელობის შედეგის მიღება.

7.3.3. მდგრადობის უსაფრთხოების კოეფიციენტი და საწყისი მონაცემების ჩატვირთვა
ზოგადად, ფერდის მდგადობის უსაფრთხოების კოეფიციენტის $SF_s=1.5$ სიღიდის გამოყენება საქმარისია. ჩვენს შემთხვევაში, მეწყერ-საწინააღმდეგო ხიმინჯების გამოყენებისას, მხედველობაშია მისაღები მეწყერული სხეულის სიმძლავრე, ხიმინჯოვანი ნაგებობის სიდიდე და მათი მოწყობის სამშენებლო ლირებულება, შესაბამისად პროგრამა რეკომენდაციას იძლევა უსაფრთხოების კოეფიციენტის გაზრდას $SF_s=1.5$ -დან $SF_s=2.0$ -მდე. ამიტომ ამ კოეფიციენტის უკანასკნელ მნიშვნელობას ვიყენებთ ხიმინჯოვანი კედლების მოწყობისათვის მდგრადობის უსაფრთხოების საანგარიშოდ.

პროგრამაში შემდეგი საწყისი მონაცემები იქნა ჩატვირთული:

- გრაფიკული ფორმით იქნა შეყვანილი იქნა გრუნტის ამგები ქანები (ფენები) იმ მონაცემებზე დაყრდნობით რაც სავალე გეოტექნიკურმა და ლაბორატორიულმა დასკვნებმა აჩვენებს;
- შეყვანილი იქნა ყველა ფენის გეოტექნიკური ის პარამეტრი, რომლების აღებულია ლაბორატორიული ტესტების შედეგებიდან, და რომლებსაც პროგრამული მოდული მოითხოვს;
- ასევე, პროგრამაში შეყვანილ იქნა გრუნტის წყლის დონეები (სხვადასხვა მეწყერებზე ჭაბურლილებში შესაბამისი დონეების მიხედვით);
- ასევე იქნა შეყვანილი გზიდან მოსული დროებითი დატვირთვების მნიშვნელობები $q=25$ $\text{კნ}/\text{მ}^2$ -ის მნიშვნელობის სახით;
- მიწისძვრის ოპციურ ველში მივუთითეთ შესაბამისი პორიზონტალური აჩქარების კოეფიციენტი, რომელიც ჩვენს შემთხვევაში განისაზღვრა $K_h= 0.1$ -ის და $K_v= 0.05$ -ტოლად;

მეწყერ-საწინააღმდეგო ხიმინჯების ანალიზისათვის **Geo-5** პროგრამა რეკომენდაციას იძლევა მხოლოდ სპეციალის, ჯანბაზე და ან მორგენსტერნ-პრაისის მეთოდების გამოყენებას. ჩვენს შემთხვევაში მითითებული იქნა სპეციალის მეთოდი.

7.3.4. ფერდის მდგრადობის ანგარიში

მას შემდეგ, რაც “ფერდების მდგრადობის საანგარიშო მოდულის” საშუალებით დადგინდა, რომ ფერდების სტაბილურობის უსაფრთხოების კოეფიციენტი მოთხოვნილზე დაბალია, ანუ $SF_s<2.0$, მეწყერ-საწინააღმდეგო ხიმინჯების ჩასმისათვის ვირჩევთ იმავე მოდულში ხიმინჯის ტიპს - რეინაბეტონს, განივავთს - დიამტერს, და სიგრძეს - მეტრებში მითითებით. ხიმინჯების ოპტიმიზებული ჩასმა მოხდა ისე, რომ მან ყველა მეწყერული სხეულის “დაცურების კრიტიკული ზედაპირები” გადაკვეთეს იმ ადგილებზე და და იმ სიღრმით, რომ უზრუნველყოფილი იქნა ფერდის მდგრადობები შესაბამისად უსაფრთხოების მოთხოვნილი კოეფიციენტის გათვალისწინებით.

მას შემდეგ, რაც პროგრამა იძლევა ხიმინჯების გამოყენების შესაძლებლობას, უპვე გადავდივართ “მეწყერ-საწინააღმდეგო ხიმინჯების საანგარიშო მოდულში” შერჩეული ხიმინჯების პარამეტრების დადასტურება-შემოწმებისათვის. ამ მოდულის გამოყენებით გაანგარიშდა და დაზუსტდა ხიმინჯების ჩასმისათვის აუცილებელი შემდეგი მონაცემები:

- ხიმინჯებზე მოსული დატვირთვების (მდუნავი მომენტებისა და განივი ძალების მნიშვნელობების) სიღიდეები და მათი გადანაწილებები ხიმინჯების გასწორივ;
- განისაზღვრა და დადასტურდა ხიმინჯებზე მოსული ძვრის ძალების მიმართ შემაკავებელი ხიმინჯების ტანის ეფექტური მდგრადუნარიანობა;
- განისაზღვრა და დადასტურდა ხიმინჯებისათვის საჭირო არმირებების ტიპები, რაოდენობები და ბეტონის კლასი;
- განისაზღვრა და დადგინდა ხიმინჯების მოდელირებული წანაცვლებების სიღიდეები და მნიშვნელობები;
- განისაზღვრა ხიმინჯებთან მიმდებარე გრუნტის მოდელირებული ჯდენის მნიშვნელობები;

მეწარული სხეულების სტაბილიზაციისათვის გამოყენებული ხიმინჯოვანი ნაგებობების გაანგარიშების შედეგებისათვის იხილეთ დანართი: 9 და ასევე შესაბამისი ნახაზები.

სულ საპროექტო გზის გადამკვეთად არსებული პროექტით იდენტიფიცირებული 16 დამეწყრილი უბნიდან მეწყერ-საწინააღმდეგო ხიმინჯები გამოყენებილია მხოლოდ №2, №12, №13 და №14 მეწყერებზე, როგორც შედარებით მძლავრი და ღრმა მეწყერები, ვიდრე დანარჩენი 12, რომელიც მირთადად სხვადასხვა სიღრმის მიწისქვეშა დრენაჟების მოწყობაა გათვალისწინებული მიწის ვაკისის და ფერდის სტაბილიზაციისათვის.

ქვემოთ მოცემულია ამ ოთხივე მეწყერზე ჩატარებული გეოტექნიკური კვლევების განხოგადების, ანგარიშის შედეგების, შესაბამისი დასკვნების და საპროექტო გადაწყვეტილებების გამოყენებული მიღობები.

7.3.5. მეწყერი №02: განვითარებული საპროექტო გზის გასწვრივ კმ 9+340 – კმ 9+780

7.3.5.1. გეოტექნიკური ჭაბურღილები და გეოტექნიკური ჭრილები

დამეწყრილ უბნად იდენტიფიცირდა საპროექტო გზის გასწვრივ 440 მეტრამდე სიგრძის (გზის გასწვრივ) და 170-200 მეტრამდე სიგანის ფართობი. დამეწყრილი უბნის შესასწავლად სულ გაყვანილი იქნა 9 ჭაბურღილი, რომელთაგან:

- 3 ჭაბურღილი, თითოეულის სიღრმით $h=25.0$ მეტრი, გაყვანილი იქნა საპროექტო გზიდან ხელმარცხნივ, გზის ზედა მხარეს;
- 3 ჭაბურღილი, თითოეულის სიღრმით $h=20.0$ მეტრი, გაყვანილი იქნა საპროექტო გზიდან ხელმარჯვნივ ქვედა მხარეს (მეწყერული სხეულის დაახლოებით შეაწერა);
- 3 ჭაბურღილი, თითოეულის სიღრმით $h=15.0$ მეტრი, გაყვანილი იქნა საპროექტო გზიდან ხელმარჯვნივ მეწყერული სხეულის ქვედა მესამედ ნაწილში;

გაბურღვები გაკეთდა იმგვარად, რომ მეწყერულ სხეულის დაცურების მიმართულებებზე 3 გეოტექნიკური ჭრილი გაკეთებულიყო გზის გადამკვეთად სამ-სამ ჭაბურღილზე დაყრდნობით;

შესაბამისად, №02 მეწყერზე მივიღეთ სამი გეოტექნიკური ჭრილი კმ 9+390-ზე; კმ 9+455-ზე და კმ 9+575-ზე. სამივე ჭრილისათვის იხილეთ ნახაზები LDG-02-01, LDG-02-02, და LDG-02-03.

9 ჭაბურღილის გეოტექნიკური საგელე და ლაბორატორიული ტესტების საფუძველზე სამი ძირითადი საინჟინრო-გეოლოგიური ელემენტი იდებს მონაწილებას მეწყერული სხეულისა და მის ქვეშაგებ არსებულ ქანებად. ესენია:

სგვ №4: ელუვიურებული არგილიტი, გათიხებული, ყავისფერი და ნაცრისფერი, იშვიათად ჭრები, ძნელპლასტიკური, საშუალო და თხელშრეებრივი, შრეებს შორის გამოჟანგული, მარილის ბუდობებით და კრისტალებით, მკვრივი არგილიტის ღორღიანი ჩანართებით (საშუალო სიმდლავრით 7.0 მეტრამდე მონაცემების გასაშუალების მიხედვით);

სგვ №5: არგილიტი, ყავისფერი და ნაცრისფერი, ძლიერ გამოფიტული და ძლიერ ნაპრალოვანი, თხელ და საშუალოშრეებრივი, გათიხებული არგილიტის შუაშრეებით და ლინზებით (საშუალო სიმდლავრით მინიმუმ 8.0 მ.-მდე მონაცემების გასაშუალების მიხედვით);

სგვ №6: არგილიტი, ნაცრისფერი, გამოფიტული, ნაპრალოვანი, სხვადასხვა შრეებრივი იშვიათად გათიხებული არგილიტის შუაშრეებით; (ფენა განლაგებულია ზედაპირიდან საშუალო $h=20$ მეტრის ქვემოთ);

როგორც საველე დაბურღვების შედეგებმა აჩვენეს, ყველა ჭაბურღილში გამოვლინდა და დადგა წყალი. ჭყალი ჭაბურღილებში ამოიწია სხვადასხვა სიმაღლეზე სხვადასცვა სიჩქარით (და შესაბამისად წნევით) წყლის გამოვლენა და დადგომა აღირიცხა მხოლოდ №4 საინჟინრო გეოლოგიურ ელემენტში (სგვ-4). ანუ, გაწყლოვანებულია ფენა რომლის სიმძლავრე საშულაოდ $h=7.0$ მეტრია და რომლის ძირიც სგვ №5-თან შეხების ხდვაზეა;

საკუთრივ გაწყლოვანების საშუალო სისქე სამივე გეოტექნიკურ ჭრილში სხვადასხვაა, თუმცა სამივე ჭრილში გაწყლოვანება ფიქსირდება სგვ№4-ის შეა ნაწილში:

- ჭრილი I-I-ის გასწვრივ $h=1.3$ მეტრი სისქით და მდებაროებს სგვ№4-ის ფენის შეა ნაწილში;
- ჭრილი II-II-ის გასწვრივ $h=1.7$ მეტრი სისქით და მდებაროებს სგვ№4-ის ფენის შეა ნაწილში;
- ჭრილი III-III-ის გასწვრივ $h=1.6$ მეტრი სისქით და მდებაროებს სგვ№4-ის ფენის შეა ნაწილში;

ქვემოთ დეტალურად არის განხილული 4 დამეწყრილი მონაკვეთისთვის შემუშავებული საპროექტო დონისძიებები. დანარჩენ უბნებზე საპროექტო გადაწყვეტილებების და დონისძიებების შესახებ ინფორმაცია იხილეთ შესაბამის ნახაზებზე და უწყისებში.

7.3.5.2. №02 მეწყრის სიმძლავრე და ჩაღრმავებები

Geo-5-ის “ფერდის სტაბილურობის” და “ანტი-მეწყული ხიმინიჯების” პროგრამული მოდულების საშუალებით მოხერხდა მეწყრული სხეულის “დაცურების რეალური ზედაპირების” (ყველაზე კრიტიკული ზედაპირების) იდენტიფიცირება სამივე ჭრილის შემთხვევისათვის. როგორც პროგრამულმა ანალიზმა აჩვენა, “დაცურების ზედაპირები” თითოეული ჭრილისათვეს შემდეგნაირადა:

- ჭრილი I-I-ის გასწვრივ რელიეფის ზედაპირდან უდიდესი ჩაღრმავებით $h=10.25$ მეტრზე და ფენა მდებარეობს სგვ-4-სა და სგვ-5-ს შორის მდებარე საზღვრზე; ხოლო დაცურების რეალის ქორდული სიგრძე რელიეფის ზედაპირზე დაახლოებით 130 მეტრია;
- ჭრილი II-II-ის გასწვრივ რელიეფის ზედაპირდან უდიდესი ჩაღრმავებით $h=12.65$ მეტრზე და ფენა მდებარეობს სგვ-სა და სგვ №5-ს შორის მდებარე საზღვრზე; ხოლო დაცურების რეალის ქორდული სიგრძე რელიეფის ზედაპირზე დაახლოებით 120 მეტრზე მეტია;
- ჭრილი III-III-ის გასწვრივ რელიეფის ზედაპირდან უდიდესი ჩაღრმავებით $h=13.0$ მეტრზე და ფენა მდებარეობს სგვ-4-სა და სგვ-5-ს შორის მდებარე საზღვრზე; ხოლო დაცურების რეალის ქორდული სიგრძე რელიეფის ზედაპირზე 110 მეტრამდე;

7.3.5.3. საპროექტო დასკვნები და გადაწყვეტილება მეწყერი №02-ისთვის:

თოპოგრაფიული აზომვებიდან, საველე გეოლოგიური გაბურღვების შედეგებიდან და გრუნტის ნიმუშებიდან აღებული გეოტექნიკური მონაცემების საფუძველზე დაყრდნობით, შეიძლება ითქვას, რომ სამივე გეოტექნიკური ჭრილი (ჭრილები იხილეთ ქვემოთ) ურთიერთ-შემავსებული და დამადასტურებული მონაცემებით განაზოგადებს მეწყრული სხეულის დაცურების ბუნებას შემდეგნაირად:

1. მეწყრული სხეულის საშუალო სიგრძე გამოხატული მეწყრული სხეულის დაცურების რეალის ქორდული სიგრძეები რელიეფის ზედაპირზე საშუალოდ 120 მეტრამდე;
2. მეწყრული სხეულის ზედა მეოთხედში მდებარეობს საპროექტო გზა;
3. ტოპოგრაფიულად, საპროექტო გზა და მიმდებარე დამეწყრილი უბანი წყალგამყოფი ქედის თხემთან ახლოს, დასავლეთ ფერდზე მდებარეობს.
4. მიუხედავად მეწყრული სხეულის წყალგამყოფ ფერდზე მდებარეობისა, უკლებლივ ყველა ჭაბურღილში გამოვლინდა, ჩადგა და ამოიწია წყლის დონეები ჭაბურღილებში სხვადასხვა ინტენსიობით და წნევით.
5. წყლის გამოვლენილ და დამდგარ დონეებს შორის საშუალო სხვაობა მერყვობს 0.1 მეტრიდან 3.6 მეტრამზე სიმაღლით.
6. გაწყლოვანებულულია სგვ-4 (საშუალო სიმძლავრით $h=7.0$ მეტრი), და გაწყლოვანება გავრცელებულია სგვ-4-ის შეა წელში ძირითადად $h=1.3$ მეტრიდან - $h=1.7$ მეტრამდე სიმძლავრით;

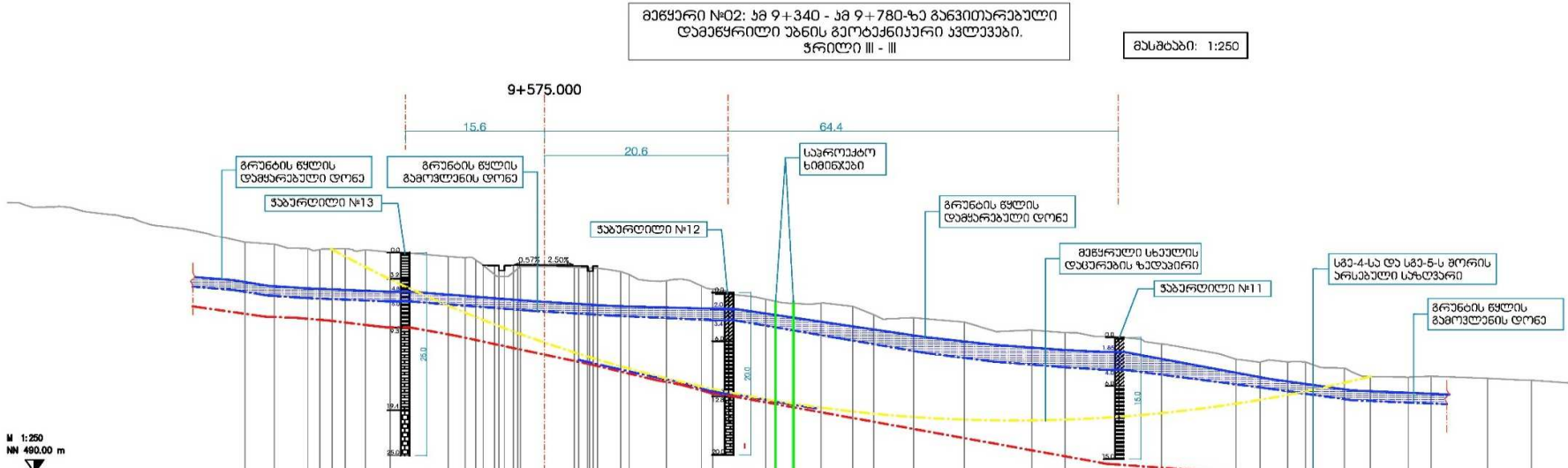
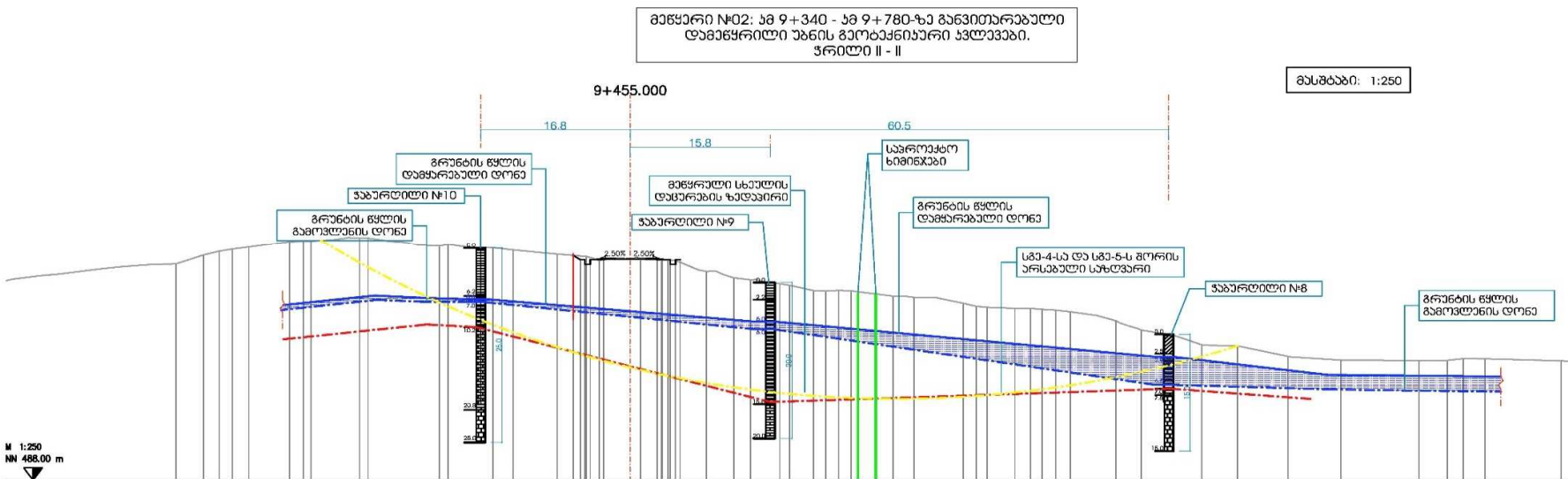
7. გაწყლოვანება გამოწვეულია ძირითადად შემოღინებული გრუნტის წყლებით, თუმცა, რელეფის ბურცობები, ბზარები და მცირე დეპრესიები წვიმების დროს უდავოდ ხელს უწოდს სგე-4-ის გაწყლოვანებას ზედაპირული წყლების საშუალებითაც;
8. დაცურების ზედაპირი რკალური ხასიათისაა – რადგანაც მეწყერი თიხოვან ფენაშია განვითარებული;
9. დაცურების რკალური ჩაღრმავება რელიეფის ზედაპირიდან $h=10.25$ -დან $h=13.0$ მეტრ სიღრმემდე ჩადის;
10. დაცურების ზედაპირი ზოგადად ემთხვევა სგე-4-სა და სგე-5-ს შორის გამავალ საზღვარს. სხვა სიტყვებით რომ ვთქვათ, „ელუვირებული, გათიხებული და გადატენიანებული (სველი) არგილიტი“ ცურავს ნელ-ნელა „ძლიერ ნაპრალოვანი გამოფიტული არგილიტის“ ფენაზე;

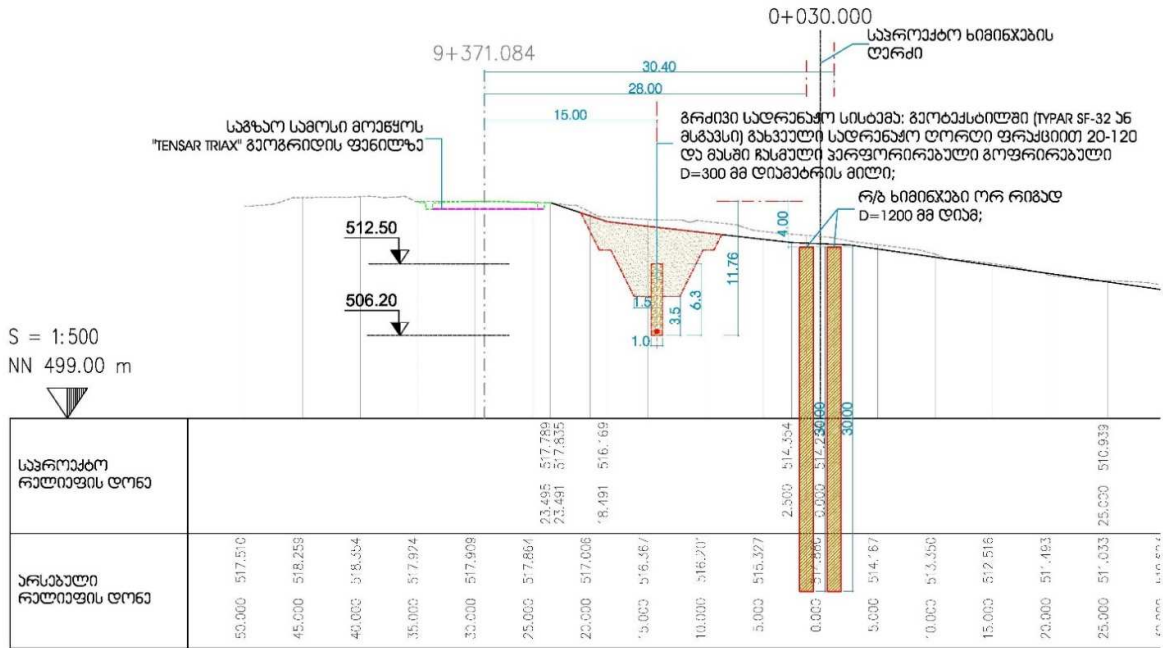
დამეწყრილი უბანი №2-ის დასტაბილიზებისათვის ზემოთ მოყვანილ შედეგებზე დაყრდნობით შემდეგი საპროექტო გადაწყვეტილებებია შეთავაზებული:

1. მეწყრული სხეულზე დრმა მიწისქვეშა დრენაჟების მოწყობა როგორც გზის გასწვრივ (გზიდან ხელმარჯვნივ, ქვედა მხარეს) ისე განივი მიმართულებებით, რითაც ძირითადად უნდა მოიხსნას სგე-4-ის გაწყლოვანება და, რაც აუცილებლად შეამცირებს გაწყლოვანებით გამოწვეული მამოძრავებელი გრავიტაციული ძალის სიღრმეს;
2. მიწისქვეშა დრმა დრენაჟის ძირი უნდა დავიდეს სგე-5-ის ზედაპირამდე, ანუ დაცურების ზედაპირის ჩათვლით;
3. განივის დრენაჟების საშუალებით უნდა მოხდეს დრენირებული გრუნტის წლების გამოიტანა $L_1=200$ მეტრის, $L_2=125$ მეტრის და $L_3=100$ მეტრიანი სადრენაჟო მიმართულებებით ხევში საპროექტო გზიდან 220 მეტრით დაშორებაზე (იხილეთ შესაბამისი ნახაზი LDP-02-01);
4. როგორც პროგრამული კალკულაცია აჩვენებს, მხოლოდ განივი დრენაჟით ასეთი დიდი მეწყრის სტაბილიზაცია ვერ ხერხდება, რადგან უსაფრთხოების კოეფიციენტი უნდა აქმაყოფილებზერ პირობას $SF_s > 2.0$; ფერდის სტაბილურობის მაჩვენებლები კი მხოლოდ დრმა დრენაჟების (შესრულებული „ფერდის სტაბილურობის“ მოდულში) მოწყობით შემდეგია: $SF_s = 1.73$ ჭრილი I-I-ისთვის; $SF_s = 1.61$ ჭრილი II-II-ისთვის; და $SF_s = 1.47$ ჭრილი III-III-ისთვის;
5. შესაბამისად, ანტი-მეწყრული რკინა-ბეტონის ხიმინჯების მოწყობაა შეთავაზებული ფერდის სტაბილურობის უზრუნველსაყოფად. რაც პროგრამულად $D=1200$ მმ დიამეტრის და $L=30.0$ მეტრი სიგრძით განისაზღვრა თითოეული ხიმინჯისთვის. ხიმინჯების განლაგება ორ რიგადაა გათვალისწინებული, რიგების ურითერთ-წანაცვლების მეთოდით;
6. ჭრილი I-I-ისთვის: ფერდის მდგრადობის უსაფრთხოების კოეფიციენტი $SF_s = 2.65$ -ია; ხიმინჯების მაქსიმალური პორიზონტალური გადაადგილება 4 მმ-ია და ხიმინჯების უკან გრუნტის მაქსიმალური ჩაჯდენის სიღრიდე 4 მმ-ია. ჭრილი II-II-ისთვის: ფერდის სტაბილურობის უსაფრთხოების კოეფიციენტი $SF_s = 2.51$ -ია; ხიმინჯების მაქსიმალური პორიზონტალური გადაადგილება 16.3 მმ-ია და ხიმინჯების უკან გრუნტის მაქსიმალური ჩაჯდენის სიღრიდე 7.5 მმ-ია. ჭრილი III-III-ისთვის: ფერდის სტაბილურობის უსაფრთხოების კოეფიციენტი $SF_s = 2.19$ -ია; ხიმინჯების მაქსიმალური პორიზონტალური გადაადგილება 6.8 მმ-ია და ხიმინჯების უკან გრუნტის მაქსიმალური ჩაჯდენის სიღრიდე 3.1 მმ-ია.
7. ანტი-მეწყრული რკინა-ბეტონის ხიმინჯების გაანგარიშება სამივე გეოტექნიკური ჭრილისათვის თანადართულია საინჟინრო ანგარიშზე. იხილეთ დანართი 9.
8. დამეწყრილი ზედაპირის პროფილირება და მოშანდაკება შეთავაზებული იმისათვის, რომ არსებულ დეფორმირებულ ზედაპირზე ადარ დარჩეს დაჭაობებული ადგილები (რელიეფის დეპრესიები) და ზედაპირიდან მოსული ნალექების დროული მოცილება მოხდებს. პროფილირება-მოშანდაკება ძირითადად გრუნტის გადატენით მეწყრული სხეული ქვედა მოთხედშია დაგეგმილი, როგორც ეს LDC-02-01/33 სერიის ნახაზებზე ნაჩვენები.
9. იმდენად რამდენადც საპროექტო გზის მიწის ვაკისი მდებარეობს დეფორმირებულ სგე-4-ზე, როგორც ეს გეოტექნიკურ ანგარიშზია მოცემული, შეთავაზებულია გეოგრიდის ფენილზე საგზაო სამოსის მოწყობა „Tensar Triax-160“-ის (ან მსგავსი მახასიათებლების მქონე) სახით რომელის უჯრედებიც ტოლგაერდა სამუჟოთხა ფორმისაა, და შესაბამისად მასზე მოსულ დატენირებებს თანაბრად გადაანაწილებს ყველა მიმართულებით.
10. გზის ზედაპირიდან გაღმოსული წყლების კონტროლისათვის ორივე მხარეს რ/ბ სადრენაჟო არხებია შეთავაზებული;

შეთავაზებული საპროექტო გადაწყვეტილებები ასახულია მეწყერი №2-ის
რეაბილიტაციის შესაბამის ნახაზებზე

ქვემოთ თანდართულია მეწყერი №02-ზე გაყვანილი ჭაბურდილების გასწვრივ გამავალი
გეოტექნიკური ჭრილების პროფილები მდებარე: კმ 9+390-ზე კმ 9+455-ზე და კმ 9+575ზე;
ასევე, მოცემულია ტიპური შეთავაზებული მიწისქვეშა ლრმა დრენაჟის განივაგეთი
ხიმინჯებთან ერთად.





7.3.6. მეწყერი #12: განვითარებული საპროექტო გზის გასწვრივ კმ 17+270 – კმ 17+420

7.3.6.1. გეოტექნიკური ჭაბურღილები და გეოტექნიკური ჭრილები

დამეწყრილ უბნად იდენტიფიცირდა 150 მეტრამდე სიგრძის (გზის გასწვრივ) და 130-მეტრამდე სიგანის ფართობი. დამეწყრილ უბანზე სულ გაყვანილი იქნა 4 ჭაბურღილი, რომელთაგან:

- 2 ჭაბურღილი, თოთოეულის სიჭრმით $h=20.0$ მეტრი, გაყვანილი იქნა საპროექტო გზაის მარჯვენა საგალ ნაწილზე;
- 2 ჭაბურღილი, თოთოეულის სიჭრმით $h=15.0$ მეტრი, გაყვანილი იქნა საპროექტო გზიდან სელმარჯვნივ ქვედა მხარეს, ფერდის ძირში;

გაბურღვები გაკეთდა იმგვარად, რომ მეწყრულ სხეულის დაცურების მიმართ უდებებზე ორი გეოტექნიკური ჭრილი გაპეტებულიყო (გზის გადამკვერთად) ჭაბურღილებიდან მიღებულ მონაცემებზე დაყრდნობით;

შესაბამისად, №12 მეწყერზე მივიღეთ ორი გეოტექნიკური ჭრილი კმ 17+340-ზე; კმ 17+405-ზე. ორივე ჭრილისათვის იხილეთ ნახაზები LDG-12-01 და LDG-12-02.

4 ჭაბურღილის გეოტექნიკური სავალე და ლაბორატორიული ტესტების შედეგების საფუძველზე დაყრდნობით ორი ძირითადი საინჟინრო-გეოლოგიური ელემენტი იღებს მონაწილებას მეწყრული სხეულისა და მის ქვეშაგებას არსებულ ქანებად. ესენია:

სგვ №4: ელუვირებული არგილიტი, გათიხებული, ყავისფერი და ნაცრისფერი, იშვიათად ჭრები, ძნელკლასტიკური, საშუალო და თხელშრეებრივი, შრეებს შორის გამოვანგული, მარილის ბუდობებით და კრისტალებით, მკვრივი არგილიტის ღორღის ჩანართებით (საშუალო სიმძლავრით 8.0 მეტრამდე)

მონაცემების გასაშუალების მიხედვით);

სგე №5: არგილიტი, ყავისფერი და ნაცრისფერი, ძლიერ გამოფიტული და ძლიერ ნაპრალოვანი, თხელ და საშუალოშრებრივი, გათიხებული არგილიტის შუაშრებით და ლინზებით (საშუალო სიმძლავრით მინიმუმ 6.0 მეტრი მონაცემების გასაშუალების მიხედვით);

როგორც საველე დაბურღვების შედეგებმა აჩვენეს, ყველა ჭაბურღილში გამოვლინდა და დადგა წყალი. წყლის გამოვლენა და დადგომა აღირიცხა მხოლოდ სგე-4-ში. ანუ, გაწყლოვანებულია ფენა რომლის სიმძლავრე $h=8.0$ მეტრია და რომლის ძირიც სგე-5-თან შეხების ზღვარზეა და რელიეფის ზედაპირიდან საშუალოდ 8.5 მეტრამდე ჩაღრმავებაშია;

საკუთრივ გაწყლოვანების საშუალო სისქე ორივე გეოტექნიკურ ჭრილში სხვადასხვაა, თუმცა ორივე ჭრილში გაწყლოვანება ფიქსირდება სგე-4-ის შუა ნაწილში:

- ჭრილი I-I-ის გასწვრივ საშუალოდ $h=3.1$ მეტრი სისქით და მდებაროებს სგე-4-ის ძირში სგე-5-თან უშუალოდ შეხებამდე;
- ჭრილი II-II-ის გასწვრივ $h=1.2$ მეტრი-დან $h=7.0$ მეტრამდე სისქით და მდებაროებს სგე-4-ის ძირში სგე-5-თან უშუალოდ შეხებამდე;

7.3.6.2. №12 მეტრის სიმძლავრე და ჩაღრმავებები

Geo-5-ის “ფერდის სტაბილურობის” და “ანტი-მეტყული ნიმინიჯების” პროგრამული მოდულების საშუალებით მოხერხდა მეტყული სხეულის დაცურების რკალური ზედაპირების ოპტიმიზებული ზედაპირების (ყველაზე კრიტული ზედაპირების) იდენტიფიცირება ორივე ჭრილის შემთხვევისათვის. როგორც პროგრამულმა ანალიზმა აჩვენა, დაცურების ზედაპირები შემდეგნაირად:

- ჭრილი I-I-ის გასწვრივ რელიეფის ზედაპირიდან უდიდესი ჩაღრმავებით $h=9.65$ მეტრზე და ფენა მდებარეობს სგე-4-სა და სგე-5-ს შორის მდებარე საზღვარზე; ხოლო დაცურების რკალის ქორდული სიგრძე დაახლოებით 120 მეტრია;
- ჭრილი II-II-ის გასწვრივ რელიეფის ზედაპირიდან უდიდესი ჩაღრმავებით $h=9.0$ მეტრზე და ფენა მდებარეობს სგე-4-სა და სგე-5-ს შორის მდებარე საზღვარზე; ხოლო დაცურების რკალის ქორდული სიგრძე დაახლოებით 130 მეტრია;

7.3.6.3. საპროექტო დასკვნები და გადაწყვეტილება მეტყერი №12-ისთვის:

საველე გეოლოგიური გაბურღვების შედეგებიდან და გრუნტის ნიმუშებიდან აღებული გეოტექნიკური მონაცემების საფუძველზე დაყრდნობით, შეიძლება ითქვას, რომ ორივე გეოტექნიკური ჭრილი (იხილეთ ქვემოთ) ურთიერთ-შემავსებული და დამადასტურებელი მონაცემებით განაზოგადებს მეტყული სხეულის დაცურების ბუნებას შემდეგნაირად:

1. მეტყული სხეულის საშუალო სიგრძე გამოხატული მეტყული სხეულის დაცურების რკალის ქორდული სიგრძე რელიეფის ზედაპირზე საშუალოდ 120-130 მეტრია;
2. მეტყული სხეულის ზედა მეტყულები მდებარეობს საპროექტო გზა;
3. ტოპოგრაფიულად, საპროექტო გზა წყალგამყოფი ქედის თხემზე გადის და მიმდებარე დამეტყრილი უბანი მისგან ხელმარჯვნივ ქვემოთ დასავლეთ ფერდზე განვითარებული;
4. მიუხედავად მეტყული სხეულის წყალგამყოფ ფერდის თხემზე მდებარეობისა, უკლებლივ ყველა ჭაბურღილში გამოვლინდა, ჩაღგა და ამოიწია წყლის დონეები ჭაბურღილებში სხვადასხვა ინტენსივით და წნევით.
5. წყლის გამოვლენილ და დამდგარ დონეებს შორის საშუალო სხვაობა მერყეობს 3.0-დან 7.0 მეტრებით ფარგლებში;
6. გაწყლოვანებულულია სგე-4-ის (სიმძლავრით საშუალოდ $h=8.0$ მეტრი) შუა და ქვედა ნაწილი, და გაწყლოვანება გავრცელებულია სგე-5-ის ზედაპირამდე;
7. გაწყლოვანება გამოწვეულია ძირითადად შემონიებული გრუნტის წყლებით, თუმცა, რელიეფის ბურცვები, ბზარები და მცირე დეპრესიები წვიმების დროს უდავოდ ხელს უწყობს სგე-4-ის გაწყლოვანებას ზედაპირული წყლების საშუალებითაც;

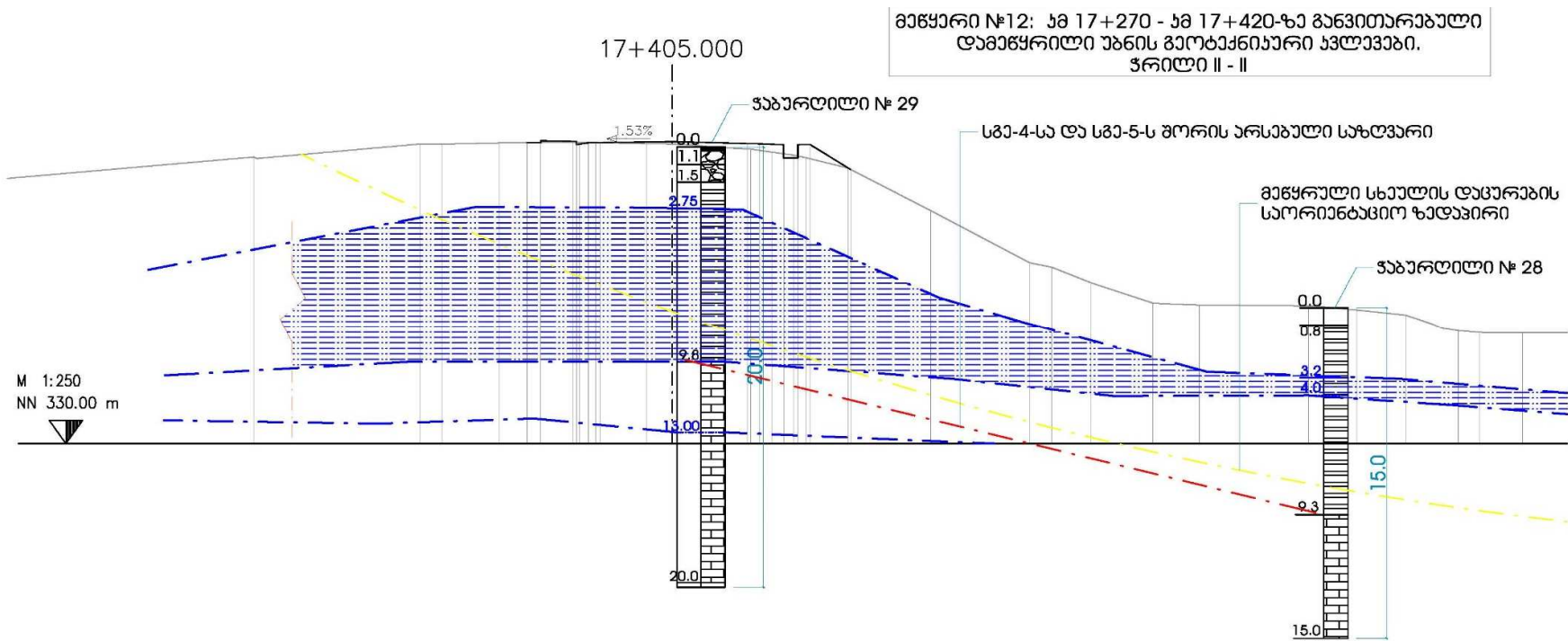
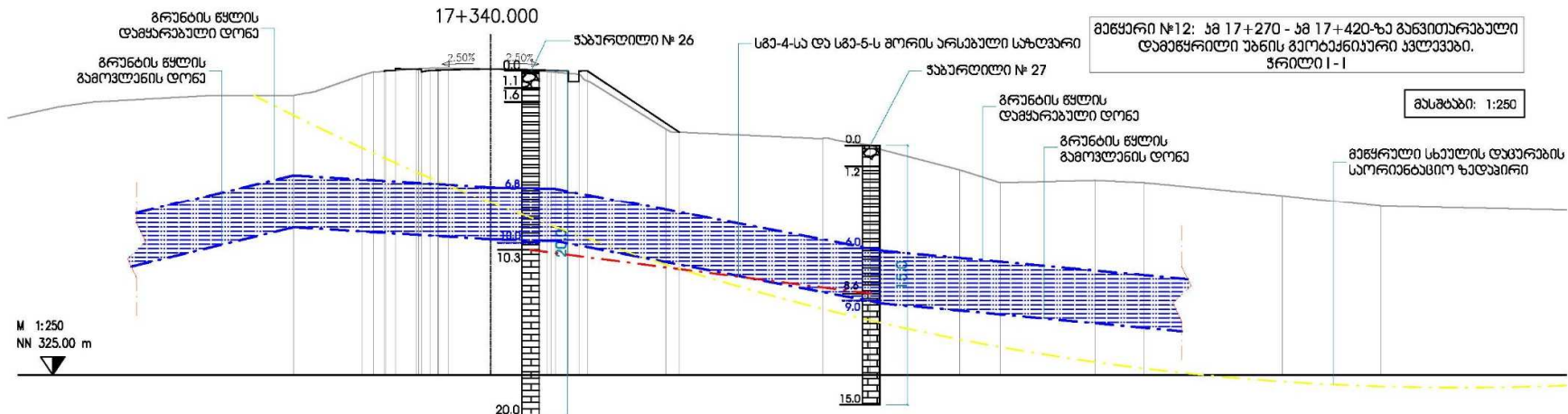
8. დაცურების ზედაპირი რკალური ხასიათისაა – რადგანაც მეწყერი თიხოვან ფენაშია განვითარებული;
9. დაცურების რკალური ჩაღრმავება რელიეფის ზედაპირიდან $h=9.65$ მეტრ სიღრმემდე ჩადის;
10. დაცურების ზედაპირი ზოგადად ემთხვევა სგვ-4-სა და სგვ-5-ს შორის გამავალ საზღვარს. სხვა სიტყვებით რომ ვთქვათ, “ელუვირებული, გათიხებული და გადატენიანებული (სველი) არგილიტი” ცურავს ნელ-ნელა “ძლიერ ნაპრალოვანი გამოფიტული არგილიტის” ფენაზე;

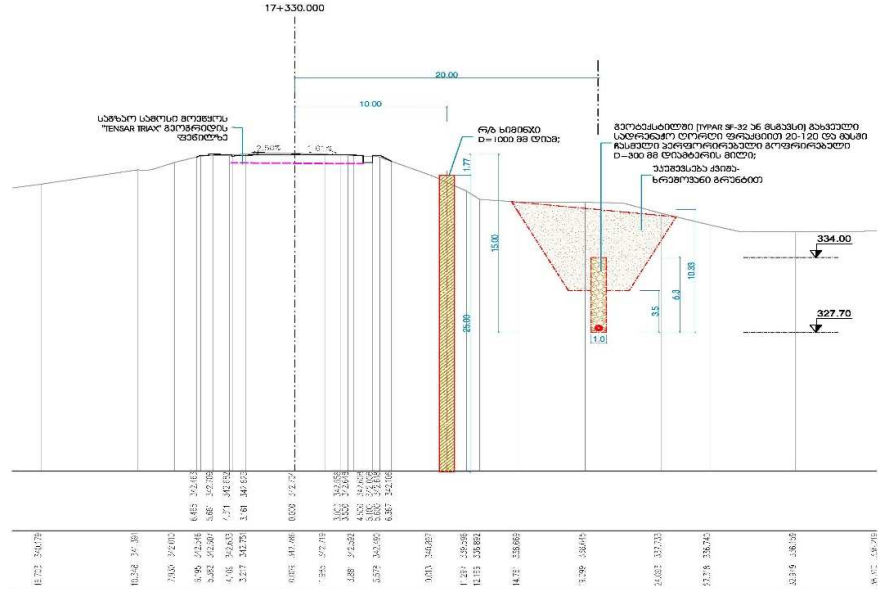
ზემოთმოყვანილი დაკავირვებების საფუძველზე მეწყერული სხეული სტაბილიზაციისათვის შემდეგი საპროექტო გადაწყვეტილებებია შეთავაზებული:

1. მეწყერული სხეულზე დრმა მიწისქვეშა დრენაჟის მოწყობა გზის გასწვრივ (გზიდან სელმარჯვნივ, ქვედა მხარეს) ისე განივი მმართულებებით ერთ გამოსასვლელზე, როთაც ძირითადად უნდა მოიხსნას სგვ-4-ის გაწყლოვანება და, რაც შეამცირებს გაწყლოვანებით გამოწვეული მამოძრავებელი გრავიტაციული ძალის სიდიდეს;
2. მიწისქვეშა დრმა დრენაჟის ძირი უნდა დავიდეს სგვ-5-ის ზედაპირამდე, ანუ დაცურების ზედაპირის ჩათვლით;
3. განივი-დამცლელი დრენაჟის საჭუალებით უნდა მოხდეს დრენირებული გრუნტის წყლების გამოიტანა $L_1=105$ მეტრი სიგრძის დახურული მიწისქვეშა დრმა და 30 მეტრი სიგრძის დია სადორენაჟო მმართულებებით სევში, მდებარე საპროექტო გზიდან 150 მეტრებდე დაშორებაზე;
4. როგორც პროგრამული კალკულაცია აჩვენებს, მხოლოდ განივი დრენაჟით ასეთი დიდი მეწყრის სტაბილიზაცია ვერ ხერხდება, რადგან უსაფრთხოების კოეფიციენტი უნდა იყოს მინიმუმ $SF_s > 2.0$ და მეტი; ფერდის სტაბილურობის მაჩვენებელი კი მხოლოდ დრმა დრენაჟების (შესრულებული “ფერდის სტაბილურობის” მოდულში) მოწყობით შემდეგია: $SF_s > 1.9$
5. შესაბამისად, ანტი-მეწყერული რკინა-ბეტონის ხიმინჯების მოწყობაა შეთავაზებული ფერდის სტაბილურობის უზრუნველსაყოფად. რაც პროგრამულად $D=1000$ მმ დიამეტრის და $L=25.0$ მეტრი სიგრძით განისაზღვრა თითოეული ხიმინჯისთვის. რკინა-ბეტონის ხიმინჯების განლაგება ერთ რიგადაა გათვალისწინებული;
6. ფერდის მდგრადობის უსაფრთხოების კოეფიციენტი $SF_s = 2.18$ -ია; ხიმინჯების მაქსიმალური პორიზონტალური გადაადგილება 11.9 მმ-ია და ხიმინჯების უკან გრუნტის მაქსიმალური ჩაჯდენის სიდიდე 10.1 მმ-ია.
7. ანტი-მეწყერული რკინა-ბეტონის ხიმინჯების გაანგარიშება გეოტექნიკური ჭრილისათვის თანდართულია საინჟინირო ანგარიშზე. იხილეთ დანართი 9.
8. იმდენად რამდენადაც საპროექტო გზის მიწის ვაკისი მდგბარეობს დეფორმირებულ სგვ-4-ზე, როგორც ეს გეოტექნიკურ ანგარიშშია, შეთავაზებულია გეოგრიდის ფენილზე საგზაო სამოსის მოწყობა “Tensar Triax-160”-ის (ან მსგავსი მახასიათებლების მქონე) სახით რომლის უჯრედებიც ტოლდებულია სამკუთხა ფორმისაა, და შესაბამისად მასზე მოსულ დატვირთვებს თანაბრად გადაანაწილებს ყველა მიმართულებით.
9. გზის ზედაპირიდან გადმოსული წყლების კონტროლისათვის ორივე მხარეს რ/ბ სადორენაჟო არხებია შეთავაზებული;

შეთავაზებული საპროექტო გადაწყვეტილებები ასახულია მეწყერი №12-ის რეაბილიტაციის შესაბამის ნახაზებზე

ქვემოთ თანდართულია მეწყერი №12-ზე გაყვანილი ჭაბურღლილების გასწვრივ გამავალი გეოტექნიკური ჭრილების პროფილები მდებარე: კმ 17+340-ზე და კმ 17+405ზე; ასევე, მოცემულია ტიპური შეთავაზებული მიწისქვეშა დრმა დრენაჟის განივავეთი ხიმინჯთან ერთად.





7.3.7. მეწყერი #13: განვითარებული საპროექტო გზის გასწვრივ კმ 17+555 – კმ 17+630

7.3.7.1 გეოტექნიკური ჭაბურღლილები და გეოტექნიკური ჭრილები

დამეწურილ უბნად იდენტიფიცირდა 75 მეტრამდე სიგრძის (გზის გასწვრივ) და 120 მეტრამდე სიგანის ფართობი. დამეწურილ უბანზე სულ გაყვანილი იქნა 2 ჭაბურღლილი, თითოეულის სიღრმით $h=15.0$ მეტრი საპროექტო გზის სავალი ნაწილის მარჯვენა ზოლში. ასევე, დამეწურილი უბნის ქვედა მხარს გზიდან ხელმარჯვნივ გაყვანილი იქნა ორი მცირე დიამტერის ჭაბურღლილი ($h=5.0$ მ და $h=6.5$ მ) პერკუსიის მეთოდით.

გაბურღლვები გაკეთდა იმგვარად, რომ მეწყრულ სხეულის დაცურების მიმართ ულებებზე 2 გეოტექნიკური ჭრილი გაკეთებულიყო (გზის გადამკვეთად) ჭაბურღლილებიდან მიღებულ მონაცემებზე დაყრდნობით;

შესაბამისად, #13 მეწყერზე მივიღეთ ორი გეოტექნიკური ჭრილი კმ 17+580-ზე; და კმ 17+610-ზე. ორივე ჭრილისათვის იხილეთ ნახაზები LDG-13-01 და LDG-13-02.

4 ჭაბურღლილის გეოტექნიკური საველე და ლაბორატორიული ტესტების შედეგების შედეგების საფუძველზე ორი ძირითადი საინჟინრო-გეოლოგიური ელემენტი იღებს მონაწილებას მეწყრული სხეულისა და მის ქვეშსაგებ არსებულ ქანებად. ესენია:

სგვ-4: ელუვირებული არგილიტი, გათიხებული, ყავისფერი და ნაცრისფერი, იშვიათად ჭრელი, ძნელპლასტიკური, საშუალო და თხელშრეებრივი, შრეებს შორის გამოჟანგული, მარილის ბუდობებით და კრისტალებით, მკვრივი არგილიტის დორდის ჩანართებით (საშუალო სიმძლავრით 10.0 მეტრამდე მონაცემების გასაშუალების მიხედვით);

სგვ-5: არგილიტი, ყავისფერი და ნაცრისფერი, ძლიერ გამოფიტული და ძლიერ ნაპრალვანი, თხელ და საშუალო შრეებრივი, გათიხებული არგილიტის შუაშრეებით და ლინზებით (საშუალო სიმძლავრით მინიმუმ 5.0 მეტრი მონაცემების გასაშუალების მიხედვით);

როგორც საველე დაბურღლვების შედეგებმა აჩვენეს, ყველა დიდ და მცირე დიამეტრის (პერკუსია) ჭაბურღლილში გამოვლინდა და დადგა წყალი. წყლის გამოვლენა და დადგომა აღირიცხა მხოლოდ სგვ-4-ის საინჟინრო გეოლოგიურ ელემენტში. ანუ,

გაწყლოვანებულია ფენა რომლის სიმძლავრე საშიალოდ $h=10.0$ მეტრია და რომლის ძირიც სგე-5-თან შეხების ზღვარზეა და რელიეფის ზედაპირიდან საშუალოდ 10.0 მეტრამდე ჩაღრმავებაშია;

საკუთრივ გაწყლოვანების საშუალო სისქე გეოტექნიკურ ჭრილში 3.6 მეტრი და 4.3 მეტრია, და თანაც ორივე ჭრილში გაწყლოვანება ფიქსირდება სგე-4-ის შუა ქვედა ძირში სგე-5-თან შეხების ზედაპირზე:

- ჭრილი I-I-ის გასწვრივ $h=3.7$ მეტრამდე სისქით და მდებაროებს სგე-4-ის ძირში სგე-5-თან უშუალოდ შეხებამდე;
- ჭრილი II-II-ის გასწვრივ $h=4.2$ მეტრი სისქით და მდებაროებს სგე-4-ის ძირში სგე-5-თან უშუალოდ შეხებამდე;

7.3.7.2 №13 მეწყრის სიმძლავრე და ჩაღრმავებები

Geo-5-ის “ფერდის სტაბილურობის” და “ანტი-მეწყრული ხიმინიჯების” პროგრამული მოდულების საშუალებით მოხერხდა მეწყრული სხეულის დაცურების რკალური, ოპტიმიზებული ზედაპირის (ყველაზე პრიტიკული) იდენტიფიცირება ორივე ჭრილის შემთხვევისათვის. როგორც პროგრამულმა ანალიზმა აჩვენა, დაცურების ზედაპირები შემდეგნაირად:

- ჭრილი I-I-ის გასწვრივ რელიეფის ზედაპირიდან უდიდესი ჩაღრმავებით $h=11.2$ მეტრზე და ფენა მდებარეობს სგე-4-სა და სგე-5-ს შორის მდებარე საზღვარზე; ხოლო დაცურების რკალის ქორდული სიგრძე დაახლოებით 50 მეტრია;
- ჭრილი II-II-ის გასწვრივ რელიეფის ზედაპირიდან უდიდესი ჩაღრმავებით $h=11.5$ მეტრზე და ფენა მდებარეობს სგე-4-სა და სგე-5-ს შორის მდებარე საზღვარზე; ხოლო დაცურების რკალის ქორდული სიგრძე დაახლოებით 60 მეტრია;

7.3.7.3 საპროექტო დასკვნები და გადაწყვეტილება მეწყრი #13-ისთვის:

საკელე გეოლოგიური გაბურღვების შედეგებიდან და გრუნტის ნიმუშებიდან აღებული გეოტექნიკური მონაცემების საფუძველზე დაყრდნობით, შეიძლება ითქვას, რომ ორივე გეოტექნიკური ჭრილი (ჭრილები იხილეთ ქვემოთ) ურთიერთ-შემავსებული და დამადასტურებული მონაცემებით განაზოგადებს მეწყრული სხეულის დაცურების ბუნებას შემდეგნაირად:

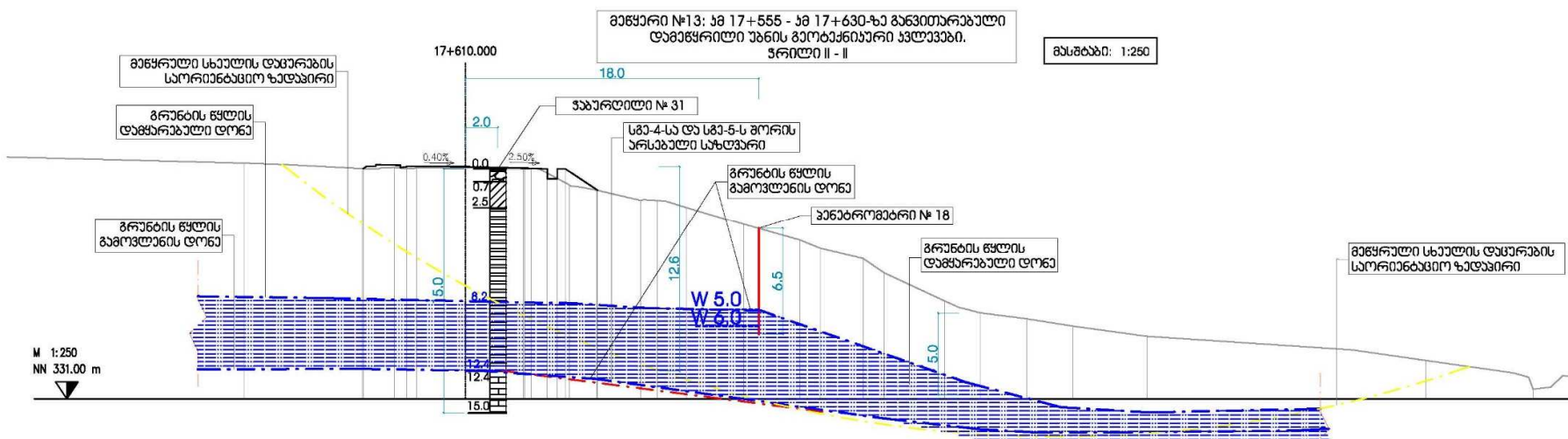
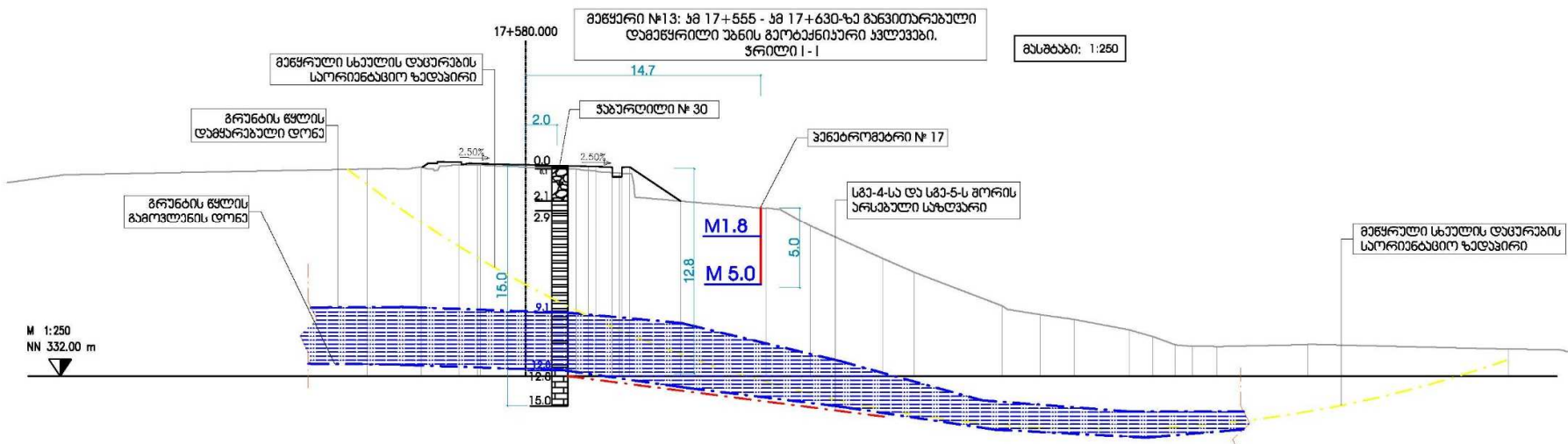
1. მეწყრული სხეულის საშუალო სიგრძე გამოხატული მეწყრული სხეულის დაცურების რკალის ქორდული სიგრძე რელიეფის ზედაპირზე დაახლოებით 60 მეტრამდე;
2. მეწყრული სხეულის ზედა მეოთხედში მდებარეობს საპროექტო გზა;
3. ტპოგრაფიულად, საპროექტო გზა წყალგამყოფი ქვეის თხემზე გადის და მიმდებარე დამეწყრილი უბანი მისგან სელმარჯვნივ ქვემოთ დასაკლევთ ფერდზე მდებარეობს.
4. მიუხედავად მეწყრული სხეულის წყალგამყოფ ფერდზე მდებარეობისა, უკლებლივ ყველა დიდ და მცირე (პერკუსი) ჭაბურლილში გამოვლინდა, ჩადგა და ამოიწია წყლის დონეები ჭაბურლილებში სხვადასხვა ინტენსივობით და წნევით.
5. წყლის გამოვლენილ და დამდგარ დონეებს შორის საშუალო სხვაობა მერყეობს 3.7-4.2 მეტრის ფარგლებში.
6. გაწყლოვანებულულია სგე-4-ის (საშუალო სიმძლავრით 10.0 მეტრი) შუა და ქვედა ნაწილი, და გაწყლოვანება გავრცელებულია სგე-5-ის ზედაპირამდე;
7. გაწყლოვანება გამოწევეულია ძირითადად შემოდინებული გრუნტის წყლებით. თუმცა, რელეფის ბურცობები, ბზარები და მცირე დეპრესიები წვიმების დროს უდავოდ ხელს უწყობს სგე-4-ის გაწყლოვანებას ზედაპირული წყლების საშუალებითაც;
8. დაცურების ზედაპირი რკალური ხასიათისაა – რადგანაც მეწყრი თიხოვან ფენაშია განვითარებული;
9. დაცურების რკალური ჩაღრმავება რელიეფის ზედაპირიდან $h=10.9$ მეტრ სიღრმემდე ჩადის;
10. დაცურების ზედაპირი ზეგადად ემთხვევა სგე-4-სა და სგე-5-ს შორის გამავალ საზღვარს. სხვა სიტყვებით რომ ვთქვათ, “ელუვირებული, გათიხებული და გადატენიანებული (სველი) არგილიტი” ცურავს ნელ-ნელა “ძლიერ ნაპრალოვანი გამოფიტული არგილიტის” ფენაზე;

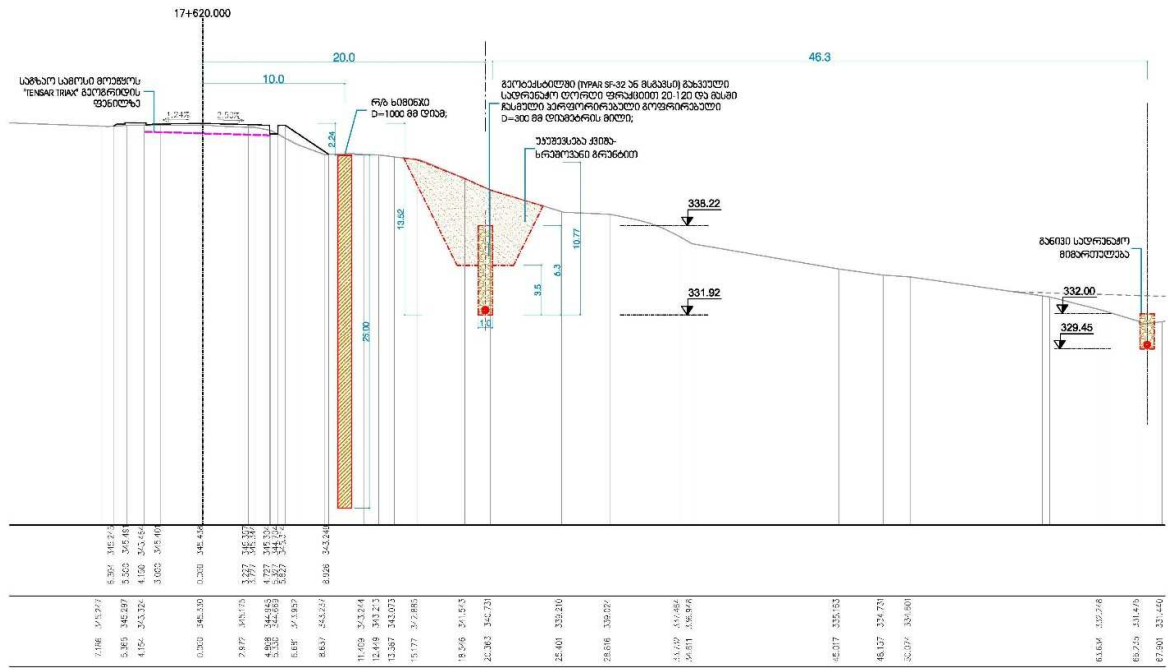
ზემოთმოვანილი დაკვირვებების საფუძველზე მეწყრული სხეული
სტაბილიზაციისათვის შემდეგი საპროექტო გადაწყვეტილებებია შეთავაზებული:

1. მეწარული სხეულზე დრმა მიწისქვეშა დრენაჟის მოწყობა გზის გასწვრივ (გზიდან ხელმარჯვნივ, ქვედა მხარეს) ისე განივი მიმართულებებით ერთ გამოსასვლელზე, როთაც ძირითადად უნდა მოიხსნას სგვ-4-ის გაწყლოვანება და, რაც შეამცირებს გაწყლოვანებით გამოწვეული მამოძრავებელი გრავიტაციული ძალის სიდიდეს;
2. მიწისქვეშა დრმა დრენაჟის ძირი უნდა დავიდეს სგვ-5-ის ზედაპირამდე, ანუ დაცურების ზედაპირის ჩათვლით;
3. განივი-დამცლელი დრენაჟის საშუალებით უნდა მოხდეს დრენირებული გრუნტის წლების გამოიტანა $L_1=102$ მეტრი სიგრძის დახურული მიწისქვეშა დრმა და $L_2=13.5$ მეტრი სიგრძის დია სადრენაჟო მიმართულებებით, რომელიც საპროექტო გზიდან პირდაპირი სიგანით 100 მეტრემდე დაშორებაზე;
4. როგორც პროგრამული კალკულაცია აჩვენებს, მხოლოდ განივი დრენაჟით ასეთი დიდი მეწყრის სტაბილიზაცია ვერ ხერხდება, თანაც უსაფრთხოების კოეფიციენტი უნდა იყოს მინიმუმ $SF_{st}>2.0$ და მეტი; ვერდის სტაბილურობის მაჩვენებელი კი მხოლოდ დრმა დრენაჟების (შესრულებული “ვერდის სტაბილურობის” მოდულში) მოწყობით შემდეგია: $SF_{st}>1.71$ ჭრილი I-I-სათვის.
5. შესაბამისად, ანტი-მეწყრული რკინა-ბეტონის ხიმინჯების მოწყობაა შეთავაზებული ფერდის სტაბილურობის უზრუნველსაყოფად. რაც პროგრამულად $D=1000$ მმ დიამეტრის და $L=25.0$ მეტრი სიგრძით განისაზღვრა თოთვეული ხიმინჯისთვის. რკინა-ბეტონის ხიმინჯების განლაგება ერთ რიგადაა გათვალისწინებული;
6. ხიმინჯების მაქსიმალური პროიზონტალური გადაადგილება 33.3 მმ-ია; ხიმინჯების უკან გრუნტის მაქსიმალური ჩაჯდენის სიდიდე 13.3მმ-ია;
7. ანტი-მეწყრული რკინა-ბეტონის ხიმინჯების გაანგარიშება გეოტექნიკური ჭრილისათვის თანდართულია საინჟინრო ანგარიშზე. იხილეთ დანართი 9.
8. იმდენად რამდენადაც საპროექტო გზის მიწის ვაკისი მდებარეობს დეფორმირებულ სგვ-ზე, როგორც ეს გეოტექნიკურ ანგარიშშია, შეთავაზებულია გეოგრიდის ფენილზე საგზაო სამოსის მოწყობა “Tensar Triax-160”-ის (ან მსგავსი მახასიათებლების მქონე) სახით რომლის უჯრედებიც ტოლგვერდა სამკუთხა ფორმისაა, და შესაბამისად მასზე მოსულ დატვირთვებს თანაბრად გადაანაწილებს უველა მიმართულებით.
9. გზის ზედაპირიდან გადმოსული წყლების კონტროლისათვის ორივე მხარეს რ/ბ სადრენაჟო არხებია შეთავაზებული;

შეთავაზებული საპროექტო გადაწყვეტილებები ასახულია მეწყრი №13-ის რეაბილიტაციის შესაბამის ნახატებზე

ქვემოთ თანდართულია მეწყერი №13-ზე გაყვანილი ჭაბურღილების გასწვრივ გამავალი გეოტექნიკური ჭრილების პროფილები მდებარე: კმ 17+555-ზე და კმ 17+630ზე; ასევე, მოცემულია ტიპური შეთავაზებული მიწისქვეშა დრმა დრენაჟის განივავეთი ხიმინჯთან ერთად.





7.3.8. მეწყერი #14: განვითარებული საპროექტო გზის გასწვრივ კმ 18+870 – კმ 19+070

7.3.8.1 გეოტექნიკური ჭაბურღლილები და გეოტექნიკური ჭრილები

დამეწყრილ უბნად იდენტიფიცირდა 200 მეტრამდე სიგრძის (გზის გასწვრივ) და 75 მეტრამდე სიგანის ფართობი. დამეწყრილ უბანზე სულ გაყვანილი იქნა 2 ჭაბურღლილი, თითოეულის სიჭრმით $h=15.0$ მეტრი საპროექტო გზის მარჯვენა სავალ ზოლში. ასევე, დამეწყრილი უბნის ქვედა მხარს გზიდან ხელმარცხნივ გაყვანილი იქნა ორი მცირე დოამტერის ჭაბურღლილი ($h=6.0$ მ და $h=6.0$ მ) პერკუსის მეთოდით.

გაბურღვები გაკეთდა იმგვარად, რომ მეწყრულ სხეულის დაცურების მიმართ ულებებზე 2 გეოტექნიკური ჭრილი გაკეთებულიყო გზის გადამკეთად ჭაბურღლილებიდან მიღებულ მონაცემებზე დაყრდნობით;

შესაბამისად, №14 მეწყერზე მივიღეთ ორიგეოტექნიკური ჭრილი კმ 18+905-ზე და კმ 19+000-ზე. ორივე ჭრილისათვის იხილეთ ნახაზები LDG-14-01 და LDG-14-02.

4 ჭაბურღლილის გეოტექნიკური საველე და ლაბორატორიული ტესტების შედეგების საფუძვლზე ორი ძირითადი საინჟინრო-გეოლოგიური კლემენტი იღებს მონაწილებას მეწყრული სხეულისა და მის ქვეშაგებ არსებულ ქანებად. ესენია:

სგე-4: ელუვირებული არგილიტი, გათიხებული, ყავისფერი და ნაცრისფერი, იშვიათად ჭრელი, ძნელპლასტიკური, საშუალო და თხელშრებრივი, შრეებს შორის გამოჟანგული, მარილის ბუდობებით და კრისტალებით, მკვრივი არგილიტის ღორღის ჩანართებით (საშუალო სიმძლავრით 10.0 მეტრამდე მონაცემების გასაშუალების მიხედვით);

სგე-5: არგილიტი, ყავისფერი და ნაცრისფერი, ძლიერ გამოფიტული და ძლიერ ნაპრალოვანი, თხელ და საშუალო შრეებრივი, გათიხებული არგილიტის შუაშრეებით და ლინზებით (საშუალო სიმძლავრით მინიმუმ 5.0 მეტრი მონაცემების გასაშუალების მიხედვით);

როგორც საველე დაბურდვების შედეგებმა აჩვენეს, ყველა დიდ და მცირე დიამეტრის (პერკუსია) ჭაბურლილში გამოვლინდა და დადგა წყალი. წყლის გამოვლენა და დადგომა აღირიცხა მხოლოდ სგე-4-ის საინიცირო გეოლოგიურ ელემენტში. ანუ, გაწყლოვანებულია ფენა რომლის სიმძლავრე $h=9.8$ მეტრია და რომლის ძირიც სგე-5-თან შეხების ზღვარზეა და რელიეფის ზედაპირიდან საშუალოდ 12.2 მეტრამდე ჩაღრმავებაშია;

საკუთრივ გაწყლოვანების საშუალო სისქე გეოტექნიკურ ჭრილში 3.6 მეტრი და 4.3 მეტრია, თუმცა I-I ჭრილში გაწყლოვანება ფიქსირდება სგე-4-ის შეა შეა ნაწილში, ხოლო ჭრილი II-II-ში კი სგე-4-ის ფენის ქვედა ნაწილში უშუალოდ სგე-5-ის შეხების ზედაპირზე:

- ჭრილი I-I-ის გასწვრივ $h=2.4$ მეტრი სისქით და მდგბაროებს სგე-4-ის შეა ნაწილში;
- ჭრილი II-II-ის გასწვრივ $h=3.4$ მეტრი სისქით და მდგბაროებს სგე-4-ის ძირში სგე-5-თან უშუალოდ შეხებამდე;

7.3.8.2 №14 მეწყრის სიმძლავრე და ჩაღრმავებები

Geo-5-ის “ფერდის სტაბილურობის” და “ანტი-მეწყული ხიმინიჯების” პროგრამული მოდულების საშუალებით მოხერხდა მეწყული სხეულის დაცურების რკალური, ოპტიმიზებული ზედაპირის (ყველაზე პრიტიკული) იდენტიფიცირება ორივე ჭრილის შემთხვევისათვის. როგორც პროგრამულმა ახალიზმა აჩვენა, დაცურების ზემდეგნაირაია:

- ჭრილი I-I-ის გასწვრივ რელიეფის ზედაპირიდან უდიდესი ჩაღრმავებით $h=10.0$ მეტრზე და ფენა მდგბარეობს სგე-4-სა და სგე-5-ს შორის მდებარე საზღვარზე; ხოლო დაცურების რკალის ქორდული სიგრძე დაახლოებით 70 მეტრია;
- ჭრილი II-II-ის გასწვრივ რელიეფის ზედაპირიდან უდიდესი ჩაღრმავებით $h=11.0$ მეტრზე და ფენა მდგბარეობს სგე-4-სა და სგე-5-ს შორის მდებარე საზღვარზე; ხოლო დაცურების რკალის ქორდული სიგრძე დაახლოებით 65 მეტრია;

7.3.8.3 საპროექტო დასკვნები და გადაწყვეტილება მეწყერი №14-ისთვის:

საველე გეოლოგიური გაბურდვების შედეგებიდან და გრუნტის ნიმუშებიდან აღებული გეოტექნიკური მონაცემების საფუძველზე დაყრდნობით, შეიძლება ითქვას, რომ ორივე გეოტექნიკური ჭრილი (ჭრილები იხილეთ ქვემოთ) ურთიერთ-შემავსებული და დამადასტურებელი მონაცემებით განაზოგადებს მეწყული სხეულის დაცურების ბუნებას შემდეგნაირად:

1. მეწყული სხეულის საშუალო სიგრძე გამოხატული მეწყული სხეულის დაცურების რკალის ქორდული სიგრძე რელიეფის ზედაპირზე დაახლოებით 70 მეტრია;
2. მეწყული სხეულის ზედა მესამედში მდებარეობს საპროექტო გზა;
3. ტოპოგრაფიულად, საპროექტო გზა წყალდამყოფი ქვედის თხემზე გადის და მიმდებარე დამეწყრილი უბანი მისგან ხელმარჯვნივ ქვემოთ დასავლეთ ფერდზე მდებარეობს.
4. მიუხედავად მეწყული სხეულის წყალდამყოფ ფერდზე მდებარეობისა, უკლებლივ კველა დიდ და მცირე (პერკუსია) ჭაბურლილში გამოვლინდა, ჩადგა და ამოიწია წყლის დონეები ჭაბურლილებში სხვადასხვა ინტენსიობით და წნევით.
5. წყლის გამოვლენილ და დამდგარ დონეებს შორის საშუალო სხვაობა მერყეობს 2.4-დან 3.4 მეტრის ფარგლებშია.
6. გაწყლოვანებულებია სგე-4-ის (სიმძლავრით 10.0 მეტრამდე) შეა და ქვედა ნაწილი, და გაწყლოვანება გაგრცელებულია სგე-5-ის ზედაპირამდე;
7. გაწყლოვანება გამოიგეულია ძირითადად შემოდინებული გრუნტის წყლებით. თუმცა, წვიმების დროსაც სგე-4-ის გაწყლოვანება უდავოდ იზრდება ზედაპირული წყლების საშუალებითაც;
8. დაცურების ზედაპირი რკალური ხასიათისაა – რადგანაც მეწყერი თიხოვან ფენაშია განვითარებული;
9. დაცურების რკალური ჩაღრმავება რელიეფის ზედაპირიდან $h=11.0$ მეტრ სიღრმემდე ჩადის;
10. დაცურების ზედაპირი ზოგადად ემთხვევა სგე-4-სა და სგე-5-ს შორის გამავალ საზღვარს. სხვა სიტყვებით რომ კოქათ, “კლუვირებული, გათიხებული და გადატენიანებული

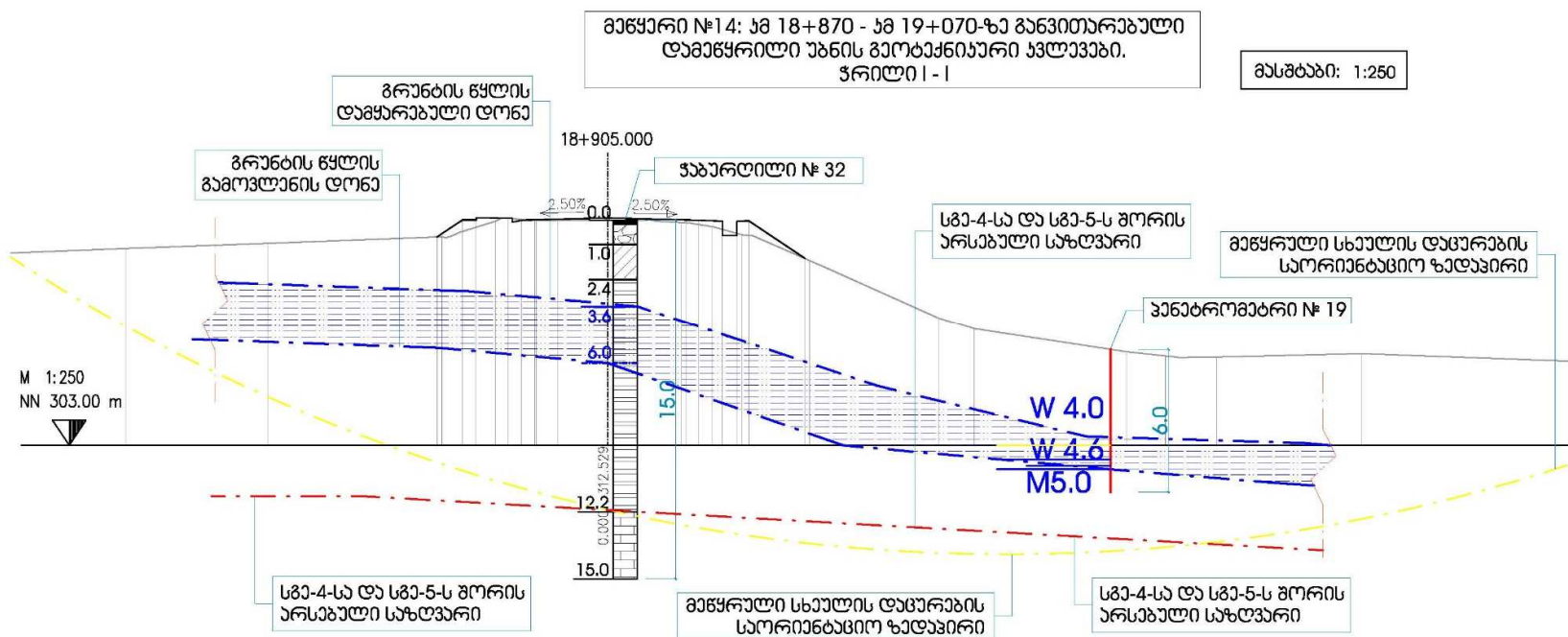
(სეგლი) არგილიტი” ცურავს ნელ-ნელა “ძლიერ ნაპრალოვანი გამოფიტული არგილიტის” უკნაზე;

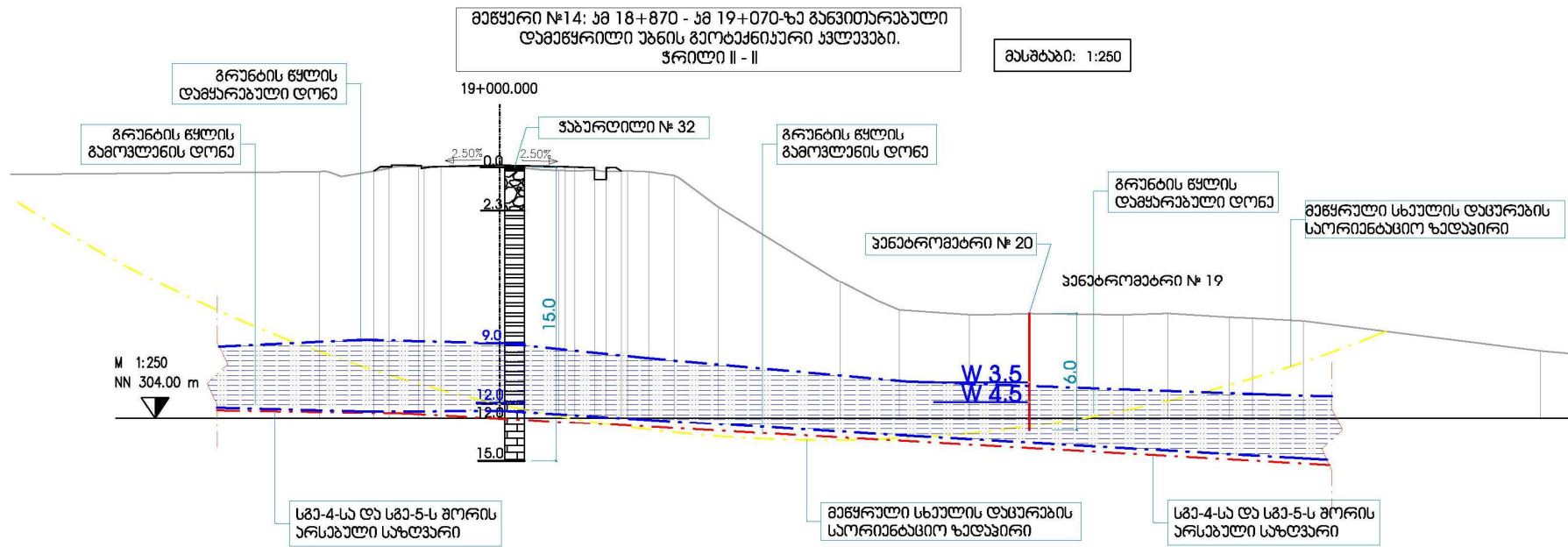
ზემოთ მოყვანილი დაკვირვებების საფუძველზე მეწყრული სხეული სტაბილიზაციისათვის შემდეგი საპროექტო გადაწყვეტილებებია შეთავაზებული:

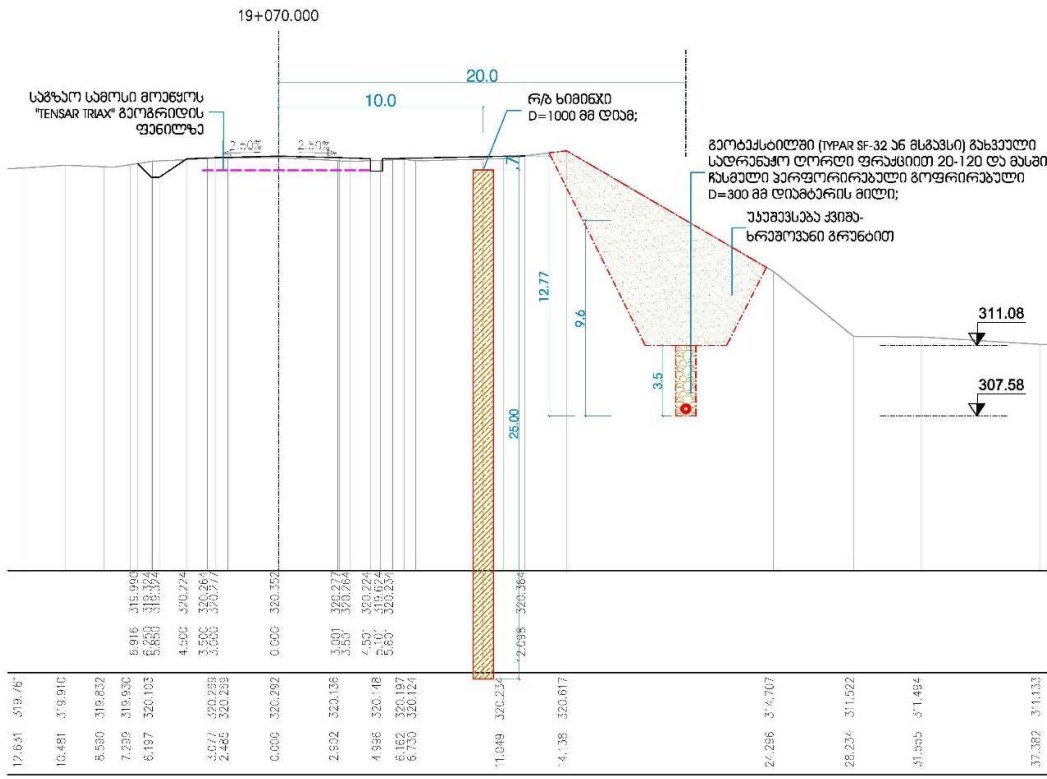
1. მეწყრული სხეულზე დრმა მიწისქვეშა დრენაჟის მოწყობა გზის გასწვრივ (გზიდან ხელმარჯვნივ, ქედა მხარეს) ისე განივი მიმართულებებით ერთ გამოსასვლელზე, რითაც ძირითადად უნდა მოიხსნას სგვ-4-ის გაწყლოვანება და, რაც შეამცირებს გაწყლოვანებით გამოწვეული მამოძრავებელი გრავიტაციული ძალის სიდიდეს;
2. მიწისქვეშა დრმა დრენაჟის ძირი უნდა დაკიდეს სგვ-5-ის ზედაპირამდე, ანუ დაცურების ზედაპირის ჩათვლით;
3. განივი-დამცლელი დრენაჟის საშუალებით უნდა მოხდეს დრენირებული გრუნტის წლების გამოიტანა $L_1=80$ მეტრი სიგრძის დახურული მიწისქვეშა დრმა და $L_2=20$ მეტრი სიგრძის და სადრენაჟო მიმართულებებით საპროექტო გზიდან 100 მეტრებშე დაშორებაზე;
4. როგორც პროგრამული კალკულაცია აჩვენებს, მხოლოდ განივი დრენაჟით ასეთი დიდი მეწყრის სტაბილიზაცია ერთ ხერხდება, თანაც უსაფრთხოების კოეფიციენტი უნდა იყოს მინიმუმ $SF_s > 2.0$ და მეტი; ფერდის სტაბილურობის მაჩვენებელი კი მხოლოდ დრმა დრენაჟების (შესრულებული “ფერდის სტაბილურობის” მოდულში) მოწყობით შემდეგია: $SF_s = 1.4$ ჭრილი H;
5. ფერდის მდგრადობის უსაფრთხოების კოეფიციენტი $SF_s = 2.13$ -ია ხიმინჯების მაქსიმალური პორიზონტალური დაგაადგილებაა 66.3 მილიმეტრია და ხიმინჯების უკან გრუნტის მაქსიმალური ჩაჯდენის სიღრიდა 25.2 მილიმეტრია
6. შესაბამისად, ანტი-მეწყრული რეინაბეტონის ხიმინჯების მოწყობაა შეთავაზებული ფერდის სტაბილურობის უზრუნველსაყოფად. რაც პროგრამულად $D=1000$ მმ დამეტრის და $L=25.0$ მეტრი სიგრძით განისაზღვრა თითოეული ხიმინჯისთვის. რეინაბეტონის ხიმინჯების განლაგება ერთ რიგადაა გათვალისწინებული;
7. ანტი-მეწყრული რეინაბეტონის ხიმინჯების გააჩვარიშება გეოტექნიკური ჭრილისათვის თანდართულია საინჟინრო ანგარიშზე. იხილეთ დანართი 9.
8. იმდენად რამდენადაც საპროექტო გზის მიწის ვაკისი მდებარეობს დეფორმირებულ სგვ-ზე, როგორც ეს გეოტექნიკურ ანგარიშზია, შეთავაზებულია გეოგრიდის ფენილზე საგზაო სამოსის მოწყობა “Tensar Triax-160”-ის (ან მსგავსი მახასიათებლების მქონე) სახით რომლის უჯრედებიც ტოლგვერდა სამკუთხა ფორმისაა, და შესაბამისად მასზე მოსულ დატვირთვებს თანაბრად გადაანაწილებს ყველა მიმართულებით.
9. გზის ზედაპირდან გადმოსული წყლების კონტროლისათვის ორივე მხარეს რ/ბ სადრენაჟო არხებია შეთავაზებული;

შეთავაზებული საპროექტო გადაწყვეტილებები ასახულია მეწყრი №14-ის რეაბილიტაციის შესაბამის ნახაზებზე

ქვემოთ თანდართულია მეწყერი №14-ზე გაყვანილი ჭაბურდილების გასწვრივ გამავალი გეოტექნიკური ჭრილების პროფილები მდებარე: კმ 18+905-ზე და კმ 19+000-ზე; ასევე, მოცემულია ტიპური შეთავაზებული მიწისქვეშა დრმა დრენაჟის განივავეთი ხიმინჯთან ერთად;







7.4 საკომუნიკაციო საშუალებების გადატანა

საპროექტო გზის კმ 84.0-დან კმ 107.0-მდე მონაკვეთი მთლიანად წყალგამყოფ ქედზე გადის. გზის ეს კორიდორი არის ის ძირითადი კორიდორი, რომელიც წარმოადგენს ერთადერთ მარშრუტს როგორც გზისათვის, ასევე სხვადასხვა საკომუნიკაციო ხაზებისთვის.

მაგალითად, საპროექტო გზის გასწვრივ მიწისქვეშ ჩადებულია ისეთი კერძო კომპანიების ოპტიკურ-ბოჭკოვანი სატელეკომუნიკაციო კაბელები, როგორებიცაა შ.პ.ს. სილკნეტი, და შ.პ.ს. დმაგოიკომი. ხესნებული კაბელ-გაყვანილობები რეგისტრირებულია და ინფორმაცია ხელმისაწვდომია საჯარო რეესტრის ეროვნული სააგენტოს ოფიციალურ ვებ გვერდზე, რომლის მიხედვით ამ კაბელების ჯამური სიგრძე 12 661 გრძივი მეტრია. აღსანიშნავია, რომ, ამ ხაზოვანი ნაგებობების გზის მიმართ განლაგებია დასახუსტებელია მშენებლობის დროს, რადგან აღნიშნული ხაზები რეგისტრაციის მონაცემების მიხედვით განლაგებულია ხან უშუალოდ გზის სავალ ნაწილზე, ხან გზის კიდის გასწვრივ და ხანაც გზის გადამკვეთად.

ასევე, რეგისტრირებულია გზის გადამკვეთად მდებარე ქ. ზესტაფონის ოვითმმართველი ერთეულის საკანალიზაციო მილსადენი, საერთო სიგრძით 13 გრძივი მეტრი.

შ.პ.ს სოკარისა და სახელმწიფო გაზსადენის კომპანიის რეგისტრირებული მილსადენების ჯამური სიგრძე 3 895 გრძივი მეტრია.

გარდა ზემოთმოყვანილი, რეგისტრირებული საკომუნიკაციო საშუალებებისა, პროექტის ფარგლებში ვიზუალური დაკვირვებით და ტოპოგრაფიული კალებების საფუძველზე დაფიქსირდა არარეგისტრირებული საკომუნიკაციო საშუალებები, სასმელი/სარწყავი წყლის მილგაყვანილობები, რომლებიც ძირითადად წარმოდგენილია პოლიეთილენის/პოლიპროპილენის “წვრილი” მილსადენების (1/2-დან 3 დოუმამდე დიმატერის მილები) სახით. წყლის მილსადენები ძირითადად გადაკვეთენ გზას 9 ადგილას საშუალოდ 15.5 მეტრიან მონაკვეთებად; გზის გასწვრივ სადრენაჟო მილების სათ ვისებთან ან კუუკეტებში ასევე აღიწერა მაგისტრალური წყალსადენი მილები, ჯამური სიგრძით 101 გრძივი მეტრი.

ზემოთხსენებული საკომუნიკაციო საშუალებების მიმართ პროექტის მიღებოდა შემდეგია:

- 1) პროექტში გათვალისწინებულია შ.პ.ს. “სილკნეტის” და შ.პ.ს. “მაგთიკომის” ოპტიკურ ბოჭკოვანი კაბელ-გაყვანილობების, საერთო სიგრძით 12 661 გრძივი მეტრის გადატანა შესაბამისის სამუშაოებისა და მასალების მოცულობების გათვალისწინებით. ვინაიდან მათი ზუსტი მდებარეობა, ჩადების სიღრმე, გადაკვეთების მდებარეობები უცნობია, ეს სამუშაოები უნდა შეთანხმდეს დამბეჭთან და დამკვითის ნებართვის შემთხვევაში, კონტრაქტორმა უნდა შეათანხმოს ხსენებულ მფლობელ კომპანიებთან დაგეგმილი სამუშაოები.
- 2) რეგისტრირებული საკანალიზაციო მილსადენები როგორც წესი, იმგვარადაა ჩაღრმავეული ზედაპირიდან ($h=0.5-0.7\vartheta$), რომ კონტრაქტორს მოეთხოვება მხოლოდ სამშენებლო სამუშაოების ფრთხილი ჩატარება, იმგვარად რათა არ დააზიანოს ხსენებული საკანალიზაციო მილგაყვანილობა და იმუშაოს უშუალოდ მფლობელის წარმომადგენელობა შეთანხმებით და ზედამხედველის უშუალო მეთვალყურეობით;
- 3) არარეგისტრირებული, და გზის გადამკვეთად მდებარე წყალსადენის გადამკვეთი მილგაყვანილობების მოთავსება უნდა მოხდეს გარსაცმებში, ხოლო გრძივად მდებარე მილსადენის გადატანისათვის პროექტი ითვალისწინებს ახალი მილსადენის მოწყობას შესაბამისი უწყისის მიხედვით; ამ სამუშაოების ზუსტი რაოდენობები უნდა შეთანხმდეს დამკვეთოან ზედამხედველის უშუალო მეთვალყურეობით;

სამშენებლო სამუშაოების წარმოების დროს სხვა საკომუნიკაციო ხაზების გამოვლენის შემთხვევაში მათი გადატანის საჭიროება და შესაბამისი დონისძიებანი უნდა შეთანხმდეს დამკვეთოან და ზედამხედველ ინჟინერთან.

ცხრილი 7.5: საკომუნიკაციო ხაზების მონაცემები

#	საპროექტო პიკტოგრამი (მ)		მფლობელი	მდებარეობა		გადასატანი საკომუნიკაციო მონაცემთას სავარაუდო სიგრძე (მფლობელების მიხედვით) (მ)				კოორდინატი UTM WGS-84 სისტემით				
	დასაწყ ისი	დასასრ ული		გზის გადამკ ვეთად	გზის გასწორიგ	სილკნე ტი (რეგისტ რირებუ ლი)	დელტაპ ომი (რეგისტ რირებუ ლი)	შუასეგის თვითმართვე ლი ერთეული (რეგისტრი რებული)	წყლის მიდი (არა- რეგისტრი რებული)	დასაწყისი	დასასრული			
	1	2	3	4	5	6	7	8	9	10	11	12	13	14
1	0	110	დელტაპომი		+			110			261065	4614229	261173	4614247
2	190	275	დელტაპომი		+			85			261227	4614300	261310	4614307
3	330	415	დელტაპომი		+			85			261366	4614291	261449	4614286
4	475	620	დელტაპომი		+			145			261504	4614265	261641	4614215
5	900	1 190	დელტაპომი		+			290			261859	4614040	262108	4613898
6	1 195	1 200	დელტაპომი		+			5			262113	4613895	262117	4613893
7	1 355	1 440	დელტაპომი		+			85			262205	4613775	262286	4613749
8	1 440		დელტაპომი	+				10			262286	4613747		

9	1 520	1 580	დელტაკომი		+		60			262356	4613781	262416	4613793
10	1 560		დელტაკომი	+			10			262394	4613793		
11	1 750	1 840	დელტაკომი		+			90		262529	4613676	262611	4613650
12	1 840		დელტაკომი	+				10		262611	4613650		
13	1 880		დელტაკომი	+				10		262649	4613655		
14	1 880	1 930	დელტაკომი		+			50		262649	4613655	262697	4613643
15	1 930		დელტაკომი	+				10		262697	4613643		
16	2 015		დელტაკომი	+				10		262764	4613689		
17	2 080		დელტაკომი	+				10		262819	4613665		
18	2 080	2 150	დელტაკომი		+			70		262819	4613665	262887	4613669
19	2 150		დელტაკომი	+				10		262887	4613669		
20	2 570		წყლის მიღი	+					10	263073	4613343		
21	2 600		დელტაკომი	+				10		263103	4613338		
22	2 570	2 650	წყლის მიღი		+				80	263073	4613343	263137	4613369
23	2 665		დელტაკომი	+				10		263153	4613366		

24	2 785	2 825	დელტაკომი		+		40			263190	4613258	263231	4613254
25	2 985	3 020	დელტაკომი		+		35			263347	4613154	263380	4613162
26	3 215		წელის მიღი	+				15	263375	4613163			
27	3 330		დელტაკომი	+			10		263505	4612918			
28	3 315	3 520	დელტაკომი		+		205			263490	4612927	263690	4612958
29	3 520		დელტაკომი	+			10		263690	4612958			
30	3 520	3 610	დელტაკომი		+		90			263690	4612958	263776	4612942
31	3 550		დელტაკომი	+			10		263720	4612956	3910		
32	3 785		წელის მიღი	+				10	263909	4612825			
33	3 860	3 900	დელტაკომი		+		40		263977	4612797	264016	4612784	
34	3 910	3 955	სიქნები		+	45			264022	4612771	264059	4612746	
35	3 985	4 105	სიქნები		+	120			264080	4612730	264194	4612697	
36	4 025	4 055	დელტაკომი		+		30		264117	4612722	264150	4612713	
37	4 165	4 300	სიქნები		+	135			264247	4612664	264311	4612549	
38	4 325	4 340	სიქნები		+	15			264317	4612524	264320	4612511	

39	4 395	4 500	სიქეგზი		+	105				264332	4612458	264346	4612352
40	4 440		წელის მილი	+				10	264336	4612411			
41	4 575		სიქეგზი	+		10			264351	4612281			
42	4 595		დელტაკომი	+			10		264370	4612278			
43	4 600	4 665	სიქეგზი		+	65			264375	4612278	264439	4612286	
44	4 640	4 725	დელტაკომი		+		85		264415	4612283	264497	4612286	
45	4 725		დელტაკომი	+			12		264497	4612286			
46	4 740		სიქეგზი	+		10			264513	4612280			
47	4 750		წელის მილი	+				10	264525	4612277			
48	4 850	4 890	დელტაკომი		+		40		264616	4612242	264652	4612222	
49	5 120	5 165	სიქეგზი		+	45			264776	4612033	264821	4612025	
50	5 125	5 340	დელტაკომი		+		215		264782	4612039	264994	4612001	
51	5 340		დელტაკომი	+			10		264994	4612001			

52	5 340		სიქეტი	+		10			264993	4612006			
53	5 460	5 570	დელტაკომი		+		110		265101	4612057	265209	4612075	
54	5 450	5 600	სიქეტი		+	150			265086	4612060	265240	4612070	
55	5 600	5 660	სიქეტი		+	60			265240	4612070	265301	4612073	
56	5 600	5 765	დელტაკომი		+		165		265240	4612079	265403	4612050	
57	5 710	5 755	სიქეტი		+	45			265348	4612065	265397	4612057	
58	5 740		წელის მიღი	+				10	265377	4612050			
59	6960	7050	კანალიზაცი ის ქსელი		+			90	266269	4611945	266280	4612015	
60	7 005	7 090	სიქეტი		+	85			266299	4611978	266273	4612056	
61	7 190	7 230	სიქეტი		+	40			266242	4612150	266256	4612174	
62	7 225		დელტაკომი	+			10		266254	4612174			
63	7 230		სიქეტი	+		10			266256	4612174			
64	7 245		წელის მიღი	+				10	266270	4612166			
65	7 360		დელტაკომი	+			10		266374	4612138			
66	7 360	7 550	დელტაკომი		+		190		266374	4612138	266524	4612254	
67	7 380		წელის მიღი	+				10	266387	4612153			

68	7 380	8 320	წელის მიღი		+				940	266387	4612153	267156	4612486
69	7 605		დელტაპომი	+			10		266568	4612281			
70	7 635		დელტაპომი	+			10		266597	4612283			
71	7 670	7 695	დელტაპომი		+		25		266625	4612304	266638	4612320	
72	7 695		დელტაპომი	+			10		266638	4612320			
73	7 820	7 850	დელტაპომი		+		30		266744	4612274	266777	4612274	
74	7 850		დელტაპომი	+			10		266777	4612274			
75			დელტაპომი	+			10		267039	4612470			
76	8 260	8 460	დელტაპომი		+		200		267099	4612466	267295	4612474	
77	8 500	8 540	დელტაპომი		+		40		267333	4612473	267374	4612471	
78	8540		დელტაპომი	+			10		267374	4612471			
79		8610	დელტაპომი	+			10		267420	4612520			
80		8690	დელტაპომი	+			10		267488	4612494			
81		8790	დელტაპომი	+			12		267565	4612547			
82	9035	9250	დელტაპომი		+		215		267659.98	4612369	267870.5	4612390.1	

83	9425	9660	დელტაკომი		+		235			268015.94	4612304	268250.4	4612299.8
84	9710	9790	დელტაკომი		+		80			268300.16	4612299	268381	4612297.7
85	9790		დელტაკომი	+			10			268381.05	4612298		
86	9970		დელტაკომი	+			10			268525	4612397		
სულ ჯამური სიგრძეები				950	3 439	90	1 105						

8. საგზაო ნიშნები, მონიშვნა, მოძრაობის უსაფრთხოების დონისძიებანი და გზის სხვა კუთვნილებანი

საგზაო ნიშნები და მონიშვნა

ნიშნებით და მარკირებით აღჭურვის შესახებ გზის სტანდარტები გადმოღებულია საბჭოთა დროიდან და ახლოსაა ნიშნებითა და მარკირებით აღჭურვის შესახებ საერთაშორისო სტანდარტებთან. ის უნდა ემორჩილებოდეს ეროვნულ სტანდარტებს და სწორად იქნეს გამოყენებული გზის მოელ მონაკვეთზე.

ამრეკლავი მასალების გამოყენება (საღებავები, ნიშნები და რეფლექტორები) მკაცრადაა რეკომენდებული.

საგზაო ნიშნების განთავსება უნდა განხორციელდეს სახსე 10807-78-ის მიხედვით, რომელიც საქართველოშია მიღებული.

გზას უნდა ჰქონდეს ცენტრის ხაზი გზის მოელ სიგრძეზე. საგზაო მონიშვნა უნდა განხორციელდეს სახსე 13508-74-ის მიხედვით.

მიერთებები და გადაკვეთები

მიერთებები და გადაკვეთები დაპროექტებულია და წარმოდგენილია სტანდარტული ნახატების სახით.

საპროექტო მონაკვეთზე მიერთებები ძირითადად არ არის აღჭურვილი მოძრაობის რეგულაციის სისტემებით, ასევე არ აქვს მონიშვნა და საგზაო ნიშნები. საჭიროა ასეთი მიერთებების აღჭურვა შესაბამისი საგზაო ნიშნებით და მონიშვნებით, უსაფრთხოების დონის ასამაღლებლად.

ავტობუსის გასაჩერებელი მოედნები

პროექტით გათვალისწინებულია არსებული ავტობუსის გაჩერების ადგილების რეაბილიტაცია. სამუშაოები უნდა ჩატარდეს აგღილობრივი სტანდარტების მიხედვით.

ავტობუსის გასაჩერებელი მოედნების მოწყობის სამუშაოთა მოცულობები წარმოდგენილია შესაბამის ნახატებზე და სათანადო ცხრილებში.

ტროტუარები

პროექტით გათვალისწინებულია ტროტუარების მოწყობა დასახლებულ პუნქტებთან.

ტროტუარის მოწყობის სამუშაოთა მოცულობები წარმოდგენილია შესაბამის ნახატებზე და სათანადო ცხრილებში.

9. მშენებლობის ორგანიზაციის ძირითადი დებულებანი

სამშენებლო სამუშაოების შესრულება უნდა მოხდეს მოქმედი სტანდარტების, ნორმების, ინსტრუქციების და რეკომენდაციების სრული დაცვით. სამუშაოები უნდა შესრულდეს СНиП 2.05.02-85, СНиП 2.05.03-84, BCH-24-88, BCH 27-84-ის მოთხოვნებით.

მშენებლობის დაწყებამდე კონტრაქტორი შეადგენს სამუშაოთა წარმოების პროექტს. ეველა მასალა, ნახევარფაბრიკატი და კონსტრუქცია უნდა შეესაბამებოდეს მათ მოთხოვნებს და ჰქონდეთ სათანადო სერთიფიკატი.

სამშენებლო სამუშაოები უნდა შესრულდეს შემდეგი თანმიმდევრობით;

- მოსამზადებელი სამუშაოები;
- მიწის სამუშაოები;
- ხელოვნური ნაგებობები:
- საგზაო სამოსი;
- საგზაო ნიშნები და მონიშვნა;

მშენებელი ორგანიზაცია პასუხისმგებელია და ვალდებულია სამუშაოთა წარმოებაზე შრომის უსაფრთხოებისა და საწარმოო სანიტარიის სრული დაცვით.

10. მშენებლობის დროს სატრანსპორტო ნაკადის მართვა

გზის მშენებლობა თითქმის მთლიანად დაარღვევს ტრანსპორტის ფუნქციონირებას და მგზავრობა მძღოლებისთვის მშენებლობის მოელ მონაკვეთზე როული და ხელშემშლელი იქნება.

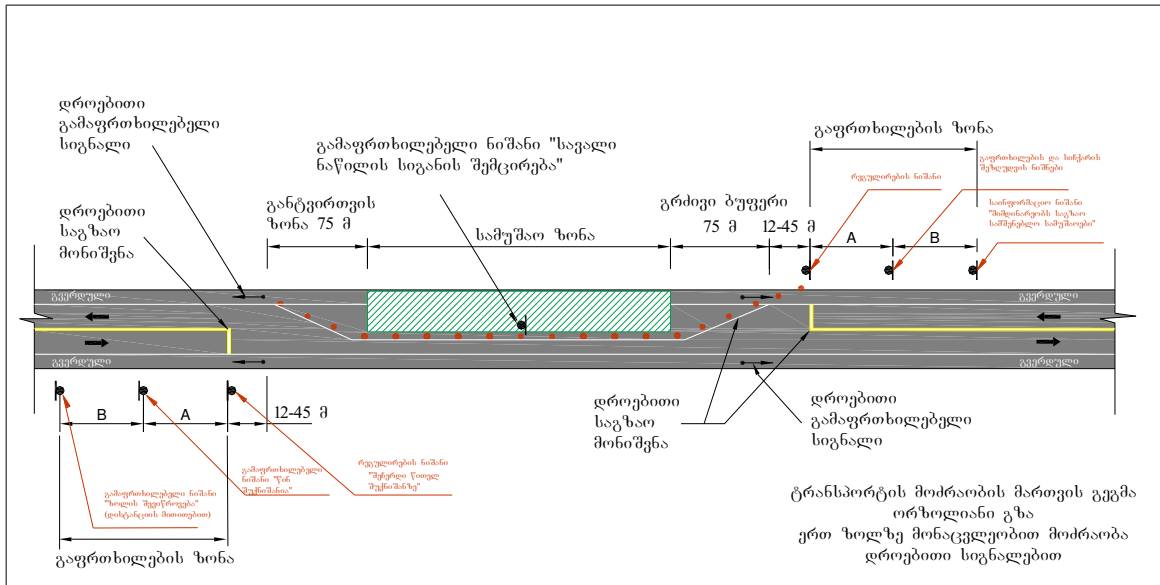
სამუშაო ზონაში შეჯახებების სიხშირე არაპროპორციულად მაღალი იქნება სხვა ლოკაციებთან შედარებით. ამდენად, ტრანსპორტის კონტროლის უპირველესი მოსაზრება სამუშაო ზონაში არის უსაფრთხოება. თუ მძღოლს შეუძლია ტრანსპორტის კონტროლი და გადაწყვეტილების მისაღებად საკმარისი დრო აქვს, უსაფრთხოდ შეძლებს მანქანის მართვას.

გადაზიდვის საშუალების სრული გამოყენება ჩვეულებრივ შეუძლებელია მუშაობის პერიოდში. როგორც კი სამუშაო იწყება და ვითარდება, სამგზავრო გზები ვიწროვდება, იკეტება ან მარშრუტი იცვლება.

ტრანსპორტის შედარებით დაბალი ინტენსივობის დროს მოსალოდნელია გზის დაკეტვა. ორმხრივი გზის გადაკეტვა გამოიწვევს ტრანსპორტის გადაყვანას გზის გვერდით, განიერ მხარეზე ან ორივე მხარის ტრანსპორტის ერთ მხარეზე გადაყვანას.

მშენებლობის ადგილზე დაბალი ინტენსივობის გზებისთვის შესაფერისია იმ ალტერნატივის გამოყენება, რომელშიც ორივე მხარეზე მოძრავი ტრანსპორტი ერთ მხარეზე გადაყვანილი. უნდა უზრუნველვყოთ ადეკვატური ხედვის მანძილი და ნიშნებით აღჭურვა, რომ მძღოლმა ადვილად მიიღოს გადაწყვეტილება. ტრანსპორტის დროებითი სიგნალები სჯობია ფლაგერებს პროექტის ხანგრძლივობის გამო და იმ ქმედებების გამო, რაც დამით ფლაგირებს მოითხოვს. დროებითი ტრანსპორტის კონტროლის სიგნალები პირობითი სატრანსპორტო სიგნალების ფიზიკური ასახვისა და მოქმედების მოთხოვნებს დაექვემდებარება.

ქვემოთ წარმოდგენილია ორმხრივი მოძრაობის გზაზე სატრანსპორტო სიგნალების გამოყენებით გზის დაკეტვის ტიპები სქემა:



მშენებლობის გავლენა საკუთრებამდე მისასვლელზე

მშენებლობის დროს გზამდე მისასვლელი შეიძლება დროებით ჩაიგებოს მშენებლობის ზონაში და ამით გავლენა მოახდინოს ადგილობრივ ბიზნესსა და საცხოვრებელი ადგილების მისასვლელებზე. სადაც კი შესაძლებელია, ალტერნატიული მისასვლელები უნდა იყოს ხელმისაწვდომი, ნიშნების გამოყენებით.

კონტრაქტორი წერილობით შეტყობინებას უგზავნის მიწის მფლობელებს, მცხოვრებლებს, ადგილობრივ ბიზნესმენებსა და მოსახლეობას მშენებლობის გრაფიკის შესახებ, აუხსნის სამშენებლო საქმიანობის ზუსტ ღოკაციასა და ხანგრძლივობას.

11. სამუშაოთა მოცულობების დათვლა

დეტალურ დიზაინზე დაყრდნობით, პროექტის მოთხოვნილებების მიხედვით და ტექნიკური სპეციფიკაციების გათვალისწინებით შემუშავებული იქნა სამუშაოების ჩამონათვალი, მოცულობათა უწყისის შესადგენად.

საპროექტო მონაცემები გაერთიანდა არსებული მონაკვეთის ტოპოგრაფიულ მონაცემებთან, და გამოთვლილი იქნა მიწის სამუშაოების და საგზაო სამოსის მოწყობის მოცულობები. სხვა სამუშაოების მოცულობები აღებულია შესაბამისი ნახაზებიდან.

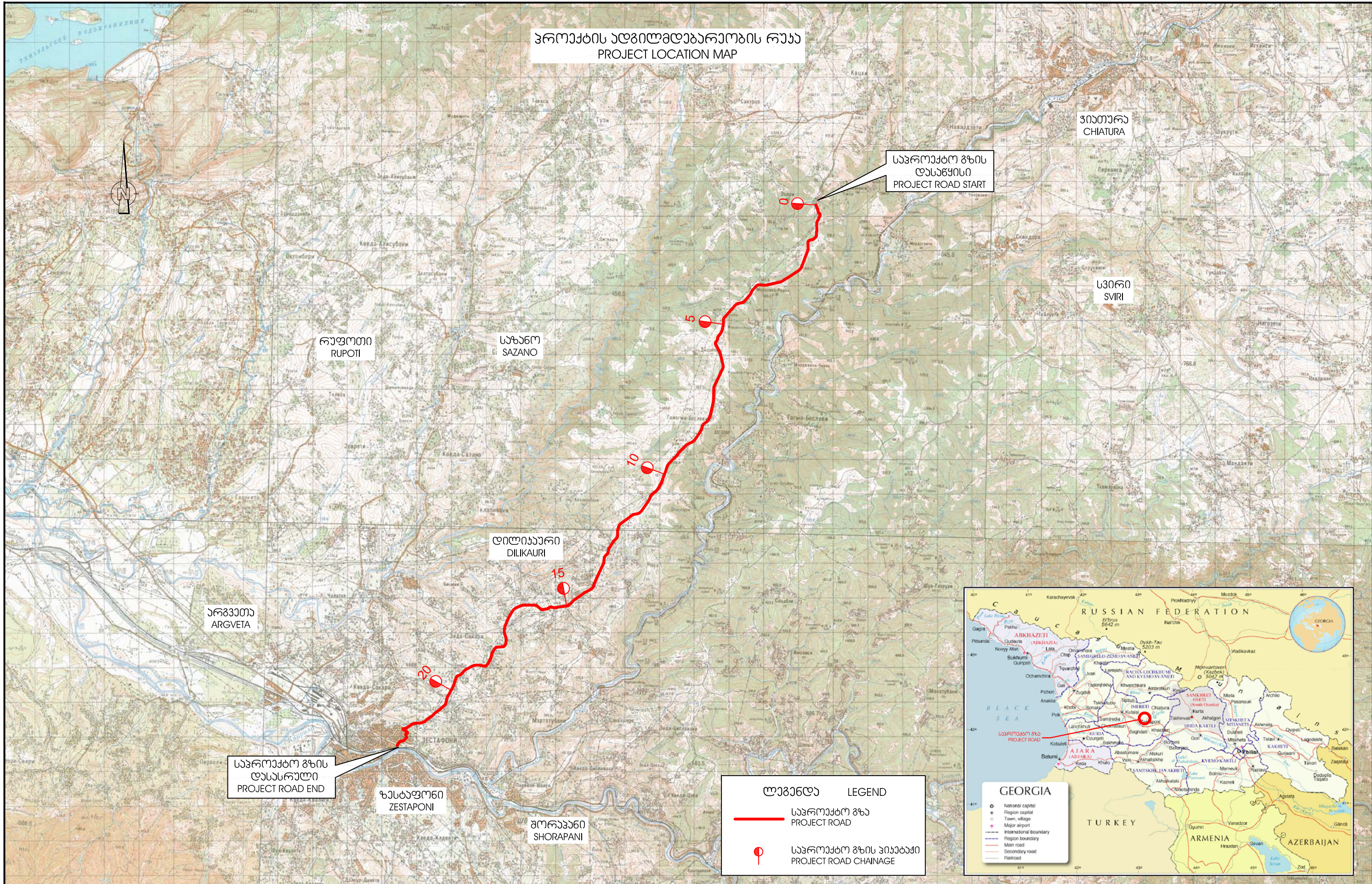
დ ა ნ ა რ თ ე ბ ი:

- დანართი 1: პროექტის ადგილმდებარეობის რუკა
- დანართი 2: გეგმურ სიმაღლური წერტილები
- დანართი 3: საცდელი შურფების და DCP ტესტების ადგილმდებარეობის რუკა
- დანართი 4: გეოტექნიკური გამოკვლევის შედეგები საავტომობილო გზისთვის
- დანართი 5: DCP ტესტების შედეგები
- დანართი 6: კარიერების ადგილმდებარეობის რუკა
- დანართი 7: საგზაო სამოსის ანგარიში AASHTO-ს და RStO-ს მიხედვით
- დანართი 8: კონსოლური საყრდენი კედლების საპროექტო გაანგარიშების შედეგები
- დანართი 9: ხიმინჯოვანი ნაგებობების გაანგარიშების შედეგები
- დანართი 10: საპროექტო გზის გასწვრივ მდებარე ხეების ჭრის უწყისი
- დანართი 11: საპროექტო გზასთან არსებული ელ-გადამცემი ბოძების გადატანის უწყისი
- დანართი 12: არსებული ღობეების დემონტაჟისა და ახალი ღობეების მოწყობის უწყისი
- დანართი 13: არსებული კედლების ოებილიტაციის უწყისი
- დანართი 14: საპროექტო გზასთან საკომუნიკაციო ხაზების გადაკვეთების უწყისი
- დანართი 15: არსებული ავტოპავილიონების დანგრევა / ოებილიტაციის უწყისი
- დანართი 16: მიწის სამუშაოების განაწილების კილომეტრული უწყისი
- დანართი 17: საგზაო სამოსის მოწყობის მოცულობათა უწყისი
- დანართი 18: საპროექტო გზასთან მიერთებებზე ჩასატარებელ სამუშაოთა მოცულობათა უწყისი
- დანართი 19: საპროექტო გზასთან კერძო მისასვლელებზე ჩასატარებელ სამუშაოთა მოცულობათა უწყისი
- დანართი 20: წყალგამტარი მილების მოცულობათა უწყისი
- დანართი 21: საყრდენი კედლების მოწყობის უწყისი
- დანართი 22: ზღუდარების მოწყობის მდებარეობები
- დანართი 23: ძირითადი სამშენებლო მანქანა-მექანიზმების საჭირო რაოდენობათა უწყისი
- დანართი 24: სამუშაოთა ორგანიზაციის კალენდარული გრაფიკი
- დანართი 25: სამუშაოთა მოცულობების კრებსითი უწყისი

λ σ β σ ρ τ γ δ ο

დანართი 1:
პროექტის ადგილმდებარეობის რუკა

პროექტის ადგილმდებარების რუკა
PROJECT LOCATION MAP



					თემატიკური მართვის სამსახური	შიდა საქართველო	პროექტის ადგილმდებარების რუკა
ნომ.	ვალიური ნომ.	306	ფასაციური მართვის სამსახური	ფასაციური მართვის სამსახური	ფასაციური მართვის სამსახური	შიდა საქართველო	მასშტაბი 1 : 100 000
			ფასაციური მართვის სამსახური	ფასაციური მართვის სამსახური	შიდა საქართველო	საქართველოს რეგიონული განვითარებისა და ინფრასტრუქტურის სამინისტრო	ნახატის მოწინაურებული ზომა A3 (297 x 420)



ქართული სამსახური:
საპროექტო-საკონსულტინგო ცოდნას შ.ა.ს. 8000,
ვაკერნაძის ქ. №30, თბილისი 0171, საქართველო

შიდა საქართველოში მიმღები განვითარების
“გომი-საჩინა-ჩიათურა-ზესაუბონის” სამინისტრო გზის
კმ 84+000 - კმ 107+000 მონაცემის რეალიზაციის პროექტი

საქართველოს რეგიონული განვითარებისა და
ინფრასტრუქტურის სამინისტრო
საქართველოს სამინისტრო გზების ფერადამები

პროექტის ადგილმდებარების რუკა

მასშტაბი 1 : 100 000

ნახატის მოწინაურებული ზომა A3 (297 x 420)

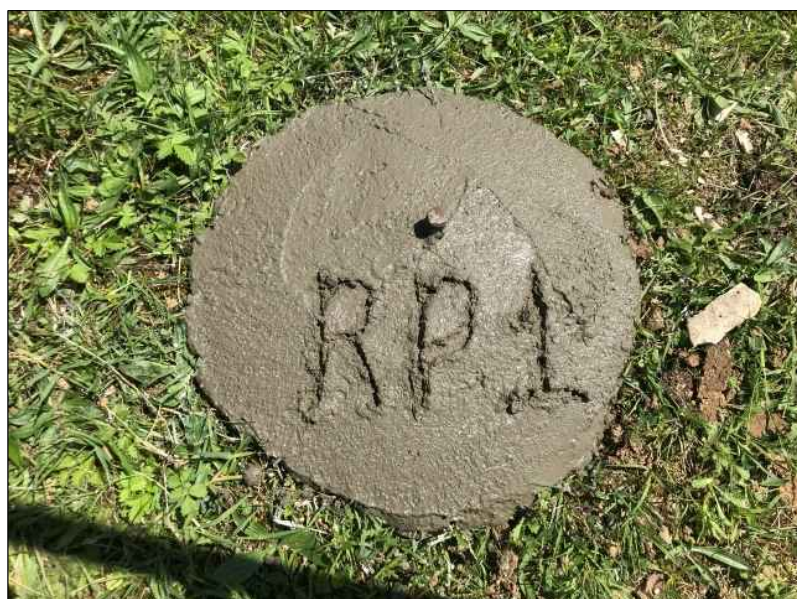
ნახატი PLM-01

დანართი 2:
გეგმურ სიმაღლეური წერტილები

გეგმარ-სისალოლებული წარტილი
REFERENCE POINT

Nº 1

UTM38 N	UTM38 E	H (m)
4678429.58	350480.107	624.406



გეგმარ-სისალოლური ცალბილი
REFERENCE POINT

Nº 2

UTM38 N	UTM38 E	H (m)
4678349.697	350324.452	627.627



გეგმარ-სისალოდენი წარტილი
REFERENCE POINT

Nº 3

UTM38 N	UTM38 E	H (m)
4678211.188	350242.739	625.642



გეგმარ-სისალოლერი წარტილი
REFERENCE POINT

Nº 4

UTM38 N	UTM38 E	H (m)
4677960.419	350202.328	608.557



გეგმარ-სისალოლერი წარტილი
REFERENCE POINT

Nº 5

UTM38 N	UTM38 E	H (m)
4677757.084	350122.882	598.005



გეგმარ-სისალოლური წარტილი
REFERENCE POINT

Nº 6

UTM38 N	UTM38 E	H (m)
4677531.701	350032.28	602.674



გეგმარ-სისალოლური წარტილი
REFERENCE POINT

№ 7

UTM38 N	UTM38 E	H (m)
4677307.637	349721.417	596.773



გეგმარ-სისალოლერი წარმილი
REFERENCE POINT

№ 8

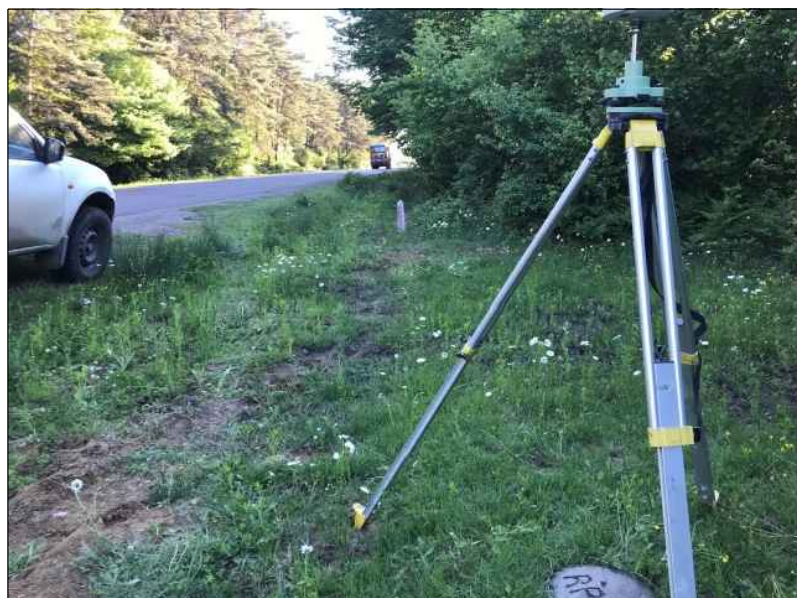
UTM38 N	UTM38 E	H (m)
4677170.841	349515.763	594.248



გეგმარ-სისალოდენი წარტილი
REFERENCE POINT

Nº 9

UTM38 N	UTM38 E	H (m)
4677108.22	349215.377	585.749



გეგმარ-სისალოლური წარტილი
REFERENCE POINT

Nº 10

UTM38 N	UTM38 E	H (m)
4677041.376	349009.633	580.761



გეგმარ-სისალოლერი წარტილი
REFERENCE POINT

№ 11

UTM38 N	UTM38 E	H (m)
4677022.133	348754.028	573.835



გეგმარ-სისალოლური წარტილი
REFERENCE POINT

№ 12

UTM38 N	UTM38 E	H (m)
4676837.772	348576.912	576.303



გეგმარ-სისალოლერი წარტილი
REFERENCE POINT

№ 13

UTM38 N	UTM38 E	H (m)
4676541.949	348356.967	570.804



გეგმარ-სისალოლერი წარტილი
REFERENCE POINT

№ 14

UTM38 N	UTM38 E	H (m)
4676512.311	348145.868	562.941



გეგმარ-სისალოლერი წარტილი
REFERENCE POINT

№ 15

UTM38 N	UTM38 E	H (m)
4676329.003	347994.216	554.177



გეგმარ-სისალოლერი წარტილი
REFERENCE POINT

Nº 16

UTM38 N	UTM38 E	H (m)
4676199.0173	347906.9282	545.4384



გეგმარ-სისალოლერი წარტილი
REFERENCE POINT

№ 17

UTM38 N	UTM38 E	H (m)
4675987.147	347817.465	553.51



გეგმარ-სისალოლური წარტილი
REFERENCE POINT

№ 18

UTM38 N	UTM38 E	H (m)
4675760.806	347788.392	556.708



გეგმარ-სისალოლერი წარტილი
REFERENCE POINT

№ 19

UTM38 N	UTM38 E	H (m)
4675582.299	347632.39	566.159



გეგმარ-სისალოლური წარტილი
REFERENCE POINT

Nº 20

UTM38 N	UTM38 E	H (m)
4675398.971	347552.331	570.831



გეგმარ-სისალოლური წარტილი
REFERENCE POINT

Nº 21

UTM38 N	UTM38 E	H (m)
4675206.567	347673.501	567.975



გეგმარ-სისალოლური წარტილი
REFERENCE POINT

№ 23

UTM38 N	UTM38 E	H (m)
4675064.971	347693.914	567.161



გეგმარ-სისალოლური წარტილი
REFERENCE POINT

№ 24

UTM38 N	UTM38 E	H (m)
4674833.866	347759.16	571.728



გეგმარ-სისალოლური წარტილი
REFERENCE POINT

Nº 25

UTM38 N	UTM38 E	H (m)
4674634.306	347773.55	573.622



გეგმარ-სისალოლერი წარტილი
REFERENCE POINT

Nº 26

UTM38 N	UTM38 E	H (m)
4674348.221	347618.073	577.468



გეგმარ-სისალოლური წარტილი
REFERENCE POINT

№ 27

UTM38 N	UTM38 E	H (m)
4674089.294	347508.992	577.608



გეგმარ-სისალოლური წარტილი
REFERENCE POINT

№ 28

UTM38 N	UTM38 E	H (m)
4673764.391	347515.769	569.124



გეგმარ-სისალოლური წარტილი
REFERENCE POINT

№ 29

UTM38 N	UTM38 E	H (m)
4673445.847	347424.308	567.207



გეგმარ-სისალოლური წარტილი
REFERENCE POINT

Nº 30

UTM38 N	UTM38 E	H (m)
4673127.206	347338.931	561.763



გეგმარ-სისალოლური წარტილი
REFERENCE POINT

Nº 31

UTM38 N	UTM38 E	H (m)
4672960.063	347188.712	560.531



გეგმარ-სისალოლური წარტილი
REFERENCE POINT

Nº 32

UTM38 N	UTM38 E	H (m)
4672737.673	347081.728	554.182



გეგმარ-სისალოლური წარტილი
REFERENCE POINT

Nº 33

UTM38 N	UTM38 E	H (m)
4672555.474	346909.265	547.734



გეგმარ-სისალოლური წარტილი
REFERENCE POINT

Nº 34

UTM38 N	UTM38 E	H (m)
4672474.308	346751.008	542.63



გეგმარ-სისალოლური წარტილი
REFERENCE POINT

№ 35

UTM38 N	UTM38 E	H (m)
4672311.221	346582.297	529.45



გეგმარ-სისალოლერი წარტილი
REFERENCE POINT

Nº 36

UTM38 N	UTM38 E	H (m)
4672076.993	346402.449	533.717



გეგმარ-სისალოლური წარტილი
REFERENCE POINT

№ 37

UTM38 N	UTM38 E	H (m)
4671968.758	346261.514	525.648



გეგმარ-სისალოლური წარტილი
REFERENCE POINT

№ 38

UTM38 N	UTM38 E	H (m)
4671750.613	346129.896	517.012



გეგმარ-სისტემული წარტილი
REFERENCE POINT

Nº 39

UTM38 N	UTM38 E	H (m)
4671439.796	346055.844	521.852



გეგმარ-სისალოლერი წარტილი
REFERENCE POINT

Nº 40

UTM38 N	UTM38 E	H (m)
4671201.871	345976.367	521.315



გეგმარ-სისალოლური წარტილი
REFERENCE POINT

№ 41

UTM38 N	UTM38 E	H (m)
4671062.45	345854.819	524.456



გეგმარ-სისალოლური წარტილი
REFERENCE POINT

№ 42

UTM38 N	UTM38 E	H (m)
4670981.856	345682.401	520.936



გეგმარ-სისალოლური წარტილი
REFERENCE POINT

№ 43

UTM38 N	UTM38 E	H (m)
4670642.088	345514.622	518.408



გეგმარ-სისალოლის თარგილი
REFERENCE POINT

Nº 44

UTM38 N	UTM38 E	H (m)
4670490.923	345329.958	515.924



გეგმარ-სისალოლური წარტილი
REFERENCE POINT

№ 45

UTM38 N	UTM38 E	H (m)
4670350.799	345080.575	494.262



გეგმარ-სისხლოლერი წარტილი
REFERENCE POINT

Nº 46

UTM38 N	UTM38 E	H (m)
4670155.108	344794.338	475.552



გეგმარ-სისალოლური წარტილი
REFERENCE POINT

Nº 47

UTM38 N	UTM38 E	H (m)
4669925.9435	344735.8592	467.949



გეგმარ-სისალოლის თარგილი
REFERENCE POINT

№ 48

UTM38 N	UTM38 E	H (m)
4669711.096	344632.981	474.892



გეგმარ-სისალოლური წარტილი
REFERENCE POINT

Nº 49

UTM38 N	UTM38 E	H (m)
4669558.97	344547.446	472.123



გეგმარ-სისალოლური წარტილი
REFERENCE POINT

№ 50

UTM38 N	UTM38 E	H (m)
4669342.699	344479.045	471.678



გეგმარ-სისალოლური წარტილი
REFERENCE POINT

Nº 51

UTM38 N	UTM38 E	H (m)
4669122.08	344344.261	473.299



გეგმარ-სისალოლერი წარტილი
REFERENCE POINT

Nº 52

UTM38 N	UTM38 E	H (m)
4668878.717	344276.728	464.017



გეგმარ-სისალოლერი წარტილი
REFERENCE POINT

№ 53

UTM38 N	UTM38 E	H (m)
4668749.143	344219.611	458.251



გეგმარ-სისალოლერი წარტილი
REFERENCE POINT

Nº 54

UTM38 N	UTM38 E	H (m)
4668601.054	344127.277	457.328



გეგმარ-სისალოლერი წარტილი
REFERENCE POINT

№ 55

UTM38 N	UTM38 E	H (m)
4668330.468	344038.608	448.685



გეგმარ-სისალოლი ცალბილი
REFERENCE POINT

Nº 56

UTM38 N	UTM38 E	H (m)
4668242.29	343859.916	436.557



გეგმარ-სისალოლებული წარტილი
REFERENCE POINT

№ 57

UTM38 N	UTM38 E	H (m)
4668082.781	343645.26	438.65



გეგმარ-სისალოლერი წარტილი
REFERENCE POINT

Nº 58

UTM38 N	UTM38 E	H (m)
4667900.664	343420.327	426.871



გეგმარ-სისალოლური წარტილი
REFERENCE POINT

Nº 59

UTM38 N	UTM38 E	H (m)
4667794.042	343151.738	415.981



გეგმარ-სისალოლებული წარტილი
REFERENCE POINT

Nº 60

UTM38 N	UTM38 E	H (m)
4667750.599	342897.641	411.981



გეგმარ-სისალოლებული წარტილი
REFERENCE POINT

№ 61

UTM38 N	UTM38 E	H (m)
4667700.299	342544.642	400.417



გეგმარ-სისალოლის თარგილი
REFERENCE POINT

№ 62

UTM38 N	UTM38 E	H (m)
4667840.649	342414.656	385.313



გეგმარ-სისალოლური წარტილი
REFERENCE POINT

Nº 63

UTM38 N	UTM38 E	H (m)
4667833.961	342121.064	367.687



გეგმარ-სისალოლებული წარტილი
REFERENCE POINT

Nº 64

UTM38 N	UTM38 E	H (m)
4667774.449	341833.557	357.475



გეგმარ-სისალოლერი წარტილი
REFERENCE POINT

Nº 65

UTM38 N	UTM38 E	H (m)
4667564.451	341649.271	344.963



გეგმარ-სისალოლური წარტილი
REFERENCE POINT

Nº 66

UTM38 N	UTM38 E	H (m)
4667340.521	341539.338	339.07



გეგმარ-სისალოლური წარტილი
REFERENCE POINT

№ 67

UTM38 N	UTM38 E	H (m)
4667126.705	341472.909	339.113



გეგმარ-სისალოლერი წარტილი
REFERENCE POINT

Nº 68

UTM38 N	UTM38 E	H (m)
4666862.698	341536.923	345.393



გეგმარ-სისალოლური წარტილი
REFERENCE POINT

Nº 69

UTM38 N	UTM38 E	H (m)
4666642.058	341473.166	349.637



გეგმარ-სისალოლებული წარტილი
REFERENCE POINT

Nº 70

UTM38 N	UTM38 E	H (m)
4666628.91	341249.316	347.209



გეგმარ-სისალოლერი წარტილი
REFERENCE POINT

№ 71

UTM38 N	UTM38 E	H (m)
4666463.189	341131.301	343.976



გეგმარ-სისალოლური წარტილი
REFERENCE POINT

№ 72

UTM38 N	UTM38 E	H (m)
4666235.204	341068.78	346.455



გეგმარ-სისალოლის თარგილი
REFERENCE POINT

№ 73

UTM38 N	UTM38 E	H (m)
4666084.064	340863.279	342.579



გეგმარ-სისალოლებული წარტილი
REFERENCE POINT

Nº 74

UTM38 N	UTM38 E	H (m)
4666087.979	340551.036	336.589



გეგმარ-სისალოლური წარტილი
REFERENCE POINT

Nº 75

UTM38 N	UTM38 E	H (m)
4665972.58	340346.177	329.502



გეგმარ-სისალოლებული წარტილი
REFERENCE POINT

Nº 76

UTM38 N	UTM38 E	H (m)
4665803.571	340124.882	321.675



გეგმარ-სისალოლერი წარტილი
REFERENCE POINT

№ 77

UTM38 N	UTM38 E	H (m)
4665458.593	340005.083	316.164



გეგმარ-სისალოლებული წარტილი
REFERENCE POINT

№ 78

UTM38 N	UTM38 E	H (m)
4665349.351	339948.853	321.653



გეგმარ-სისალოლერი წარტილი
REFERENCE POINT

Nº 79

UTM38 N	UTM38 E	H (m)
4665155.886	339848.513	324.284



გეგმარ-სისალოლური წარტილი
REFERENCE POINT

Nº 80

UTM38 N	UTM38 E	H (m)
4664913.192	339704.104	307.037



გეგმარ-სისალოლერი წარტილი
REFERENCE POINT

№ 81

UTM38 N	UTM38 E	H (m)
4664706.843	339451.98	290.361



გეგმარ-სისალოლერი წარტილი
REFERENCE POINT

№ 82

UTM38 N	UTM38 E	H (m)
4664525.764	339231.474	278.774



გეგმარ-სისალოლერი წარტილი
REFERENCE POINT

№ 83

UTM38 N	UTM38 E	H (m)
4664441.392	339096.14	273.296



გეგმარ-სისალოლური წარტილი
REFERENCE POINT

№ 84

UTM38 N	UTM38 E	H (m)
4664428.241	338862.214	256.701



გეგმარ-სისალოლებული წარტილი
REFERENCE POINT

№ 85

UTM38 N	UTM38 E	H (m)
4664287.708	338650.425	239.875



გეგმარ-სისალოლური წარტილი
REFERENCE POINT

№ 86

UTM38 N	UTM38 E	H (m)
4664278.467	338562.165	232.795



გეგმარ-სისალოლის თარგილი
REFERENCE POINT

№ 87

UTM38 N	UTM38 E	H (m)
4664165.637	338717.556	216.552



გეგმარ-სისალოლერი წარტილი
REFERENCE POINT

№ 88

UTM38 N	UTM38 E	H (m)
4664038.255	338679.883	202.006



გეგმარ-სისალოლური წარტილი
REFERENCE POINT

№ 89

UTM38 N	UTM38 E	H (m)
4663933.638	338585.22	194.114



გეგმარ-სისალოლური წარტილი
REFERENCE POINT

Nº 90

UTM38 N	UTM38 E	H (m)
4663905.906	338463.762	181.125



გეგმარ-სისტემური ცალბილი
REFERENCE POINT

№ 91

UTM38 N	UTM38 E	H (m)
4663785.82	338390.706	171.862



დანართი 3:

საცდელი შურფების და DCP ტესტების ადგილმდებარეობის რეკა